

ОБЗОРЫ

УДК 543.422.25:546.92

ПРИМЕНЕНИЕ ЯДЕРНОГО МАГНИТНОГО РЕЗОНАНСА ДЛЯ ИССЛЕДОВАНИЯ СТРОЕНИЯ КОМПЛЕКСОВ ПЛАТИНОВЫХ МЕТАЛЛОВ В ВОДНЫХ РАСТВОРАХ

М.А. Федотов

Институт катализа им. Г.К. Борескова СО РАН, Новосибирск, Россия
E-mail: olga@catalysis.ru

Статья поступила 6 февраля 2015 г.

В представленном обзоре приведены основные данные ЯМР платиновых металлов $^{99,101}\text{Ru}$, ^{103}Rh , ^{105}Pd , ^{187}Os , ^{195}Pt и донорных атомов лигандов ^1H , ^{13}C , $^{14,15}\text{N}$, ^{17}O , ^{19}F , ^{31}P в водных растворах комплексов. Представлен системный анализ возможностей и подходов спектроскопии ЯМР в жидкой фазе, уделено внимание технике измерения параметров ЯМР жидкостей в приложении к водным растворам комплексов платиновых металлов. Введено понятие "координатного сдвига", важного при интерпретации спектров ЯМР комплексов платиновых металлов. Обзор содержит энциклопедическую базу данных ЯМР за 50-летний период, т.е. с момента первого наблюдения спектров ЯМР платиновых металлов вплоть до 2013 г. и некоторых работ 2014 г.

DOI: 10.15372/JSC20160320

Ключевые слова: $^{99,101}\text{Ru}$, ^{103}Rh , ^{105}Pd , ^{187}Os , ^{195}Pt ЯМР, комплексы платиновых металлов, водные растворы, координатный сдвиг, неорганические лиганды, аминокислотные лиганды, радиоактивные отходы.

ВВЕДЕНИЕ

Уровень технологического развития страны во многом определяется тем, насколько широко используются в технологиях и изделиях платиновые металлы и их соединения. Во многих случаях использование платиновых металлов экономически и технологически выгоднее, чем альтернативные решения без них. Обычно стоимость изделий, потребительские свойства которых определяются используемым в них платиновым металлом, гораздо выше стоимости металла; так, в цене многих гетерогенных катализаторов доля стоимости платины составляет незначительную часть от стоимости самого катализатора.

Среди других физических методов исследования метод ЯМР является наиболее избирательным, что в наибольшей мере проявляется при исследовании жидких образцов.

Основное внимание в обзоре уделено изучению методами ЯМР комплексов платиновых металлов с неорганическими лигандами и данным, полученным прямыми измерениями резонанса ядер платиновых металлов. Все показанные спектры ЯМР, кроме спектров ^{15}N , сняты на природном содержании изотопов.

ОСОБЕННОСТИ ЯМР ПЛАТИНОВЫХ МЕТАЛЛОВ

Все платиновые металлы имеют магнитные изотопы, свойства ядер которых приведены в табл. 1. ЯМР всех платиновых металлов, кроме ^{195}Pt , имеет крайне низкую чувствительность, поэтому ЯМР иридия в растворах пока не обнаружен, а прямые измерения ЯМР на $^{99,101}\text{Ru}$, ^{103}Rh , ^{187}Os и ^{105}Pd сделаны сравнительно недавно [1—4].

Таблица 1

Свойства ядер магнитных изотопов элементов подгруппы платины, используемых в химических исследованиях [5]

Изотоп	Спин	NA ^A , %	Sens ^B	Q, барн	Частота ЯМР Ξ эталона, МГц ^C	Эталон
¹³ C	1/2	1,1	1	—	25,145020	1 % TMS/CDCl ₃
⁹⁹ Ru	3/2	12,7	0,13	0,076	4,605127	K ₄ [Ru(CN) ₆]/D ₂ O, 293 К
¹⁰¹ Ru	5/2	17,1	0,51	0,44	5,162344	K ₄ [Ru(CN) ₆]/D ₂ O, 293 К
¹⁰³ Rh	1/2	100	0,06	—	3,16	Ξ = 3,16 МГц
¹⁰³ Rh					3,186447, δ 8358 м.д.	Rh(Acac) ₃ /CDCl ₃ нас.
					3,155671, δ -1370 м.д.	Rh металл
¹⁰⁵ Pd	5/2	22,2	0,47	0,6	4,58572	[PdCl ₆] ²⁻ /HCl:HNO ₃ , 298 К
¹⁸⁷ Os	1/2	1,6	0,004	—	2,282331	0,98 M OsO ₄ /CCl ₄
¹⁹¹ Ir	3/2	37,3	0,02	1,5	1,718	ЯМР не наблюдался
¹⁹³ Ir	3/2	62,7	0,04	1,4	1,971	ЯМР не наблюдался
¹⁹⁵ Pt	1/2	33,8	6,4	—	21,4	Rh(Acac) ₃ /CDCl ₃ нас.
¹⁹⁵ Pt				—	21,496784	Ξ = 21,4 МГц
					(δ 4522 м.д.)	1,2M Na ₂ PtCl ₆ /D ₂ O

^A Природное содержание, %.

^B Чувствительность относительно ¹³C.

^C Частота ЯМР в магнитном поле, в котором частота ЯМР ¹H тетраметилсилина точно равна 100 МГц.

Q — электрический ядерный квадрупольный момент.

Для определения строения комплексов используются химические сдвиги (ХС) ЯМР металла и атомов лигандов, реже ширина линий (W, Гц) и наблюдаемые константы спин-спинового взаимодействия (CCB) J(M—X), Гц.

Изменение ХС ядер платиновых металлов от окружения показано на рис. 1.

Тенденции экранирования для платиновых металлов общие: наименее экранированы комплексы с кислородным окружением металла, а наиболее — с сульфидо-, циано- и иодидолигандами (см. рис. 1). Соответственно, замещение лиганда в первой координационной сфере комплекса на O-лиганд сдвигает линии ЯМР в слабое поле, а на лиганд S или I — в сильное поле.

Измерения ЯМР на ядрах платиновых металлов осложнены большим диапазоном ХС (см. рис. 1), низкой чувствительностью ядер, большой шириной линий квадрупольных ядер, долгим временем релаксации ядер со спином 1/2 и большим температурным коэффициентом ХС (до 2 м.д./К).

Из-за больших диапазонов ХС платиновых металлов даже на наиболее "сильном" ядре из них — ¹⁹⁵Pt — практически нельзя снять спектр высокого разрешения, охватывающий все воз-

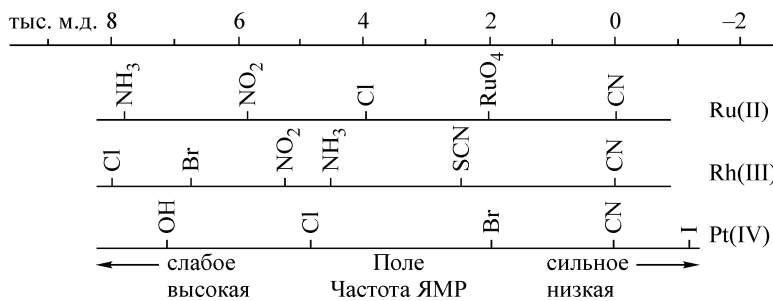


Рис. 1. Тенденции химических сдвигов комплексов платиновых металлов ML₆ относительно M(CN)₆ⁿ⁻

можные окружения металла. Съемку приходится проводить в диапазоне 1÷2 тыс. м.д. и затем пересчитывать данные к общепринятым эталону. Образцы для ЯМР платиновых металлов желательно готовить с концентрациями, близкими к насыщению. Хотя ранние измерения ЯМР ^{195}Pt выполнены на спектрометрах с полем ≈ 2 Т, сигнал других ядер в этом поле можно было получить только в результате многодневного накопления. Приемлемыми спектрометрами ЯМР для платиновых металлов являются спектрометры с полем ≥ 9 Т.

Вследствие большого диапазона пересчет ХС при переходе от одного эталона к другому надо рассчитывать по формуле [6]:

$$\delta = \delta^A \frac{\Xi^A}{\Xi} + 10^6 \frac{\Xi^A - \Xi}{\Xi}, \quad (1)$$

где δ — ХС в шкале эталона с ХС Ξ ; δ^A — ХС в шкале эталона с ХС Ξ^A .

ЯМР платиновых металлов, как правило, не наблюдается в тех состояниях окисления, в которых атом металла парамагнитен. В случае полиядерных соединений, в которых парамагнетизм скомпенсирован, ЯМР на ядрах металлов можно наблюдать и в таких состояниях окисления. Рекально для химических исследований можно использовать для ЯМР изотопы ^{99}Ru , ^{103}Rh и ^{195}Pt .

В тех случаях, когда наблюдение ЯМР на ядре металла затруднено или невозможно, для определения концентрации и свойств комплексов платиновых металлов используют ЯМР ядер лигантов.

Высокое постоянство поля криомагнитов позволяет снимать спектры ЯМР платиновых металлов без ЯМР-стабилизации поля (Lock). Более того, использование D_2O в качестве растворителя при применении Lock'a может уширить линии в измеряемых спектрах и внести заметную ошибку при определении химического сдвига из-за смещения резонанса ^2D за счет состава и кислотности раствора (до 10 м.д.).

Для обнаружения образования коллоидных частиц платиновых металлов в растворах можно использовать ЯМР примесного иона Cs^+ и эффект Тиндаля [7].

Ядерная магнитная релаксация также может быть полезной для интерпретации спектров ЯМР платиновых металлов. Комплексы Pt(II) и Pt(IV) резко различаются по временам релаксации из-за вклада анизотропии ХС. Ширина линии ЯМР ^{99}Ru управляемся квадрупольным механизмом релаксации, и увеличение молекулярной массы приводит к увеличению характерного времени вращения комплекса τ_c и сокращению времен релаксации T_1 и T_2 , т.е. к уширению линии по всем механизмам, кроме спин-вращательного механизма релаксации. Вхождение лиганда с квадрупольным ядром в координационную сферу металла со спином 1/2 действует аналогичным способом. Учет этих правил используется для оптимизации времени регистрации спектров и их интерпретации. Оценка времени релаксации T_2 следует из ширины линии ЯМР, в то время как оценка T_1 требует времени на порядок больше, чем для записи спектра ЯМР.

КООРДИНАТНЫЙ СДВИГ В КОМПЛЕКСАХ ПЛАТИНОВЫХ МЕТАЛЛОВ

При изучении комплексов в системе $\text{Rh}^{\text{III}}\text{—HCl—H}_2\text{O}$ [8] было обнаружено, что ХС ЯМР ^{17}O координированной воды (H_2O^C) в $[\text{RhCl}_x(\text{H}_2\text{O})_{6-x}]^{3-x}$ ($x = 1\div 5$ + изомерия, всего 8 комплексов) имеет только два значения, -99 ± 1 и -141 ± 1 м.д. В комплексах вода расположена на двух координатах комплекса ($\text{H}_2\text{O}\text{—Rh—Cl}$ и $\text{H}_2\text{O}\text{—Rh—OH}_2$), и постоянство ХС ЯМР ^{17}O означает слабое влияние состава комплекса на ХС донорного атома на определенной координате. Различие в ХС этих координат возникает из-за *транс*-влияния, типичного для комплексов платиновых металлов. Такое же примерное постоянство ХС донорного атома на одинаковых координатах обнаружено для донорных атомов азота этилендиаминовых комплексов платины(IV) с разным набором лигандов [9].

Спектр ЯМР ^{14}N одного из комплексов серии состава *транс*-[$\text{PtnCl}_2\text{NH}_3\text{NO}_2$] показан на рис. 2. Видно, что ХС линий двух атомов N этилендиамина в районе -360 м.д. четко различаются из-за различия лигандов в *транс*-положении; это значит, что аммиак находится в плоскости

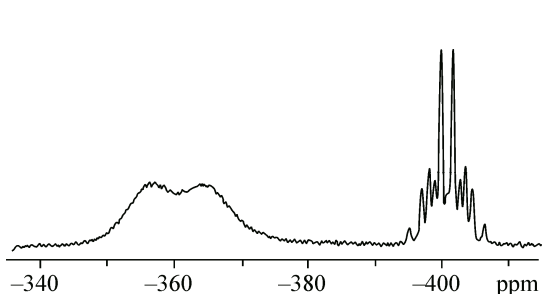


Рис. 2. Спектр ЯМР ^{14}N водного раствора транс-[PtenCl₂NH₃NO₂] при 323 К [9]

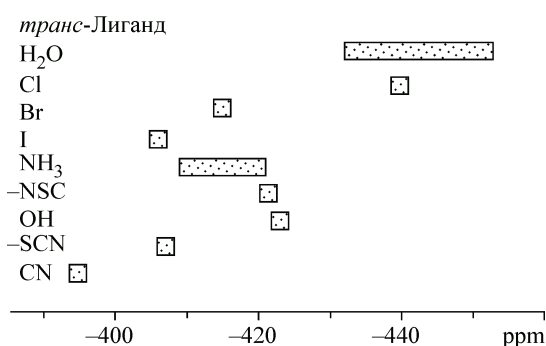


Рис. 3. Диаграмма координатных сдвигов ЯМР $^{14,15}\text{N}$ аммиака в комплексах родия(III). Для несвязанного аммиака $\delta(\text{NH}_3) = -383$ м.д. [7]

этилендиамина. Линия NH₃^C при -400 м.д. расщеплена на трех протонах и ядре платины (см. рис. 2) — редкий случай наблюдения ССВ координированного лиганда [9] (линия NO₂ с XC 6 м.д. не показана на рисунке и соответствует координате N(en)—Pt—NO₂).

Таким образом, XC донорного атома L в лиганде зависит от *транс*-лиганда X, металла M и самого лиганда L, т.е. от координаты комплекса. Это правило справедливо и для плоско-квадратных комплексов. XC донорного атома на определенной координате X—M—L назван **координатным сдвигом** [9, 10].

Координатные сдвиги в комплексах Rh(III) разного состава на координате NH₃—Rh(III)—X показаны на рис. 3; видно, что XC азота выбранной координаты находится в узких пределах, а XC координат с разными *транс*-лигандами различаются.

Эмпирическое правило координатного сдвига существенно расширяет возможности определения строения комплексов платиновых металлов. Так, были определены составы комплексов, образующихся при нитровании рутения, родия, палладия, иридия, платины [11—13] и нитратокомплексов родия [14] без выделения в твердую фазу и дальнейшего структурного анализа.

При замещении *транс*-лиганда меняется и константа ССВ, что было обнаружено в ЯМР ^{31}P фосфиновых комплексов платины [15], однако наблюдения ССВ в комплексах с лигандами N, O, Hal и S редки.

Для понимания положения линий на шкале XC привлекается теория поля лигандов [16].

ЯМР ЯДЕР ЛИГАНДОВ В ИЗУЧЕНИИ СТРОЕНИЯ КОМПЛЕКСОВ ПЛАТИНОВЫХ МЕТАЛЛОВ

В комплексах наиболее используемыми лигандами являются лиганты с донорными атомами N, O, C, P и F (табл. 2). Меньше данных опубликовано о лигандах Se, Te и As. Донорный атом лиганда As вряд ли можно зарегистрировать методом ЯМР ^{75}As из-за большой ширины линии.

Углерод. В химии платиновых металлов метод ЯМР ^{13}C применяют для изучения комплексных соединений с CN, CO и другими содержащими углерод лигандами. Регистрация спектров С-лигандами не отличается от регистрации спектров обычных органических соединений. XC атомов углерода в большинстве соединений лежит в диапазоне 0÷240 м.д. Сведения по ЯМР ^{13}C комплексов и металлоорганических соединений приведены в обзорах [17—19].

В большинстве органических лигандов углерод не является донорным атомом, поэтому его координационный сдвиг невелик. Однако и в этом случае сдвиги отражают различие координат. Примеры величин XC в комплексах металлов с ацетилацетоном приведены в табл. 3. Координация вызывает экранирование атомов C в цикле и дезэкранирование в CH₃-группах.

Влияние координации ацетилацетона и влияние растворителя на XC атомов ^{13}C ацетилацетона близки по величине. Изменение XC углерода как донорного атома при координации го-

Таблица 2

Свойства ядер магнитных изотопов лигандов [5]

Изотоп	Спин	NA ^A , %	Sens ^B	<i>Q</i> , барн	Диапазон химического сдвига, м.д.	Частота ЯМР Ξ, МГц ^C	Эталон
¹³ C	1/2	1,1	1	—	300	25,145020	1 % Si(CH ₃) ₄ /CDCl ₃
¹⁴ N	1	99,6	1,9	0,016	1000	7,226317	CH ₃ NO ₂ ,
¹⁵ N	1/2	0,4	0,007	—	1000	10,136767	Чистая жидкость ^{D, E}
¹⁷ O	5/2	0,037	0,012	-0,025	1500	13,556457	D ₂ O, Чистая жидкость
¹⁹ F	1/2	100	1570	—	7000	94,094011	CFCl ₃
³¹ P	1/2	100	125	0	700	40,480742	85 % H ₃ PO ₄

^A Природное содержание изотопа.^B Чувствительность относительно ¹³C при природном содержании изотопа.^C Частота сигнала ЯМР в поле, в котором частота ЯМР ¹H тетраметилсилина равна ровно 100 МГц.^D Зависит от температуры и растворителя.^E Применяется для органических веществ, δ = 6 м.д. от NO₃⁻ в 0,1M в CDCl₃; для неорганических веществ удобнее использовать 1,5—2M раствор Mg(NO₃)₂.

Таблица 3

Химические сдвиги ЯМР ¹³C в ацетилацетонатах металлов (растворы в CHCl₃)

Соединение	δ(CO), м.д.	δ(CH), м.д.	δ(CH ₃), м.д.	Ссылка
H-Acac	192,4	101	24,8	[18]
Co(Acac) ₃	189	97,9	27,8	[18]
Rh(Acac) ₃	189	99,4	26,7	[10]
Pd(Acac) ₂	186,9	101,3	24,8	[10]

Таблица 4

Константы спин-спинового взаимодействия в комплексах Pt(IV) [22]

Соединение	¹ J(¹⁹⁵ Pt— ¹³ C), Гц
fac-[PtMe ₃ (H ₂ O) ₃] ⁺	791
fac-[PtMe ₃ (NO ₂) ₃] ²⁻	691
fac-[PtMe ₃ (CN) ₃] ²⁻	499
циш-[PtMe ₂ (H ₂ O) ₄] ²⁺	511
[PtMe ₂ (H ₂ O) ₃ OH]	635
[PtMe ₃ Br(H ₂ O) ₃]	592

раздо больше; диапазоны ХС донорного атома Ph (м.д.) 120÷190, Me 30÷50, CO 150÷280, CN 40÷80 [20, 21], Cp 70÷125 [19].

Константы ССВ ¹J(C—H) зависят от заряда на ядре и *s*-характера орбиталей атома C, участвующих в образовании связи, и лежат в пределах 90—320 Гц. КССВ с платиновыми металлами отражают взаимное влияние лигандов (табл. 4).

Хотя время релаксации ¹³C в органических соединениях может доходить до 100 с, в комплексах платиновых металлов $T_1 \leq 10$ с. Измерение T_1 является эффективным методом различения линий атомов C в спектрах ЯМР [17].

Азот. Два магнитных изотопа с магнитными моментами $I = 1$ (¹⁴N) и $I = 1/2$ (¹⁵N) существенно расширяют возможности ЯМР азота. В низких полях (≤ 2 Т) возможности метода ЯМР ¹⁴N ограничены большой шириной линий при низкой симметрии окружения атома N. Для ЯМР ¹⁵N требуется обогащение образца изотопом или долгое накопление из-за низкого природного содержания и больших времен релаксации. Подавление протонов не усиливает сигнал связанных с ними ядер ¹⁵N из-за отрицательного гиромагнитного отношения последнего, но дает выигрыш за счет уменьшения времени релаксации и слияния мультиплетов. В высоких полях эффективность ЯМР ¹⁴N гораздо выше. Чувствительность ЯМР ¹⁴N в поле ≥ 7 Т позволяет при ширине линий менее 1 кГц работать с концентрациями $\geq 0,05$ М.

Данные ЯМР азота отражены в ряде монографий и обзоров [23—26]. В качестве эталона для органических соединений используют нитрометан как внутренний эталон (его ХС меняется

Таблица 5

Химические сдвиги ЯМР азота^A координированных лигандов в нитро- и пентаамминных комплексах [10]

Координата	Rh ^{III}	Ir ^{III}	Pd ^{II}	Pt ^{II}
O ₂ N—M—NO ₂	89—91	54—56	87—90	44—51
Cl—M—NO ₂	65—72	32—40	79—80	55—59
H ₂ O—M—NO ₂	42—59	13—21	47	
H ₃ N—M—NH ₃	—432	—442		
Cl—M—NH ₃	—440	—466		
H ₂ O—M—NH ₃	—451	—479		

^A м.д., относительно [NO₃⁻]; δ(NO₂⁻) = 234 м.д., δ(NH₃) = —383 м.д.

Таблица 6

Координатные сдвиги амиака (δ±2 м.д.) в комплексах платиновых металлов [10]

Координата	Rh ^{III}	Ir ^{III}	Pd ^{II}	Pt ^{II}
H ₂ O—M—NH ₃	—432...—451 ^A	—479	—412	—
Cl—M—NH ₃	—440	—466	—	—40...—58
HO—M—NH ₃	—423	—	—	—56
SCN—M—NH ₃	—421	—	—	—
NCS—M—NH ₃	—407	—	—	—
H ₃ N—M—NH ₃	—409...—421	—442	—430	—36...—46
NC—M—NH ₃	—397	—	—	—
Br—M—NH ₃	—	—	—	—419

^A Показан диапазон ХС для данной координаты разных комплексов, ХС жидкого амиака —383 м.д.

от температуры и растворителя до 7 м.д.). В необезгаженных органических растворителях существует растворенный азот воздуха в концентрации ~0,1 М, давая узкую линию с химическим сдвигом —68÷—74 м.д. от нитрометана в зависимости от растворителя. Для водных растворов удобнее использовать ион NO₃⁻ как внешний эталон, положение линии которого близко к линии нитрометана. Растворимость N₂ в воде гораздо ниже, чем в органике, и появление в спектре линии азота N₂ обычно указывает на низкую концентрацию азотного соединения в образце. Изотопный эффект химического сдвига ¹⁴N ↔ ¹⁵N мал (не более 0,5 м.д.) [24], т.е. ХС азота на ядрах ¹⁴N и ¹⁵N практически одинаков.

Координация атома азота лиганда к металлу вызывает сдвиг линии ЯМР до 150 м.д. по сравнению со сдвигом свободного лиганда. Так, в амминных d⁶-комплексах Ru(II), Rh(III) и d⁸-комплексах Pt(II) высокополевой сдвиг достигает 100 м.д. от линии жидкого NH₃ [23, 26, 27].

Водородная связь с молекулами растворителя вызывает низкополевой сдвиг линии ЯМР азота при образовании связи через протон, соединенный с азотом, и высокополевой при образовании связи непосредственно с азотом [24], как при координации азота к металлу.

ХС азота на координатах X—M—NO₂ и X—M—NH₃ ряда металлов приведены в табл. 5.

Координатные сдвиги азота NH₃ для разных *транс*-лигандов и металлов показаны в табл. 6. Большие изменения ХС соответствуют лигандам, обладающим слабым *транс*-влиянием.

Спектры ЯМР азота использованы для идентификации нитрокомплексов платиновых металлов в растворах без их выделения в твердую фазу [11—13, 28]. Пример ЯМР ¹⁴N спектра для нитрокомплексов родия показан на рис. 4.

Спектр ЯМР ¹⁵N того же образца показывает, кроме основного комплекса Rh(NO₂)₆³⁻ (δ = 92 м.д., рис. 5), наличие многочисленных комплексов родия и их изомеров с координатами

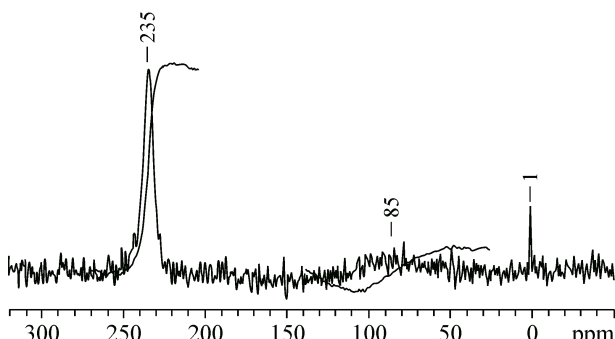


Рис. 4. Спектр ЯМР ¹⁴N после нитрования раствора хлорида родия.
Линия 235 м.д. — свободный ион NO₂⁻; широкая линия ≈ 85 м.д. — линия координированного к родию иона NO₂⁻; узкая линия около нуля относится к нитрату

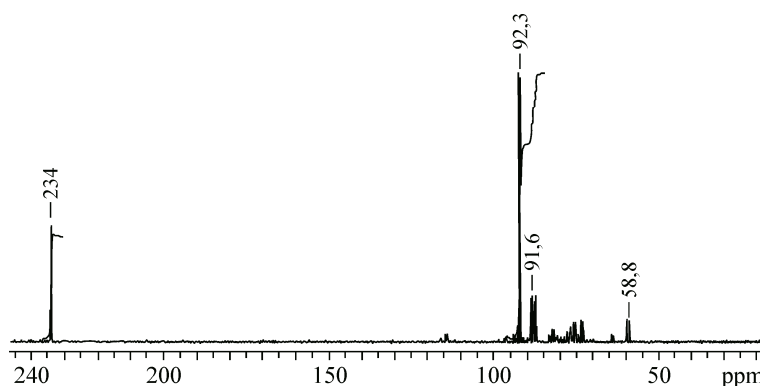


Рис. 5. Спектр ЯМР ^{15}N того же образца, что на рис. 4.
234 м.д. — линия NO_2^- ; 0 м.д. — линия NO_3^- ; 87÷95 м.д. — линии на координате $\text{O}_2\text{N}-\text{Rh}-\text{NO}_2$; 77÷72 м.д. — линии на координате $\text{O}_2\text{N}-\text{Rh}-\text{Cl}$; 58 м.д. — линия азота на координате $\text{H}_2\text{O}-\text{Rh}-\text{NO}_2$; расщепление из-за CCB $^{15}\text{N}-^{103}\text{Rh}$ (≈ 20 Гц) не видно из-за масштаба спектра

$\text{O}_2\text{N}-\text{Rh}-\text{NO}_2$, $\text{Cl}-\text{Rh}-\text{NO}_2$ и $\text{H}_2\text{O}-\text{Rh}-\text{NO}_2$. У лигандов с донорными атомами с квадрупольным ядром расщепление на ядре ^{103}Rh не наблюдается.

Сдвиг недонорных атомов N линейных амбидентатных лигандов (NCO^- , NCS^- , NNN^- , CNO^-) гораздо меньше сдвига координирующего атома N и обычно имеет противоположный знак. Ион NO_3^- обычно координируется монодентатно к платиновым металлам через атом кислорода, и сдвиг азота ≈ 8 м.д. в сильное поле [14], в то время как линии координированных ионов NO_2^- сдвинуты на ≈ 200 м.д. и лежат в области химического сдвига NO_3^- [12].

Известны данные ЯМР N-связанного роданида с Rh, Ir, Pd, Pt. Линии координирующего атома N смешены на 8÷70 м.д. в сильное поле по сравнению со свободным лигандом SCN^- , в то время как концевые атомы N в S-координированных роданид-ионах имеют небольшой низкополевой сдвиг [29—31]. Обзор нитрозильных комплексов металлов дан в [24].

Изучены комплексы Pd(II), Pt(II) с аминокислотами при координации атомами N и O [32]. Координатные сдвиги азота аминокислот приведены в табл. 7.

Имеется определенная общность шкал ХС азота и ^{13}C . ХС азота, как и ^{13}C , определяет внутримолекулярный вклад. Тенденцию изменения ХС азота можно оценить, исходя из приближения средней энергии для парамагнитного вклада в экранирование [33]:

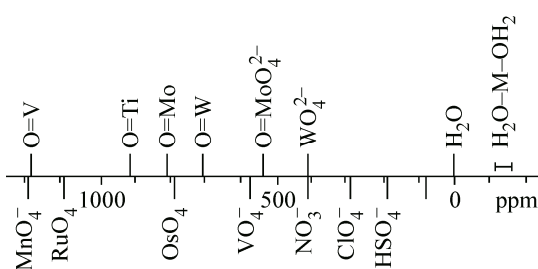
$$\sigma^P = \text{const} \frac{\langle r^{-3} \rangle_{3p} \text{Pu}}{\Delta E}. \quad (2)$$

Изменение электроотрицательности заместителя меняет $\langle r^{-3} \rangle$, поэтому наблюдается корреляция между ХС и электроотрицательностью заместителя. Изменение ΔE приводит к корреля-

Таблица 7

Химические сдвиги ЯМР ^{14}N в комплексах с некоторыми аминокислотами L
[LMCl₂], [LMClOH] (M = Pd(II), Pt(II)) в водных растворах [32]

L	M	$\delta^{14}\text{N}$, м.д. (W, Гц) свободного лиганда	$\delta^{14}\text{N}$, м.д. (W, Гц) N—M—Cl	$\delta^{14}\text{N}$, м.д. N—M—OH
Gly	Pd	-345(73)	-406(600)	-418
Ala	Pd	-332(90)	-387(450)	-403
Am	Pd	-336(98)	-394(550)	-408
Am	Pt	-336(98)	-336(460)	-421
Sar	Pd	-343(106)	-396(700)	—
Ser	Pd	-339(114)	-395(800)	—
Ser	Pt	-339(114)	-401(520)	-422

Рис. 6. Диаграмма химических сдвигов ЯМР ^{17}O [7]

ции δ/λ , где λ — длина волны в электронных спектрах поглощения. Более окрашенные соединения азота имеют меньшую величину ΔE и больший сдвиг в слабое поле. Фактор R_u определяется размытостью p -оболочек атома и связан со степенью ковалентности связи. Большие вклады в ХС азота дают взаимодействие неподеленной пары $n \rightarrow \pi^*$.

Константы ССВ с ядром ^{14}N наблюдаются редко из-за большой ширины линий ЯМР, и данные о них получены из ЯМР ^{15}N . При этом $J(\text{X}—^{14}\text{N}) = -0,713J(\text{X}—^{15}\text{N})$. Константы, как правило, уменьшаются по мере увеличения числа связей между атомами, содержащими выбранные ядра, но непоследовательно. Константы ССВ $^1J(\text{Rh}—^{15}\text{N}) \approx 20$ Гц, а $^1J(\text{Pt}—^{15}\text{N})$ превышают 600 Гц [7, 34].

Механизм ЯМ-релаксации ^{14}N — квадрупольный, и ширина линий донорного атома комплекса обычно $\gg 10$ Гц. Для ^{15}N время релаксации T_1 донорного атома 10–60 с.

Кислород. Число работ с использованием ЯМР ^{17}O превышает число работ по ЯМР других халькогенидов, вместе взятых. Небольшой квадрупольный момент ^{17}O во многих случаях приводит к временам релаксации, удобным для накопления сигнала в импульсных спектрометрах, и в поле ≥ 7 Т сигнал от образца с концентрацией определенных атомов О более 0,2 М на природном содержании изотопа может быть накоплен за 1–4 ч. При обогащении форм изотопом ^{17}O чувствительность ЯМР повышается до трех порядков в зависимости от степени обогащения.

Данные по ЯМР ^{17}O имеются в обзорах и монографиях [7, 35–37], диаграмма ХС приведена на рис. 6.

Довольно широкие линии ЯМР ^{17}O позволяют увеличивать объем образца без влияния неоднородного уширения, а небольшие величины T_1 — записывать сигнал ЯМР с высокой частотой накопления образцов в поле ≥ 7 Т с концентрацией кислорода $>0,1$ М на природном содержании изотопа. Снижение вязкости за счет нагревания и небольшого разведения невязким растворителем существенно улучшает возможности регистрации спектров.

Диапазон ХС ^{17}O в неорганических молекулах и ионах около 1700 м.д., а разнообразие связей даже в одном соединении приводит к многокомпонентным спектрам.

Примеси парамагнитных ионов в водном растворе сильно сдвигают линию ЯМР ^{17}O воды (до 3000 м.д./г-ион парамагнетика) [7], но их воздействие на ХС атомов О координированных лигандов гораздо меньше.

Линия воды — растворителя часто используется и как внутренний эталон в спектрах водных растворов, однако следует помнить о многих причинах, которые смещают линию воды. ХС воды зависит от растворенных ионов из-за вклада гидратных сфер ионов, изменения водородной связи и температурной зависимости ХС воды (изменение на –9 м.д. от 298 до 488 К [37]). Вклады парамагнитных ионов в ХС воды доходят до 3000 м.д. на г-ион парамагнетика [7]. Заметные сдвиги (до 10 м.д.) вызывает изменение кислотности водных растворов.

В спин-спиновом взаимодействии ^{17}O с другими ядрами доминирует контактное взаимодействие [36]. Константы ССВ $J(\text{X}—^{17}\text{O})$ можно определить только из спектров ЯМР ^{17}O , поскольку в спектре ядер X компоненты ССВ неразличимы из-за малого содержания ^{17}O . При обогащении по ^{17}O возможно определение $J(\text{X}—\text{O})$ и по спектру ЯМР на ядре X. Наблюдение констант ССВ осложнено квадрупольным уширением линий ЯМР ^{17}O и обменом соседнего ядра.

Координатные сдвиги атомов ^{17}O в аминокислотах приведены в табл. 8.

ХС ЯМР ^{17}O определяется изменением парамагнитного вклада в экранирование (2), хотя изменение диамагнитного вклада в разных соединениях достигает 50 м.д. [36]. В связи с определяющим значением парамагнитного вклада наблюдают корреляции $\delta — \Delta^{-1}$ [38], $\delta —$

Таблица 8

Координатные сдвиги ЯМР ^{17}O в комплексах с некоторыми аминокислотами $[\text{LMCl}_2]$ и $[\text{LMClOH}]$ в водных растворах, $\text{M} = \text{Pd(II)}, \text{Pt(II)}$ [32]

L	M	$\delta(^{17}\text{O}) \text{COO}^1$, м.д.	$\delta(^{17}\text{O})-\text{O}-\text{M}$, м.д.	$\delta(^{17}\text{O}) \text{O}-\text{C=O}$, м.д.	$\delta(^{195}\text{Pt})$, м.д.
Gly	Pd	271	181	299	—
Ala	Pd	268	172	300	—
Am	Pd	270	174	300	—
Sar	Pd	272	179	303	—
Ser	Pd	270	178	302	—
Ser	Pt	270	166	301	-1397
Am	Pt	270	—	—	-1382

порядок π -связывания [39]; δ — атомный заряд [40]. Основной механизм релаксации ^{17}O — квадрупольный, однако из-за разнообразия связей атомов O возможны и другие вклады в релаксацию. Времена релаксации ^{17}O не превышают долей секунды, для небольших комплексов ~ 10 мс. Они резко уменьшаются с ростом молекулярного веса комплекса и вязкости растворителя. Ширина линии воды резко меняется при переходе от истинного к коллоидному раствору.

Фосфор. Высокая чувствительность и специфичность ЯМР ^{31}P привели к разнообразному применению его в химии. Выпущен ряд монографий и обзоров по ЯМР ^{31}P и аспектам его применения [17, 41—44].

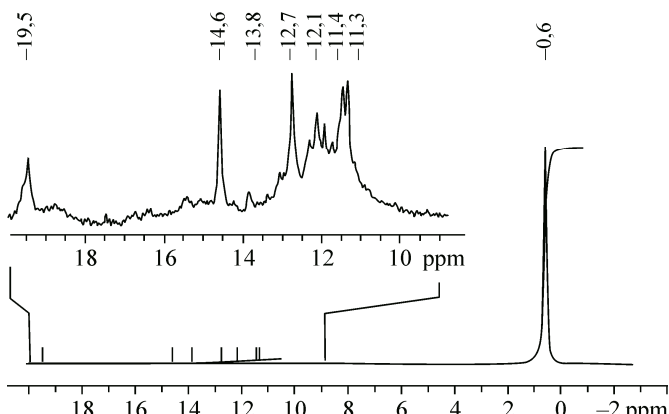
Высокая реакционная способность соединений фосфора обычно не позволяет использовать внутренний эталон в неорганических субстратах, поэтому используют внешний эталон — 85 % H_3PO_4 . Коррекцию на магнитную восприимчивость делают редко, поэтому различие с ранними измерениями ХС достигает ± 5 м.д. Кроме того, ранние работы выполнены в шкале σ , с противоположными знаками ХС по сравнению с современной шкалой δ . Влияние температуры на ХС ^{31}P невелико.

Диапазон ХС ^{31}P для P(III) 250÷460 м.д., для P(V) 100÷-50 м.д., что связано с наличием неподеленной пары электронов у P(III). Экранирование фосфора обычно интерпретируют согласно [15, 41—46], с учетом углов связи, электроотрицательности заместителей и π -характера связи с заместителем. Если в ряду соединений меняется один из перечисленных параметров, наблюдается аддитивность ХС в этом ряду.

Имеются обширные данные о константах ССВ $J(\text{P}-\text{X})$ [15, 41, 45]. Они зависят от состояния окисления и по абсолютной величине больше у P(V): $^1J(\text{P}-\text{H}) = 400 \div 1100$ Гц по сравнению с 200 Гц для P(III). Константы ССВ увеличиваются с ростом электроотрицательности заместителя. Константы ССВ $^1J(\text{P}-\text{Rh}) \sim 10$ Гц, в то время как $^1J(\text{P}-\text{Pt}) 2000 \div 4000$ Гц [15].

В комплексе $[\text{Rh}(\text{NH}_3)_5\text{PO}_4]$ ХС ЯМР ^{31}P зависит от pH подобно зависимости для свободного фосфата [47]. С родием(III) фосфат образует полиядерные комплексы, в которых он преимущественно играет мостиковую роль [48]. На рис. 7 показан спектр ЯМР ^{31}P концентрированного раствора $\text{Rh}(\text{OH})_3$ в смеси азотной и фосфорной кислот. В спектре, кроме линии H_3PO_4 , обнаружено более 14 линий, что нельзя объяснить наличием только моноядерных комплексов родия с фосфатом.

Рис. 7. Спектр ЯМР ^{31}P концентрированного раствора гидроксида родия(III) в смеси азотной и фосфорной кислот



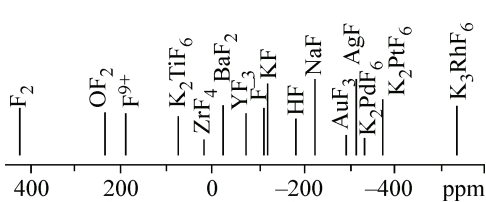


Рис. 8. Шкала химических сдвигов ЯМР ^{19}F [50]

Набор фосфатных форм Rh(III) существенно меняется в зависимости от соотношения Rh/P, pH и температурной обработки.

Фтор. Фторидные соединения и комплексы платиновых металлов начали изучаться раньше других из-за высокой чувствительности ЯМР ^{19}F [49—55]. Эти соединения малорастворимы и реагируют с водой. Большая часть работ относится к изучению твердотельных соединений. Шкала ЯМР ^{19}F показана на рис. 8, а данные ЯМР ^{19}F для комплексов платиновых металлов приведены в обзоре [49] и табл. 9.

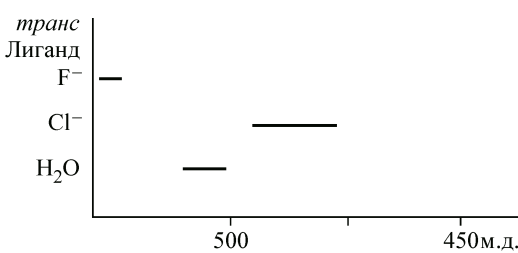


Рис. 9. Координатные сдвиги ^{19}F с некоторыми транс-лигандами по данным [55]

Таблица 9

Данные ЯМР ^{19}F комплексов платиновых металлов

Комплекс	$\delta^{19}\text{F}$, м.д. $\{\delta^{19}\text{F}-^{19}\text{F}\}$, Гц	Примечание	$J(^{19}\text{F}-\text{X})$, Гц	X	Ссылка
K_2RuF_6	5200 ± 200	Твердый			[50]
RuF_6^{2-}	4376	H_2O			[49]
K_3RhF_6	-530 ± 30	Твердый			[50]
RhF_6^{3-}	-521 {244}	40 % HF, 295 K	102	^{103}Rh	[52]
$\text{cis-RhF}_4(\text{H}_2\text{O})_2^{2-}$	-523 {234}, -553 {244}				[55]
RhF_6^{3-}	-528 {237} ^A	H_2O^B	104	^{103}Rh	[55]
$\text{RhF}_5\text{Cl}^{3-}$	-526 {236} (F-транс-F) -495 {226} (F-транс-Cl)				[55]
$\text{cis-RhF}_4\text{Cl}_2^{3-}$	-525 {237} (F-транс-F) -493 {226} (F-транс-Cl)				[55]
$fac\text{-RhF}_3(\text{H}_2\text{O})_3^0$	-502 {230}				[55]
$cis\text{-RhF}_2(\text{H}_2\text{O})_4^+$	-507 {238}				[55]
$cis\text{-RhFCl}_5^{3-}$	-477 {210}				[55]
$cis\text{-RhF(OH)}_5^{3-}$	-501 {227}				[55]
$cis\text{-RhF}(\text{H}_2\text{O})_5^{2+}$	-510 {235}				[55]
K_2PdF_6	-326 ± 20	Твердый			[49]
OsF_6	-89	Расплав, 313 K			[47]
OsF_6^{2-}	1126	H_2O			[52]
$cis\text{-OsF}_4\text{O}_2$	63 (F-транс-F) {138} 16 (F-транс-O)	HF б/в	35 59	^{187}Os	[54]
IrF_6	-205	Расплав, 313 K			[52]
K_2IrF_6	1150 ± 100	Твердый			[50]
K_2PtF_6	-368 ± 30	Твердый			[50]
$[\text{PtF}_6]^{2-}$	-325	$\text{PtF}_4/\text{BrF}_3$	1976	^{195}Pt	[56]

^A Температурный коэффициент химического сдвига $\leq 0,05$ м.д./К.

^B Смещение XC в концентрированных кислотах на $\leq +2,5$ м.д.

Из данных ЯМР ^{19}F комплексов родия определены ХС на трех координатах: F—Rh—F, Cl—Rh—F, H_2O —Rh—F (рис. 9). В работе [54] изучены оксофторидные комплексы осмия OsO_4F^- , $\text{OsO}_4\text{F}_2^{2-}$ и OsO_3F_3^- .

ЯМР КОМПЛЕКСОВ ПЛАТИНОВЫХ МЕТАЛЛОВ НА ЯДРАХ МЕТАЛЛОВ

Рутений. Для ЯМР рутения более выгодно использовать изотоп ^{99}Ru из-за меньшего квадрупольного момента его ядра, чем ^{101}Ru , несмотря на его меньшую чувствительность. Первые измерения ЯМР ^{99}Ru и ^{101}Ru сделаны в работах [2, 57]. Данные ЯМР некоторых форм рутения приведены в табл. 10.

Из табл. 10 следует то, что диапазон ХС рутения превышает 9000 м.д. Наиболее экранированы ядра карбонильных соединений, наименее — ядра аминовых комплексов рутения. Влияние смены растворителя сильнее, чем изменение кислотности раствора.

Изучены нитронитрозокомплексы Ru(II) и формы рутения в кислых водных растворах в присутствии нитратов и нитритов [60—63].

В спектрах ЯМР ^{14}N нитрованного раствора хлорида рутения координированный нитрат можно наблюдать до концентраций $\sim 10^{-3}$ М, а кислородные формы наблюдают в спектрах ЯМР ^{17}O при концентрации комплекса $\geq 0,1$ М на природном содержании ^{17}O [7].

Стандартное вещество $\text{Na}_2[\text{RuNO}(\text{NO}_2)_4\text{OH}] \cdot 2\text{H}_2\text{O}$ синтезировали по методике [64] без выделения в твердую фазу. Соли аниона $[\text{RuNO}(\text{NO}_2)_4\text{OH}]^{2-}$ хорошо охарактеризованы в твердом состоянии и устойчивы в водных растворах [65], свойства комплекса изучены различными методами, в том числе и структурными [66, 67].

По данным ЯМР $^{14,15}\text{N}$, ^{17}O , ^{99}Ru комплексный ион $[\text{RuNO}(\text{NO}_2)_4\text{OH}]^{2-}$ сохраняет свое строение в растворе, при этом происходит частичная акватация комплекса (спектры ЯМР ^{17}O и ^{99}Ru приведены на рис. 10) [59]. Наблюдаемые линии ЯМР ^{99}Ru лежат внутри диапазона ХС комплексов Ru(II). Температурный коэффициент ХС ^{99}Ru в комплексе $[\text{RuNOOH}(\text{NO}_2)_4]^{2-}$ около 1 м.д./К. В спектре ЯМР ^{17}O наблюдали две группы линий, соответствующие по соотношению линиям в спектре ЯМР ^{99}Ru : атомов О нитрогруппы (684 м.д., 8 атомов), группы NO^+ (369 м.д., 1 атом) и группы OH (125 м.д., 1 атом). Узкая линия 660 м.д. относится к свободному иону NO_2^- , вышедшему из комплекса в результате акватации. Более слабые линии относятся к аквированному комплексу [59].

Таблица 10

Данные ЯМР ^{99}Ru

Соединение	Растворитель	$\delta^{99}\text{Ru}$, м.д. (W, Гц)	T, K; ссылка
KCl ^A	Насыщенный / H_2O	11361	Комн. [58]
$[\text{Ru}(\text{CN})_6]^{4-}$	0,3M / D_2O	0	297 [58]
$[\text{Ru}(\text{NH}_3)_6]^{3+}$	Насыщенный / D_2O	7821	297 [58]
$[\text{RuCl}_6]^{4-}$	H_2O	3967 (49)	295 [59]
$[\text{Ru}(\text{NO}_2)_6]^{4-}$	H_2O	5892 (150)	295 [7, 60]
$(\text{Et}_4\text{N})_4[\text{Ru}(\text{SnCl}_3)_5\text{Cl}]$	Насыщенный / MeCN	1554	303 [58]
Cs $[\text{Ru}(\text{CO})_3\text{Cl}_3]$	EtOH	1001	313 [58]
Cs $[\text{Ru}(\text{CO})_3\text{Cl}_3]$	0,3M / D_2O	1111	333 [58]
$\text{Ru}_2(\text{CO})_6\text{Cl}_4$	0,3M пиридин	806	297 [58]
$\text{Ru}_2(\text{CO})_6\text{Cl}_4$	0,3M / ацетон	1204	297 [58]
$\text{Cs}_2[\text{Ru}(\text{CO})_2\text{Cl}_4]$	0,3M / D_2O	252	333 [58]
RuO_4	Насыщенный / CCl_4	2021	297 [58]
$\text{Ru}_3(\text{CO})_{12}$	Насыщенный / C_6H_6	-1208	297 [58]

^A ^{39}K в шкале химических сдвигов ^{99}Ru .

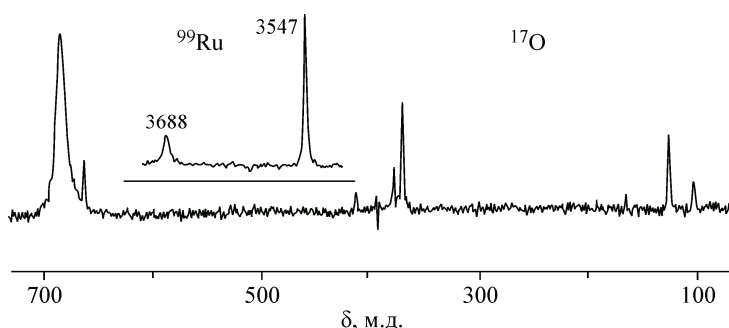


Рис. 10. Спектры ЯМР ^{99}Ru и ^{17}O водного раствора препарата $\text{Na}_2[\text{RuNOOH}(\text{NO}_2)_4]$ (7,05 Т, 343 К) [59]

В спектре ЯМР ^{15}N раствора наблюдали две линии азота комплекса $[\text{RuNOOH}(\text{NO}_2)_4]^{2-}$: линии на координате $\text{NO}_2-\text{Ru}-\text{NO}_2$ и группы NO в соотношении 4:1 (табл. 11), а более слабые линии ЯМР азота относятся к координатам $\text{NO}_2-\text{Ru}-\text{NO}_2$, $\text{NO}_2-\text{Ru}-\text{H}_2\text{O}$ и $\text{NO}-\text{Ru}-\text{OH}$ в соотношении интенсивностей 2:1:1 акватированного комплекса $[\text{RuNOOH}(\text{NO}_2)_3\text{H}_2\text{O}]^-$. Экстракция твердой фазы ацетоном не приводит к избавлению от продукта акватации. Итак, в водных и водно-ацетоновых растворах в равновесном состоянии существуют $[\text{RuNOOH}(\text{NO}_2)_4]^{2-}$ и $[\text{RuNOOH}(\text{NO}_2)_3\text{H}_2\text{O}]^-$.

Из раствора "хлористого рутения" (47,0 % Ru) готовили два нитрованных раствора добавлением навесок $\text{Na}^{15}\text{NO}_2$ (95 % ^{15}N) с отношением Ru: NO_2^- = 1:6 (раствор А) и 1:12 (раствор В). В ходе нитрования растворы упаривали ($C_{\text{Ru}} = 0,35 \text{ M}$) для спектроскопии ЯМР. Экстракцию рутения проводили 50%-ым раствором ТБФ в гептане при соотношении фаз 1:1; реэкстракцию 1 M раствором $\text{Na}^{14}\text{NO}_2$ при том же соотношении фаз.

В спектрах ЯМР ^{15}N растворов с соотношением Ru: NO_2 1:12 наблюдали группу линий NO^C , линию ионов NO_3^- ($\delta = 0$ м.д.), появившуюся из-за диспропорционирования HNO_2 в кислых средах, и линии с ХС 97÷94 м.д. (координата $\text{O}_2\text{N}-\text{Ru}-\text{NO}_2$) и 82÷79 м.д. (координата $\text{Cl}-\text{Ru}-\text{NO}_2$). Линий свободных NO_2^- или HNO_2 не обнаружено. По условиям накопления спектров ЯМР точное соотношение интенсивностей линий искажено, но в результате нитрования комплекс $[\text{Ru}(\text{NO}_2)_6]^{4-}$ не получен.

Экстракция трибутилфосфатом проходит быстро и обратимо; рафинаты устойчивы в течение полугода. Добавление к таким растворам $\text{Na}^{15}\text{NO}_2$ (3 M $^{15}\text{NO}_2^-$ на 1 M Ru) и последующее нагревание приводит к доминированию формы $[\text{RuNO}(\text{NO}_2)_4\text{OH}]^{2-}$ и появлению уширенной

Таблица 11

Данные ЯМР ^{15}N δ ($\pm 0,2$ м.д.) лигандов в нитрозильных формах рутения [59, 60]

Соединение	NO	NO_2-NO_2	NO_2-Cl	$\text{NO}_2-\text{H}_2\text{O}$	$\delta(^{99}\text{Ru})$, м.д.
$[\text{RuNO}(\text{NO}_2)\text{Cl}_2(\text{H}_2\text{O})_2]^0$	-18,7	—	—	68,2	—
$[\text{RuNO}(\text{NO}_2)\text{Cl}_3(\text{H}_2\text{O})]^-$	-17,3	—	80,7	—	—
$\text{cis}-[\text{RuNO}(\text{NO}_2)_2(\text{H}_2\text{O})_3]^+$	-26 ^A	—	—	77 ^B	—
$\text{cis}-[\text{RuNO}(\text{NO}_2)_2(\text{H}_2\text{O})_3]^+$	-27,2	—	—	79,1 ^C	—
$\text{cis}-[\text{RuNO}(\text{NO}_2)\text{Cl}_2\text{OH}]^{2-}$	-29,2	—	81,6	—	—
$\text{trans}-[\text{RuNO}(\text{NO}_2)_2(\text{H}_2\text{O})_2\text{OH}]$	-23,9	94,0	—	—	—
$[\text{RuNO}(\text{NO}_2)_3(\text{H}_2\text{O})\text{OH}]^-$	-32,7	96,3	—	80,1	3635 ^D
$[\text{RuNO}(\text{NO}_2)_3\text{Cl}(\text{OH})]^{2-}$	-34,9	97,5	82,4	—	—
$[\text{RuNO}(\text{NO}_2)_4\text{OH}]^{2-}$	-37,2	94,3	—	—	3500 ^D

^A Уширенные линии.

^B pH 0,4.

^C pH 4,0.

^D 303 K.

Рис. 11. Спектры ЯМР ^{99}Ru (A) и ^{15}N (B) раствора комплекса $[\text{RuNOCl}_5]^{2-}$ на промежуточной стадии нитрования [61]

линии избыточного нитрита [59]. В реэкстрактах рутений находится в форме $[\text{Ru}^{15}\text{NO}(\text{NO}_2)_4\text{OH}]^{2-}$. Таким образом, конечным продуктом нитрования является форма $[\text{RuNO}(\text{NO}_2)_4\text{OH}]^{2-}$.

Дискуссионным в химии нитрозокомплексов рутения является вопрос о возможности существования частиц с числом координированных нитрогрупп больше четырех. При увеличении равновесной концентрации NO_2^- доминирующей формой остается $[\text{RuNO}(\text{NO}_2)_4\text{OH}]^{2-}$. Только при соотношении $[\text{RuNO}(\text{NO}_2)_4\text{OH}]^{2-} : \text{NO}_2^- = 1:15$ в спектрах ЯМР ^{15}N появляются линии $-42,3$, $99,6$ и $100,8$ м.д., по интенсивностям удовлетворяющие стехиометрии $[\text{RuNO}(\text{NO}_2)_5]^{2-}$, но доля этой формы не более 10 %. Дальнейшее повышение разновесной концентрации NO_2^- приводит к росту pH до 8, где начинается конкурентное комплексообразование с OH^- и появление линий нитрозогрупп в области $\delta \text{C} < -37,6$ м.д. при отсутствии соответствующих линий нитрогрупп. Соль $\text{K}_{4-x}\text{Na}_x[\text{Ru}(\text{NO}_2)_6]$ была синтезирована другим методом [68].

Кинетика нитрования комплекса $[\text{RuNOCl}_5]^{2-}$ изучена методами ЯМР ^{99}Ru и ^{15}N [61]. В спектре ЯМР рутения (рис. 11, A) наблюдали исходный комплекс $[\text{RuNOCl}_5]^{2-}$ ($\delta^{99}\text{Ru} = 4192$ м.д.), конечный в процессе нитрования $[\text{RuNOO}(\text{NO}_2)_4]^{2-}$, $\delta^{99}\text{Ru} = 3482$ м.д., а также примесный ион $[\text{RuCl}_6]^{4-}$. В спектре ^{15}N виден нитрующий агент NO_2^- ($\delta^{15}\text{N} = 231$ м.д.) и атомы N на координате $\text{O}_2\text{N}—\text{Ru}—\text{NO}_2$ комплекса $[\text{RuNOO}(\text{NO}_2)_4]^{2-}$ ($\delta^{15}\text{N} = 94$ м.д.). В процессе нитрования образуются и нитритокомплексы рутения ($\delta^{15}\text{N} = 203$ м.д., рис. 11, B), возможно, являющиеся интермедиатом при образовании основной формы.

Из-за низкой чувствительности ЯМР рутения широкие линии несимметричных форм могут быть "утеряны" на фоне узких линий.

В ЯМР азота этих комплексов, кроме линий свободного нитрита или азотистой кислоты, наблюдали линии нитро- и нитрозолигандов. Данные ЯМР азота донорных атомов лигандов комплексов Ru показаны в табл. 11.

Состав комплексов, приведенных в табл. 11 и 12, был установлен по данным ЯМР ^{99}Ru , $^{14,15}\text{N}$, ^{17}O [59—63].

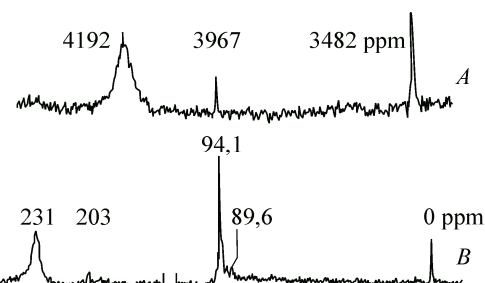


Таблица 12

Данные ЯМР ^{99}Ru и ^{17}O некоторых нитронитрозо-форм рутения

Комплекс рутения	Растворитель	$\delta^{99}\text{Ru}$, м.д. (W, Гц)	$\delta^{17}\text{O}$, м.д. ^A	T, К, ссылка
$[\text{RuNO}(\text{NO}_2)_3\text{Cl}_2]^{3-}$	H_2O	3555 (785)		295 [61]
$[\text{RuNOO}(\text{NO}_2)_4]^{2-}$	$\text{CO}(\text{CH}_3)_2$	3488 (133)	691; 354; 119	323 [59]
$[\text{RuNOO}(\text{NO}_2)_4]^{2-}$	H_2O	3500 (68)	681; 368; 123	303 [59]
$[\text{RuNOO}(\text{NO}_2)_3(\text{H}_2\text{O})]^-$	H_2O	3635 (140)	684; 378; 103	303 [59]
<i>мер</i> - $[\text{RuNOO}(\text{NO}_2)_3\text{OH}]^{2-}$	H_2O	3615 (300)	684; 378; 102 ^B	295 [63]
<i>транс</i> *- $[\text{Ru}(\text{NOO})(\text{NO}_2)_2 \cdot \text{H}_2\text{OOH}]^-$	H_2O	3704 (170)	678; 320	295 [63]
$[\text{Ru}(\text{NOO})(\text{NO}_2)_2\text{H}_2\text{O}(\text{OH})_2]^-$	H_2O	4102 (450)	678; 324	295 [63]
<i>мер</i> - $[\text{Ru}(\text{OH})_3\text{NO}(\text{NO}_2)\text{H}_2\text{O}]^{2-}$	нас., CH_2Cl_2	3291		346 [58]

^A Линии ЯМР ^{17}O 691—678 м.д. относятся к координированному нитриту NO_2^{C} , линии 324—378 — к координированному NO, линии 102—125 м.д. — к координированным OH-группам.

^B Линия NO_2^{C} (680 м.д.) сливается с линиями NO_2^{C} других форм.

Таблица 13

Данные ЯМР водных растворов нитрозохлоридных комплексов рутения при ≈ 293 К [71]

Комплекс рутения	$\delta^{99}\text{Ru}$, м.д. (W, Гц)	$\delta^{14}\text{N}$, м.д.	$\delta^{17}\text{O} (\text{NO})$, м.д.	$\delta^{17}\text{O} (\text{H}_2\text{O})$, м.д.
$[\text{RuNOCl}_5]^{2-}$	4190 (650)	-36	379	
<i>транс</i> - $[\text{RuNOCl}_4(\text{H}_2\text{O})]^-$	3920 (1600)	-18	411	0 ± 10
<i>цис</i> - $[\text{RuNOCl}_4(\text{H}_2\text{O})]^-$	4450 (800)		~ 380	-79
<i>транс</i> *- $[\text{Ru}(\text{NOH}_2\text{O}) \cdot \text{Cl}_2 \cdot \text{H}_2\text{OCl}]$	4130 (2000)	-18	413	-71; -4 ^A
<i>fac</i> - $[\text{RuNOCl}_3(\text{H}_2\text{O})_2]$	4770 (1000)			

^A Раствор комплекса рутения в ацетоне.

Были также исследованы механизмы взаимопревращения $[\text{RuNOOH}(\text{NO}_2)_4]^{2-} \leftrightarrow \text{цис}-[\text{RuNO}(\text{OH})_3(\text{NO}_2)(\text{H}_2\text{O})]^-$ в промежуточные комплексы [63].

Известны константы CCB $J^{99}\text{Ru}-^{13}\text{C} = 44,8$ Гц [69] в $\text{Ru}(\text{CN})_6^{3-}$, $\text{Ru}(\text{CN})_6^{3-}$, $J^{99}\text{Ru}-^{17}\text{O} = 23,4$ Гц в RuO_4 [70]. ЯМР-релаксация ^{99}Ru имеет квадрупольный характер.

Водные растворы $[\text{RuNOCl}_5]^{2-}$ нестабильны и подвержены гидролизу [71]. Данные ЯМР водных растворов нитрозохлорокомплексов рутения приведены в табл. 13.

В процессе перехода от пента- к монохлориду рутения обнаружена новая форма — трихлорид рутения, незаряженный комплекс *транс**- $[\text{Ru}(\text{NOH}_2\text{O}) \cdot \text{Cl}_2 \cdot \text{H}_2\text{OCl}]$, линия которого преобладает в ЯМР спектре ^{99}Ru , показанном на рис. 12.

В спектрах ЯМР ^{17}O водного раствора нитрозотрихлорида рутения линия воды закрывает близколежащие линии от координационной воды, в то же время ^{17}O спектр ацетонового раствора позволил их обнаружить (рис. 13).

На основании взаимодополняющих спектров ЯМР ^{99}Ru , $^{14,15}\text{N}$, ^{17}O и определения концентрации свободного хлорид-иона методом ЯМР ^{35}Cl были оценены константы равновесия и построена схема превращений комплекса $[\text{Ru}(\text{NO})\text{Cl}_5]^{2-}$ в водных растворах (рис. 14).

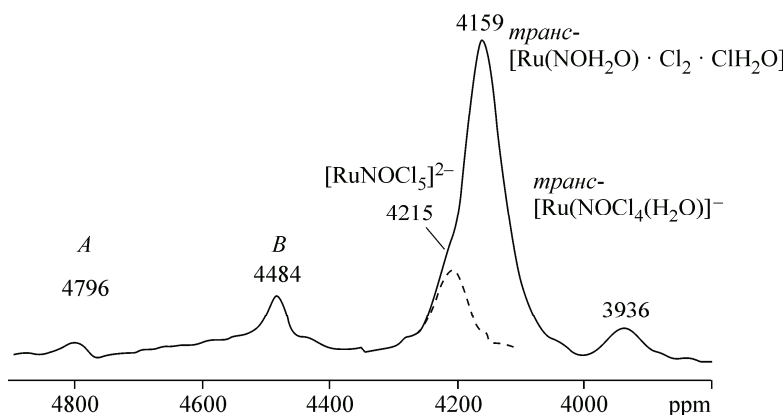


Рис. 12. Спектр ЯМР ^{99}Ru 1,0 М водного раствора нитрозотрихлорида рутения (323 К) [71]

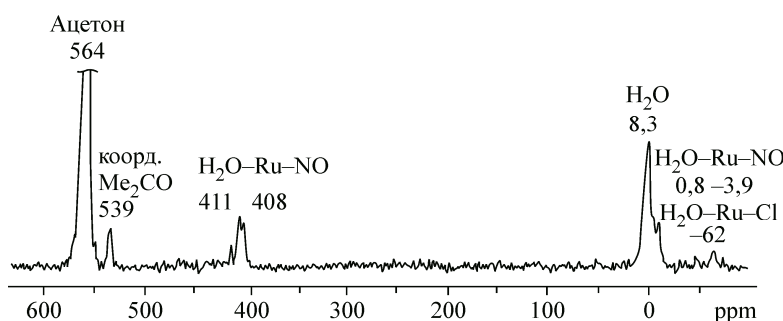
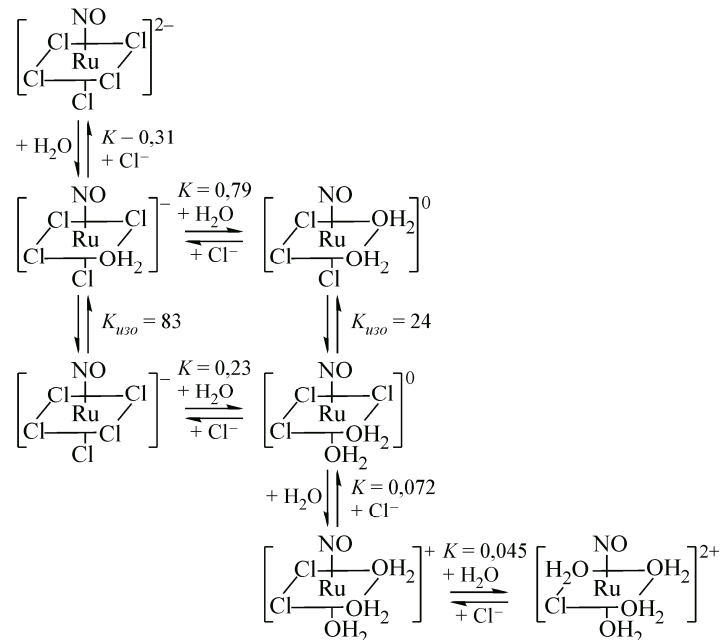


Рис. 13. Спектр ЯМР ^{17}O насыщенного раствора нитрозотрихлорида рутения в ацетоне [71]

Рис. 14. Схема взаимопревращений нитрозохлоридных форм рутения в водном растворе [71]



В работе [72] был изучен внешнесферный перенос электронов в гексаквакомплексах Ru(II/III), а также образование гетерометаллических комплексов рутения с ионами Cu^{2+} и Ni^{2+} .

Методом ЯМР ^{99}Ru изучены металлоорганические комплексы [70, 73], как, например, комплекс $[\text{Ru}(\text{bpy})_3]^{2+}$ (известный катализатор фоторазложения воды) [58] и родственные ему комплексы [70]. Ряд работ посвящен расчету ХС рутения [74].

Осмий. Прямое наблюдение ЯМР осмия осложнено как на ядрах ^{187}Os (крайне низкая чувствительность, большое время T_1) [1], так и на ядрах ^{189}Os (широкие линии ЯМР, ситуация хуже, чем у ЯМР ^{105}Pd) [75] (см. табл. 1). Оценка времен релаксации ^{187}Os в OsO_4 ($1 < T_1 < 26$ с; $0,7 < T_2 < 12$ с) и ^{189}Os в расплаве OsO_4 ($T_2 = 230$ мкс) является примером прямого наблюдения ЯМР осмия. По-видимому, шкала ХС ЯМР осмия будет составлена методом двойного резонанса, поскольку в кластерных соединениях осмия наблюдали константы $^1J(\text{H}—^{187}\text{Os}) = 14\div38$ Гц [76]. Для этого требуются "сильные" ядра (^1H , ^{19}F , ^{31}P), поскольку для наблюдения сателлитов от ^{187}Os (природное содержание 1,6 %) необходимо хорошее соотношение сигнал/шум или обогащение по изотопу ^{187}Os . Изучены оксофторидные комплексы осмия [54, 77]. Химический сдвиг ^{187}Os комплекса *cis*- OsO_2F_2 1430 ± 10 м.д. от OsO_4 , $J(^{187}\text{Os}-\text{F})$ 35 Гц ($\text{F}-\text{Os}-\text{F}$) и 59 Гц ($\text{O}-\text{Os}-\text{F}$) [77].

Родий. Накоплен большой объем данных ЯМР ^{103}Rh [7, 78, 79], большая часть которых получена методами двойного резонанса и относится к металлоорганическим соединениям Rh(I). Значительно меньше данных ЯМР ^{103}Rh комплексов Rh(III) с неорганическими лиганда-ми, полученных прямыми измерениями резонанса (табл. 14—18).

Таблица 14

Данные ЯМР ^{103}Rh комплексов родия(III)

Комплекс	Условия	$\delta^{103}\text{Rh}$, м.д.	Ссылка
$[\text{Rh}(\text{H}_2\text{O})_6]^{3+}$	HClO_4 aq, 298 К	9936	[80]
$[\text{Rh}(\text{H}_2\text{O})_6]^{3+}$	HClO_4 aq, 276 К	9866	[81]
$[\text{Rh}(\text{H}_2\text{O})_6]^{3+}$	HNO_3 aq, 300 К	9910—9922	[82, 83]
$[\text{Rh}(\text{H}_2\text{O})_6]^{3+}$	H_2SO_4 aq, 300 К	9866	[84]
$\text{Na}_3[\text{Rh}(\text{NO}_2)_6]$	H_2O , 295 К	5580	[85]
$[\text{Rh}(\text{NO}_2)_3(\text{H}_2\text{O})_3]$	H_2O , 295 К	6570	[85]
$[\text{Rh}(\text{NO}_2)_2(\text{H}_2\text{O})_4]^+$	H_2O , 295 К	6740	[85]
$\text{Na}_3[\text{RhCl}_6]$	H_2O , 298 К	8302	[8]
$\text{Na}_3[\text{RhCl}_6]$	$\text{HCl H}_2\text{O}$, 313 К	7985	[86]
$\text{Na}_3[\text{RhBr}_6]$	$\text{HBr H}_2\text{O}$, 313 К	7077, 6924	[87, 88]
<i>mer</i> - $[\text{RhBr}_3(\text{SMe}_2)_3]$	CH_2Cl_2	3437	[79]

Таблица 15

Данные ЯМР ^{103}Rh разнолигандных комплексов родия(III)

Комплекс	Растворитель	T, K	$\delta^{103}\text{Rh}$, м.д.	Ссылка
$[\text{Rh}(\text{SCN})_6]^{3-}$	H_2O	298	2726	[89]
$[\text{Rh}(\text{SCN})_6]^{3-}$	CH_2Cl_2	243	2791	[89]
<i>цис</i> - $[\text{Rh}(\text{NCS})_4(\text{SCN})_2]^{3-} \text{3K}^+$	CH_2Cl_2	243	5038	[89]
<i>транс</i> - $[\text{Rh}(\text{NCS})_4(\text{SCN})_2]^{3-} \text{3K}^+$	CH_2Cl_2	243	5042	[89]
$[\text{Rh}(\text{SeCN})_6]^{3-}$ ^A	CH_2Cl_2	243	2287	[79]
$[\text{Rh}(\text{CN})_6]^{3-}$	$\text{HClO}_4/\text{H}_2\text{O}$	298	340	[89]
$[\text{Rh}(\text{NH}_3)_6]^{3+} \text{3Cl}^-$	$\text{NH}_3/\text{H}_2\text{O}$	276	4766	[89]
$[\text{Rh}(\text{NH}_3)_3(\text{H}_2\text{O})_3]^{3+}$	H_2O	293	6570	[85]
<i>мер</i> - $[\text{RhCl}_3(\text{CH}_3\text{CN})_3]$	CH_3NO_2	293	5712	[90]
<i>фак</i> - $[\text{RhCl}_3(\text{CH}_3\text{CN})_3]$	CH_3NO_2	293	5930	[90]
$[\text{RhAcac}_3]$	CHCl_3		8358	[91]
$[\text{Rh}_2(\mu\text{-OH})_2(\text{H}_2\text{O})_8]^{4+}$	$\text{HClO}_4/\text{H}_2\text{O}$	298	9997	[90, 92]
$[\text{Rh}_2(\mu\text{-OH})(\mu\text{-NO}_3)(\text{H}_2\text{O})_8]^{3+}$	$\text{HNO}_3/\text{H}_2\text{O}$	300	9936—9947 ^B	[83]
$[\text{Rh}_2(\mu\text{-SO}_4)_2(\text{H}_2\text{O})_8]^{3+}$	$\text{H}_2\text{SO}_4/\text{H}_2\text{O}$	300	10060	[84]

^A $^1J(^{103}\text{Rh}-^{77}\text{Se}) = 44$ Гц.^B Зависит от концентрации кислоты.

Данные ЯМР для галогенидокарбонильных комплексов Rh(III) приведены в табл. 16.

Данные ЯМР ^{103}Rh некоторых типичных карбонильных комплексов родия представлены в табл. 18.

ХС ЯМР ^{103}Rh в большой степени определяется состоянием окисления родия и донорными атомами первой координационной сферы. Rh(III) имеет электронную конфигурацию $[\text{Kr}]4d^6$, которой соответствует октаэдрическая конфигурация инертных комплексов с химическим сдвигом в диапазоне 10600÷1600 м.д. Rh(I) имеет электронную конфигурацию $[\text{Kr}]4d^8$, которой соответствует плоскоквадратная или тригонально-бипирамидальная конфигурация сравнительно лабильных комплексов с четырьмя или пятью лигандами в диапазоне ХС 3000÷-2000 м.д. Первые обычно имеют меньшие ХС, чем вторые. Лиганды слабого кристаллического поля — галогениды и донорные атомы кислорода ведут к сдвигам металла в комплексе в слабое

Таблица 16

Данные ЯМР галогенидокарбонильных комплексов Rh(III) в растворах CH_2Cl_2 при комнатной температуре [93]

Координата	X = Cl			X = Br			X = I		
	*	**	***	*	**	***	*	**	***
<i>цис</i> - $[\text{RhX}_4(\text{CO})_2]^-$	168	53	—	170	53	1567	170	54	—
<i>транс</i> - $[\text{RhX}_4(\text{CO})_2]^-$	—	—	—	172	49	—	172	48	—
$[\text{RhX}_5(\text{CO})]^{2-}$	175	55	4047	—	—	—	184	53	—
$[\text{RhX}_4(\text{CO})(\text{MeOH})]^-$	—	—	—	175	58	3103	179	56	—
$[\text{Rh}_2\text{X}_8(\text{CO})_2]^{2-}$	170	61	4427	179	60	2888	181	55	2997
$[\text{Rh}_2\text{X}_9(\text{CO})_2]^{3-}$	173	62	3976	—	—	—	184	55	—

* $\delta(^{13}\text{C})$, м.д.** $^1J(^{103}\text{Rh}-^{13}\text{C})$, Гц.*** $\delta(^{103}\text{Rh})$, м.д.

Таблица 17

ХС ЯМР ^{103}Rh комплексов родия(I) и родия(-I)

Комплекс	Растворитель	T, K	$\delta, ^{103}\text{Rh}$, м.д.	X	$^1J(^{103}\text{Rh}-\text{X})$	Ссылка
Rh(I): RhCl(PPh ₃) ₃	CH ₂ Cl ₂	306	-81	³¹ P	189	[94]
RhBr(PPh ₃) ₃	CH ₂ Cl ₂	280	-142	³¹ P	192, 141	[94]
RhI(PPh ₃) ₃	CH ₂ Cl ₂	260	-267	³¹ P	194	[94]
Rh(NCS)(PPh ₃) ₃	CHCl ₃	300	-156	³¹ P	175, 141	[95]
Rh(NCO)(PPh ₃) ₃	CHCl ₃	300	-168	³¹ P	173, 142	[95]
[Rh(Acac)(C ₂ H ₄) ₂]	CH ₂ Cl ₂	300	1184			[96]
[Rh(Acac)(Cod)]	CH ₂ Cl ₂	300	1294			[79]
[Rh(CN)(PPh ₃) ₃]	CHCl ₃	300	-449	³¹ P	144	[96]
Rh(V):Rh(Cp)(H) ₂ (SiEt ₃) ₂]	C ₆ H ₆	298	-1931	¹ H	38,5	[79]
				²⁹ Si	16,6	
[Rh(Cp*)(H) ₂ (SnMe ₃) ₂]	C ₆ H ₆	298	-1757	¹ H	23,8	[79]
				¹¹⁹ Sn	151	
Rh(-I): Rh(CO) ₄ ⁻	MeCN	248	-644	¹³ C	75	[79]

поле. Изменения ХС ЯМР ^{103}Rh комплексов Rh(III) определяются параметром вкладом в экранирование.

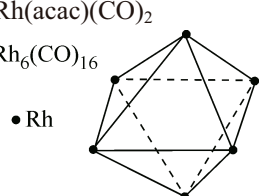
Наблюдаются корреляции типа $\delta = (\Delta E)^{-1}$ длинноволновых переходов (например, $d-d$ -переходов [98]) в спектрохимическом ряду: от лигандов слабого поля $\Gamma^- < \text{Br}^- < \text{S}^{2-} < \text{Cl}^- < \text{F}^- < \text{OH}^- < \text{OH}_2 < \text{NH}_3 < \text{PR}_3 < \text{CO} < \text{C}_2\text{H}_4 < \text{Cp}$ к лигандам сильного поля. Этим же вкладом объясняется большой температурный коэффициент химического сдвига. Однако может наблюдаться и обратный ход зависимости $\delta = (\Delta E)^{-1}$, который вызван преобладанием радиального фактора $\langle r^{-3} \rangle$, поскольку при замещении лиганда более тяжелым лигандром величина фактора $\langle r^{-3} \rangle$ уменьшается. Последнее ведет к экранированию центрального ядра [98] и отражается в нефелокситическом ряду от "жестких" лигандов $\text{F}^- < \text{OH}_2 < \text{NH}_3 < \text{OH}^- < \text{Cl}^- < \text{PR}_3, \text{ CO} < \text{Br}^- < \Gamma^-$ до "мягких" лигандов. "Жесткие" лиганды слабого поля дают высокочастотные (в слабое магнитное поле) ХС ($\delta 9897 \pm 40$ м.д. для $[\text{Rh}(\text{H}_2\text{O})_6]^{3+}$ в водных растворах в зависимости от ионного состава раствора при 298 К); "мягкие" лиганды сильного поля дают низкочастотные ХС (в сильное поле) ($\delta -2057$ м.д. для $[(\eta^5-\text{C}_5\text{H}_5)\text{Rh}(\eta^4-\text{C}_4\text{H}_4)]$).

Линейная корреляция между ХС ^{103}Rh и константами стабильности комплексов показана для Rh(I) [98] и Rh(III) [16]. При экстраполяции $1/\Delta E$ к $\lambda = 0$ оценивается величина $\sigma^d =$

Таблица 18

Данные ЯМР ^{103}Rh некоторых карбонильных комплексов родия(I)

Комплекс	Растворитель	T, K	$\delta^{103}\text{Rh}$, м.д.	$^1J(^{103}\text{Rh}-^{13}\text{C})$, Гц	Ссылка
$[\text{RhCl}_2(\text{CO})_2]^-$	CD ₂ Cl ₂	200	73	72	[93]
$[\text{RhBr}_2(\text{CO})_2]^-$	CD ₂ Cl ₂	200	-4	73	[93]
$[\text{RhI}_2(\text{CO})_2]^-$	CD ₂ Cl ₂	200	-221	72	[93]
Rh(acac)(CO) ₂	CHCl ₃	333	292	73	[93]
Rh ₆ (CO) ₁₆	CHCl ₃	333	-426	60	[97]



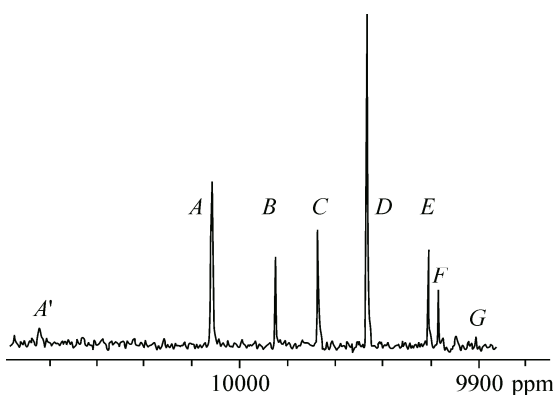


Рис. 15. Спектр ЯМР ^{103}Rh на частоте 9,77 МГц (300 К) 1 М раствора $\text{Na}_3[\text{Rh}(\text{NO}_2)_6]$ в концентрированной HNO_3 [82]

$= -4500 \pm 1000$ м.д. для комплексов Rh(I) и $\sigma^d = -5000 \pm 1000$ м.д. для комплексов Rh(III).

Меньшие, но значительные изменения поля лигандов вызывает хелатирование лигандов, стерические напряжения и неидеальное перекрывание орбиталей, вызванное отклонением от 90° угла *цис*-лигандов. Развитие теоретических и счетных методов привело к тому, что можно рассчитать

ХС и указать тенденции его изменения при замещении лигандов; полагают, что рассчитать ХС можно быстрее, чем синтезировать соответствующее соединение и получить его спектр ЯМР ^{103}Rh [96]. Поскольку влияние растворителя или ионного фона в водных растворах доходит до 100 м.д., сомнительно рассчитать ХС линий, отстоящих всего на десятки м.д. (рис. 15).

При растворении соли $\text{Na}_3[\text{Rh}(\text{NO}_2)_6]$ в концентрированной HNO_3 происходит образование ряда моно- и полиядерных нитратокомплексов с лигандами H_2O , NO_3^- , $\mu\text{-NO}_3$, $\mu\text{-OH}$, которые наблюдаются в спектрах ЯМР ^{103}Rh (см. рис. 15) и ^{15}N [82]. В спектрах ЯМР ^{14}N и ^{17}O этого образца отсутствуют линии координированных или свободных NO_2^- , NO^+ .

КССВ с родием давно используются для отнесения и определения строения комплексов с H, N, P и других лигандов с ядрами донорных атомов со спином 1/2. Известно много КССВ с родием; в гидридах Rh(III) $^1J(^{103}\text{Rh}-^1\text{H}) = 15 \div 30$ Гц и значительно меньше в гидридах Rh(I) [99, 100]. В комплексах $[\text{RhF}_x(\text{H}_2\text{O})_{6-x}]^{3-x}$ константы ССВ $^1J(^{103}\text{Rh}-^{19}\text{F}) = 50 \div 250$ Гц [51, 55]; $^1J(^{103}\text{Rh}-^{15}\text{N}) = 10 \div 24$ [82, 96]; $^1J(^{103}\text{Rh}-^{29}\text{Si}) = 20 \div 90$ Гц [79]. Константы ССВ $^1J(^{103}\text{Rh}-^{31}\text{P}) = 70 \div 250$ Гц сильно зависят от геометрии комплекса и его заместителей, содержат информацию о степени *s*-характера связи и отражают влияние *транс*-лиганда [101]. Объем данных о константах ССВ $^1J(^{103}\text{Rh}-^{31}\text{P})$ превышает объем данных о ХС тех же комплексов. Известны данные [95] о константах ССВ $^1J(^{103}\text{Rh}-^{31}\text{P})$, $^1J(^{103}\text{Rh}-^{15}\text{N})$, $^1J(^{103}\text{Rh}-^{29}\text{Si})$, $^1J(^{103}\text{Rh}-^{77}\text{Se})$, $^1J(^{103}\text{Rh}-^{125}\text{Te})$ и $^1J(^{109}\text{Rh}-^{119}\text{Sn})$. Константы ССВ $^1J(^{103}\text{Rh}-^1\text{H})$, $^1J(^{103}\text{Rh}-^{19}\text{F})$ и $^1J(^{103}\text{Rh}-^{31}\text{P})$ отрицательны. Величина $^1J(^{103}\text{Rh}-^{77}\text{Se})$ лежит в пределах $30 \div 140$ Гц; $^1J(^{103}\text{Rh}-^{125}\text{Te}) = 70 \div 140$ Гц; $^1J(^{103}\text{Rh}-^{119}\text{Sn}) = 520 \div 740$ Гц [79, 102], $^1J(^{103}\text{Rh}-^{199}\text{Hg}) = 426$ Гц в комплексе $[\text{RhCl}_2(\text{HgCl})(\text{CO})(\text{PEtPh}_2)_2]$ [103].

Изучены комплексные хлориды родия [8, 87, 104, 105], реакции комплексных хлоридов родия [106, 107], комплексные нитриты родия [85, 107, 108]. Исследованы реакции нитрования родия [107, 109, 110].

При растворении гидроксида родия(III) или гексанитрородиата в азотной кислоте образуются нитратокомpleксы родия [14]. Об их образовании свидетельствует обнаружение в спектрах ЯМР ^{14}N , ^{17}O линий нитрат-ионов, координированных к родию.

В спектре ЯМР ^{15}N 0,5 М раствора родия в 3 М азотной кислоте обнаружены, кроме линии нитрата, две линии в районе 8 м.д., которые можно отнести к линиям ЯМР азота на координациях $\text{H}_2\text{O}-\text{Rh}-\text{ONO}_2$ и $\text{H}_2\text{O}-\text{Rh}-(\mu\text{-NO}_3)$.

В спектрах ЯМР ^{103}Rh образцов с концентрацией азотной кислоты 10—17 М спектры обнаруживают 6—8 различных форм [82], а при концентрации азотной кислоты около 3 М — не менее восьми линий (см. рис. 15) [83]. Используя определенное из спектра ЯМР ^{103}Rh распределение родия по формам, его поведение при разбавлении растворов водой до концентрации родия 0,18 М, соотношение NO_3/Rh , определили положение аква-иона в азотнокислой среде (G).

Информация по исследованию продуктов нитрования комплексных хлоридов родия до 80-х гг. XX в. была ограничена [111, 112]. В дальнейшем было изучено нитрование родия *in situ* методом ЯМР ядер, входящих в изучаемую систему ($^{14,15}\text{N}$, ^{17}O , ^{35}Cl , ^{103}Rh). Применение

Таблица 19

Данные ЯМР ^{15}N , ^{103}Rh хлоронитроаквакомплексов Rh(III) [12, 85, 111]

Координата Комплекс	$\text{O}_2\text{N}-\text{NO}_2$		$\text{Cl}-\text{NO}_2$		$\text{H}_2\text{O}-\text{NO}_2$		$\delta(^{103}\text{Rh})^{\text{B}}$
	*	**	*	**	*	**	
$[\text{Rh}(\text{NO}_2)_6]^{3-}$	90,8	{20}	—	—	—	—	5565
<i>транс</i> - $[\text{Rh}(\text{NO}_2)_4\text{Cl}]_2]^{3-}$	89,2	{22}	—	—	—	—	—
<i>цис</i> - $[\text{Rh}(\text{NO}_2)_3(\text{H}_2\text{O})_3]$	—	—	—	—	50,3	{28}	6563
<i>цис</i> - $[\text{Rh}(\text{NO}_2)_3(\text{H}_2\text{O}_2)\text{Cl}]^-$	—	—	66,0	{23}	53,0	{26}	6478
<i>цис</i> - $[\text{Rh}(\text{NO}_2)_3(\text{H}_2\text{O})\text{Cl}_2]^{2-}$	—	—	68,6	{23}	55,8	{26}	6354
<i>цис</i> - $[\text{Rh}(\text{NO}_2)_3\text{Cl}_3]^{3-}$	—	—	71,8	{23}	—	—	6220
<i>цис</i> - $[\text{Rh}(\text{NO}_2)_2(\text{H}_2\text{O}_3)\text{Cl}]$	—	—	—	—	47,5	{24}	—
<i>цис</i> - $[\text{Rh}(\text{NO}_2)_2(\text{H}_2\text{O})_2\text{Cl}_2]^-$	—	—	64,8	{22}	48,3	{24}	—
<i>цис</i> - $[\text{Rh}(\text{NO}_2)_2(\text{H}_2\text{O}_2)\text{Cl}_2]^-$	—	—	—	—	51,7	{26}	6714
<i>цис</i> - $[\text{Rh}(\text{NO}_2)_2(\text{H}_2\text{O})\text{Cl}_3]^{2-}$	—	—	8,6	{20}	58,7	{21}	—
<i>цис</i> - $[\text{Rh}(\text{NO}_2)_2\text{Cl}_4]^{3-}$	—	—	70,6	{22}	—	—	—
<i>цис</i> - $[\text{Rh}(\text{NO}_2)_2(\text{H}_2\text{O})_4]^+$	—	—	—	—	41,7	{22}	—

^A $\delta^{15}\text{N}$.^{**} $J(^{103}\text{Rh}-^{15}\text{N})$, Гц.^A $\delta^{15}\text{N}$ ($\pm 0,3$ м.д.).^B от $\Xi = 3,16$ МГц, ± 5 м.д.

лиганда, меченого изотопом ^{15}N , позволяет по расщеплению линий ЯМР родия из-за ССВ $^{103}\text{Rh}-^{15}\text{N}$ определить число нитролигандов в комплексе. Однако падение чувствительности ЯМР ^{103}Rh из-за расщепления линий требует повышения концентрации растворов образцов, что не всегда достижимо. При этом следует иметь в виду, что крайние компоненты мультиплетов часто теряются в шумах из-за их существенно меньшей интенсивности, так для $[\text{Rh}(^{15}\text{NO}_2)_6]^{3-}$ интенсивность крайних линий септета в 20 раз ниже интенсивности центральной линии.

Образование хлоронитрокомплексов Rh изучали при проведении реакций водных растворов $\text{Na}_3[\text{RhCl}_6]$ и $\text{Na}^{15}\text{NO}_2$. Обратный процесс изучали при проведении реакции водного раствора $0,2 \div 0,4$ М $\text{Na}_3[\text{Rh}(\text{NO}_2)_6]$ с растворами HCl. Для уточнения отнесения линий в спектрах, используя данные [85], был приготовлен раствор $[\text{Rh}(^{15}\text{NO}_2)_3(\text{H}_2\text{O})_3]$, анацию которого проводили добавлением точных навесок хлорида натрия.

За счет достаточного разрешения в спектрах ЯМР ^{15}N можно различить координаты $\text{NO}_2-\text{Rh}-\text{NO}_2$, $\text{NO}_2-\text{Rh}-\text{Cl}$, $\text{NO}_2-\text{Rh}-\text{H}_2\text{O}$. При отнесении форм, кроме параметров ЯМР, использовались данные [12, 85, 111]. Величины химического сдвига, δ и КССВ $J(^{103}\text{Rh}-^{15}\text{N})$, определенные нами для различных нитрокомплексов рода (III), сведены в табл. 19 [12, 85].

Данные ЯМР ^{15}N и ^{103}Rh для растворов $\text{Na}_3[\text{Rh}(^{15}\text{NO}_2)_6]$ и $[\text{Rh}(^{15}\text{NO}_2)_3(\text{H}_2\text{O})_3]$ получены из спектров растворов индивидуальных веществ [85], тогда как для остальных комплексных форм отнесение проведено на основании анализа динамики изменения спектров при проведении процесса нитрования в прямом и обратном направлениях.

На рис. 16 представлена ЯМР ^{15}N динамика изменения качественного состава раствора при взаимодействии 0,2 М $\text{Na}_3[\text{Rh}(\text{NO}_2)_6]$ с 5,5 М HCl. После получасового выдерживания при комнатной температуре отчетливо видны три группы ^{15}N дублетов, отвечающих координированым нитрогруппам на координатах $\text{NO}_2-\text{Rh}-\text{NO}_2$ ($\delta = 90$ м.д.), $\text{NO}_2-\text{Rh}-\text{Cl}$ (70 м.д.), $\text{NO}_2-\text{Rh}-\text{H}_2\text{O}$ (54 м.д.).

Кратковременное выдерживание при повышенной температуре приводит к снижению интенсивностей линий в области 90 м.д. и росту интенсивностей ^{15}N линий в области 70 м.д. и 54 м.д. с одновременным появлением нового дублета 51,7 м.д. (см. рис. 16, B). Через несколько

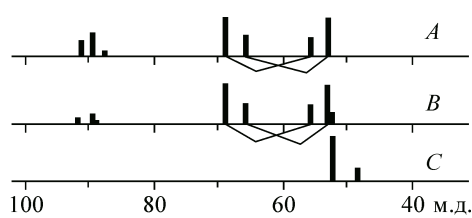


Рис. 16. Динамика изменения спектра ЯМР ^{15}N раствора $\text{Na}_3[\text{Rh}(^{15}\text{NO}_2)_6]$ в 5,5М HCl: через 30 мин при 293 К (A), 15 мин при 343 К (B), через 5 сут при 293 К (C). Каждая линия представляет дублет от расщепления на ядрах ^{103}Rh ; линиями связаны дублеты, относящиеся к одному и тому же комплексу

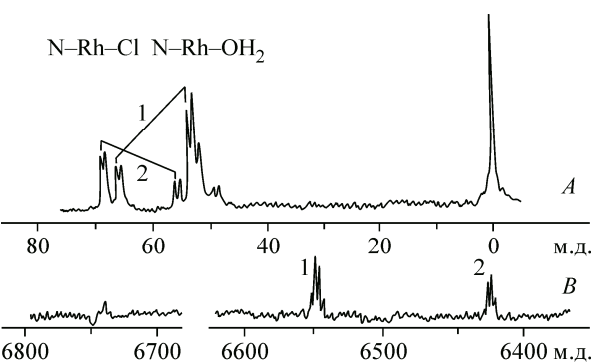


Рис. 17. Спектры ЯМР ^{15}N (A) и ^{103}Rh (B) раствора $\text{Na}_3[\text{Rh}(^{15}\text{NO}_2)_6] + 3\text{HCl}$, выдержанного при 343 К в течение 5 ч. На спектрах азота цифрами показаны линии лигандов, соответствующие обозначению комплексов (спектрометр CXР-300) [12]

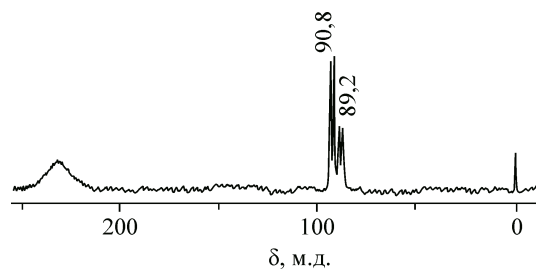
суток он становится доминирующим (см. рис. 16, C), тогда как формы с максимальной координацией по нитрит-иону исчезают. Наблюдаемая картина хорошо согласуется с данными [85]. В спектре исходного раствора A (см. рис. 16, A) дублет максимальной интенсивности (50,3 м.д.) принадлежит *цис*-[$\text{Rh}(\text{NO}_2)_3(\text{H}_2\text{O})_3$].

Снижение концентрации HCl в реакции до мольного отношения Rh:HCl = 1:3 сильно замедляет процесс, поэтому для того чтобы достичь необходимой глубины протекания реакции, необходимо выдерживать раствор при повышенной температуре. Реальный вид спектров ЯМР ^{15}N и ^{103}Rh таких растворов представлен на рис. 17.

При дефиците HCl в растворе разрушение $[\text{Rh}(\text{NO}_2)_6]^{2-}$ протекает частично, причем достаточно быстро удаляются только три нитрогруппы, о чем свидетельствует отсутствие ^{15}N линий в области 90 м.д., а последующие стадии замедлены (см. рис. 17, A и B). Пятичасовое нагревание раствора не меняет вида спектра ЯМР ^{15}N , за исключением появления слабого дублета с химическим сдвигом 49,3 м.д. В спектре ЯМР ^{103}Rh этого раствора наблюдаются два мультиплета из четырех линий с положениями 6478 м.д. и 6354 м.д. и слабый сигнал 6714 м.д. Первые два мультиплета линий, при отсутствии в растворе пентанитросоединений, относятся к продуктам акватации, имеющим три нитролиганда, а именно *цис*-тринитросоединениям: *цис*-[$\text{Rh}(\text{NO}_2)_3\text{Cl}_2(\text{H}_2\text{O})]^{2-}$ и *цис*-[$\text{Rh}(\text{NO}_2)_3\text{Cl}(\text{H}_2\text{O})_2]^{2-}$, а слабый сигнал (предположительно триплет) принадлежит *цис*-динитросоединению. Указанный состав комплексов подтверждается спектром ЯМР ^{15}N этих растворов (см. рис. 17). Соединения имеют координаты $\text{NO}_2-\text{Rh}-\text{Cl}$ и $\text{NO}_2-\text{Rh}-\text{H}_2\text{O}$; отношение интенсивностей линий ^{15}N указанных координат должно быть для первого комплекса 2:1, а для второго 1:2. Этому условию отвечают дублеты в спектре ЯМР ^{15}N $\delta = 68,6$ и 55,0 м.д.; 66,0 и 53,0 м.д. Независимым подтверждением наличия в соединениях координаты $\text{NO}_2-\text{Rh}-\text{H}_2\text{O}$ служат спектры ЯМР ^{17}O , в которых имеется единственная линия координированных молекул воды с $\delta = -69,3$ м.д. [85]. Оставшиеся два дублета в спектре ЯМР ^{15}N относятся к координате $\text{NO}_2-\text{Rh}-\text{H}_2\text{O}$ и, по-видимому, принадлежат комплексным формам, образующимся при акватации *цис*-[$\text{Rh}(\text{NO}_2)_2\text{Cl}_4]^{3-}$. Введение NaCl в раствор и старение в течение суток приводят к анации как три-, так и динитросоединений, при этом происходит перераспределение интенсивностей наблюдаемых линий и появление новых дублетов в слабых полях, *цис*-[$\text{Rh}(\text{NO}_2)_3(\text{H}_2\text{O})_3$] ($\delta^{15}\text{N} = 50,3$ м.д.) быстро переходит в моно и *цис*-хлоропроизводные ($\delta^{15}\text{N} = 66,0$ и 53,0 м.д.; 68,6 и 55,8 м.д.). Образование *цис*-[$\text{Rh}(\text{NO}_2)_3\text{Cl}_3]^{3-}$ ($\delta^{15}\text{N} = 71,8$ м.д.) наблюдается только в насыщенных по NaCl растворах.

При анации умеренными концентрациями NaCl в растворе ^{15}N дублет 41,7 м.д. (предположительно *цис*-[$\text{Rh}(\text{NO}_2)_2(\text{H}_2\text{O})_4]^+$) быстро исчезает, интенсивность дублета 47,5 м.д. падает, а соответственно растет интенсивность дублета 51,7 м.д.; линии соответствующей интенсивности

Рис. 18. Спектр ЯМР ^{15}N раствора 0,2М $\text{Na}_3[\text{RhCl}_6]$ + 2М $\text{Na}^{15}\text{NO}_2$ + 2М NaCl , прогретого при 333 К в течение 10 мин [122]



в области ХС координаты $\text{NO}_2\text{—Rh—Cl}$ не наблюдается. Это позволяет предположить, что на первых стадиях анаэтия *цикло*-динитросоединений идет по координатам $\text{H}_2\text{O—Rh—H}_2\text{O}$ и $\text{Cl—Rh—H}_2\text{O}$ при

сохранении координаты $\text{NO}_2\text{—Rh—H}_2\text{O}$. Тогда дублет с $\delta^{15}\text{N} = 47,5$ м.д. следует отнести к *цикло*- $[\text{Rh}(\text{NO}_2)_2(\text{H}_2\text{O})_3\text{Cl}]$, а дублет с $\delta^{15}\text{N} = 51,7$ м.д. к *цикло*- $[\text{Rh}(\text{NO}_2)_2(\text{H}_2\text{O})_2\text{Cl}_2]$. В насыщенных по NaCl растворах происходит образование координаты $\text{NO}_2\text{—Rh—Cl}$, о чем свидетельствует появление дублета с $\delta^{15}\text{N} = 70,6$ м.д., принадлежащего *цикло*- $[\text{Rh}(\text{NO}_2)_2\text{Cl}_4]^{3-}$, и линий продукта его акватации *цикло*- $[\text{Rh}(\text{NO}_2)_2\text{Cl}_3\text{H}_2\text{O}]^2$ ($\delta = 68,6$ и 58,7 м.д.).

Замещение координированных хлорид-ионов при нитровании моноядерных хлоридных комплексов родия(III) происходит быстро. При 363 К через 10 мин в спектрах ЯМР ^{15}N таких растворов регистрируются только две линии, принадлежащие избыточному нитрит-иону ($\delta^{15}\text{N} = 231$ м.д.) и $[\text{Rh}(\text{NO}_2)_6]^{3-}$ ($\delta^{15}\text{N} = 90,8$ м.д., $J^{(103)\text{Rh}}\text{—}^{15}\text{N} = 20$ Гц). Понижение температуры проведения реакции до 343 К, как видно из рис. 18, приводит к появлению новой комплексной формы (дублет $\delta^{15}\text{N} = 89,2$ м.д.) с координатой $\text{NO}_2\text{—Rh—NO}_2$. Сведение материального баланса по интегральным интенсивностям и расчет среднего координационного числа по нитрит-иону дает его значение, равное пяти, а отсутствие сигналов в сильных полях позволяют отнести дублет ^{15}N при 89,2 м.д. к *транс*- $[\text{Rh}(\text{NO}_2)_4\text{Cl}_2]^{3-}$. Спектры ЯМР ^{17}O таких растворов независимо подтверждают отсутствие молекул воды на координатах $\text{NO}_2\text{—Rh—H}_2\text{O}$ и $\text{Cl—Rh—H}_2\text{O}$. Динамика изменения спектров во времени показывает, что появления новых комплексных форм в ходе нитрования при 363 К и 343 К не происходит.

ЯМР исследование нитрования $[\text{RhCl}_6]^{3-}$ при 333 К показывает, что эти две формы также доминируют в растворе (см. рис. 18). В ходе процесса изменяется лишь отношение интенсивностей дублетов 89,2 м.д. и 90,8 м.д. в сторону увеличения $[\text{Rh}(\text{NO}_2)_6]^{3-}$. Вместе с тем спектры ЯМР ^{15}N таких растворов имеют качественное отличие, состоящее в последовательном появлении двух дублетов малой интенсивности с $\delta = 42$ м.д. и 46 м.д.; они относятся к координате $\text{NO}_2\text{—Rh—H}_2\text{O}$, а комплексы — к формам *цикло*-динитропроизводных. В ходе реакции концентрация этих форм сохраняется приблизительно постоянной и не превышает 10 % от общей концентрации родия.

Неожиданным результатом явилось отсутствие при нитровании заметных концентраций промежуточных нитроакваформ родия. Фактически единственной промежуточной формой при всех изменениях условий нитрования является *транс*- $[\text{Rh}(\text{NO}_2)_4\text{Cl}_2]^{3-}$. Только при проведении процесса при температуре 293 К и ниже в начальный момент времени удается регистрировать в спектрах ЯМР ^{15}N дублет малой интенсивности с $\delta = 89,8$ м.д., отнесение которого к определенному комплексу затруднительно. Нитрование свежеприготовленных растворов хлористого родия при температурах 343 К и выше протекает с образованием тех же комплексных частиц, что и нитрование мономерных хлоридных комплексов (см. рис. 18). Различие в составе промежуточных продуктов возникает лишь в начальном периоде реакции при проведении процесса при температуре 293 К и ниже. В спектрах ЯМР ^{15}N таких растворов, наряду с широкими линиями NO_2^- ($\delta = 232$ м.д.) и HNO_2 ($\delta = 200$ м.д.), наблюдаются три дублета $\delta = 95,0$, 94,1 и 92,5 м.д. с КССВ $J^{(103)\text{Rh}}\text{—}^{15}\text{N}$ около 20 Гц. Через 1 ч дублеты 95,0 м.д. и 92,5 м.д. исчезают; интенсивность дублета 94,1 м.д. падает, и одновременно появляются дублеты 90,8, 89,2 и 88,9 м.д. По истечении суток при комнатной температуре в спектрах остаются выросшие по интенсивности сигналы $[\text{Rh}(\text{NO}_2)_6]^{3-}$ и *транс*- $[\text{Rh}(\text{NO}_2)_4\text{Cl}_2]^{3-}$. Появление новых сигналов в слабых полях вызвано нитрованием осколков, возможно, димеров полиядерного хлористого родия [104].

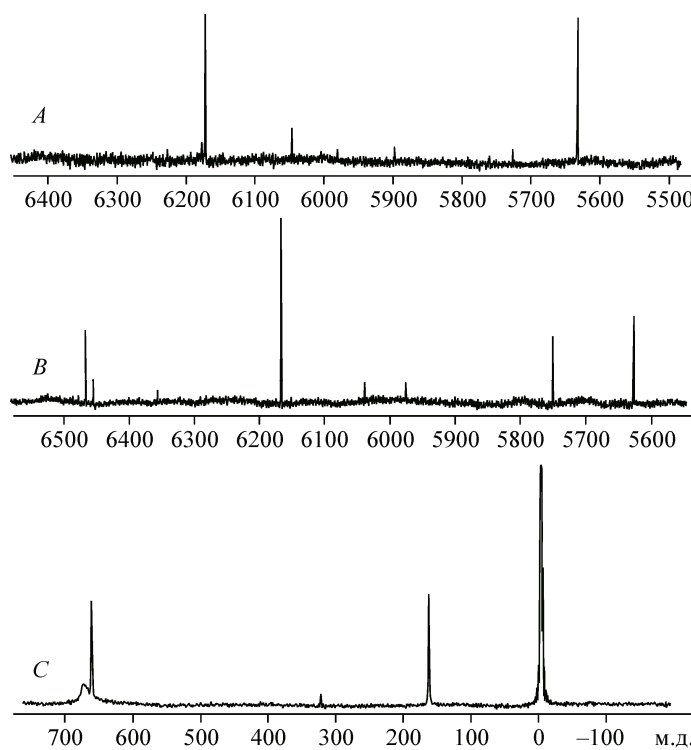


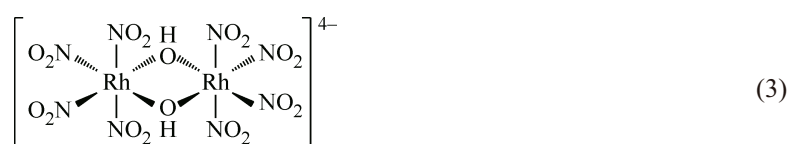
Рис. 19. Спектры ЯМР ^{103}Rh (*A, B*) и ^{17}O (*C*) раствора сульфата родия, нитрованного в мольном отношении $\text{Rh}:\text{Na}^{15}\text{NO}_2 = 1:6$ раствора $\text{Rh}:\text{SO}_4 = 1:1,06$, прогретого при 323 K (*A*) и 363 K в течение 3 ч (*B, C*); $C_{\text{Rh}} 0,4$, $C_{\text{SO}_4} 0,42$, $C_{\text{NO}_2} 2,4\text{ M}$ [84]

Изучено нитрование сульфатов родия(III) [113]. В сульфатных растворах большая часть родия содержится в виде полиядерных комплексов [84].

В спектре ЯМР ^{103}Rh нитрованного сульфата родия (рис. 19, *A, B*) к $[\text{Rh}(\text{NO}_2)_6]^{3-}$ относится линия 5631 м.д., а большая часть родия недонитрована; из-за высокой величины pH раствора линия смещена по сравнению с опубликованной 5580 м.д. [12]. Отметим, что в спектре (см. рис. 19, *A*) доля гексанитрокомплекса больше, чем в спектре (*B*) при дальнейшем прогреве раствора.

В спектре ЯМР ^{17}O видны линии координированного NO_2^{C} (широкая линия 673 м.д.), узкая линия свободного нитрита, линия свободного сульфата (164 м.д.). Очень слабая линия $\text{H}_2\text{O}^{\text{C}}$ (-70 м.д.) показывает, что вода входит только в комплексы родия с малоинтенсивными линиями. В сумме данные ЯМР показывают, что для основных комплексов лигандами служат NO_2^- и OH^- . Пентет при 6170 м.д. можно отнести к димеру (3), а линии ЯМР ^{103}Rh 6468 м.д. и 6455 м.д. 2:1 — к тримеру (4). Квартет 6525 м.д. можно отнести к комплексу с тремя нитрогруппами и, по аналогии с рис. 17, к комплексу *cis*- $[\text{Rh}(\text{NO}_2)_3(\text{OH})_2(\text{H}_2\text{O})]^{2-}$.

Серия статей посвящена изучению состояния родия(III) в сернокислых растворах [84, 110, 114—120]. Для них характерно многообразие форм родия в растворе (рис. 20).



Для изучения комплексов родия в сернокислых растворах использовали ЯМР ^{103}Rh и ^{17}O . В ЯМР ^{17}O , кроме интенсивной линии воды-растворителя, регистрировали линии свободного

Рис. 20. Спектр ЯМР ^{103}Rh сульфатного раствора родия, приготовленного в "жестких" условиях ($C_{\text{Rh}} = 0,79 \text{ M}$, $C_{\text{SO}_4} = 0,79 \text{ M}$, $\text{pH } 2$, $v_0 = 12,77 \text{ МГц}$, $T = 300 \text{ K}$) [118]

и координированного сульфата, а также линии координированной воды $\text{H}_2\text{O}^{\text{C}}$. Обычно наблюдали несколько налагающихся линий. Свободный сульфат в кислых средах существует в форме HSO_4^- и имеет ХС 158(± 2) м.д., ХС координированного сульфата около 170 м.д. (рис. 21).

Линии ЯМР ^{103}Rh полиядерных комплексов аквасульфата родия располагаются в слабом поле от линии аква-иона Rh(III) , линии моноядерных комплексов — в сильном поле (см. рис. 16). В изученных растворах сульфатных комплексов родия наблюдали до 19 линий ЯМР ^{103}Rh в диапазоне 10400—9600 м.д.

При наличии нескольких линий сравнимой интенсивности в спектре ЯМР ^{103}Rh линии ^{17}O координированных лигандов являются суперпозицией линий от одинаковых координат разных комплексов, поэтому определение состава форм и их отнесение к определенным линиям не окончательно [84, 110, 114—117]. Данные ЯМР моноядерных сульфатокомплексов родия(III) приведены в табл. 20.

Фосфат образует комплексы с Rh(III) [47, 48]. Химический сдвиг ^{31}P фосфата в водном растворе в свободном состоянии зависит от pH [48] и аналогично зависит в комплексе $[\text{Rh}(\text{NH}_3)_5\text{H}_x\text{PO}_4]$ [47]. При этом ХС фосфата в комплексе отличается от ХС свободного фосфата при одинаковой кислотности раствора практически на постоянную величину. Изучение комплексообразования родия с фосфорной кислотой показало [48], что при взаимодействии гидроксида родия с фосфорной кислотой образуется ряд комплексов и их изомеров, дающих суперпозицию линий в спектре ЯМР ^{31}P в области 10—17 м.д., ХС которых зависит не только от состава комплекса, но и от pH.

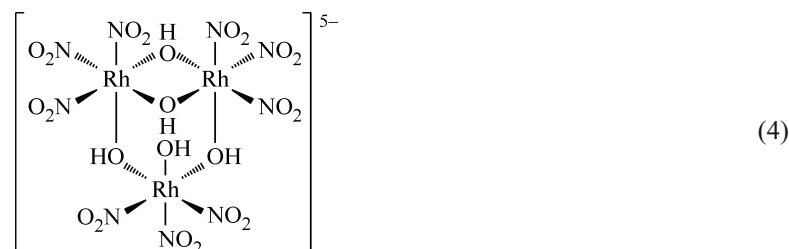


Таблица 20

Химические сдвиги ^{103}Rh моноядерных сульфатокомплексов родия(III) [117]

Комплекс	$\delta^{103}\text{Rh}$, м.д.
$[\text{Rh}(\text{H}_2\text{O})_6]^{3+}$	9889
$[\text{Rh}(\text{H}_2\text{O})_5(\text{SO}_4)]^+$	9883
$[\text{Rh}(\text{H}_2\text{O})_4(\text{SO}_4)]^+$	9813
$[\text{Rh}(\text{H}_2\text{O})_3(\text{SO}_4)_2]^-$	9742
$[\text{Rh}(\text{H}_2\text{O})_2(\text{SO}_4)_2]^-$	9692
$[\text{Rh}(\text{SO}_4)_3]^{3-}$	9650

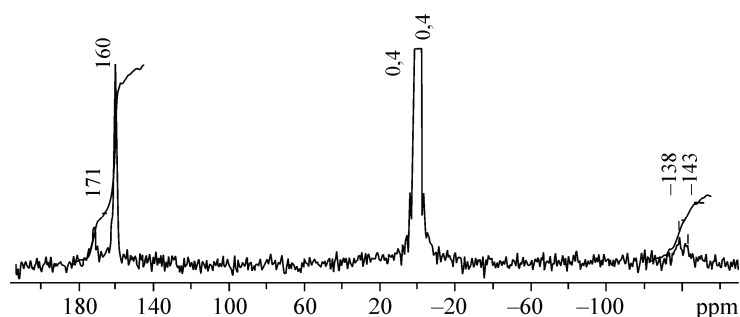


Рис. 21. Спектр ЯМР ^{17}O раствора сульфата родия, 323 К. Линии 171 и 160 м.д. относятся к координированному и свободному сульфату, линии -138 и -143 м.д. — к внутрисферной воде на координатах $\text{H}_2\text{O}-\text{Rh}-\mu\text{-SO}_4$ ($\text{H}_2\text{O}-\text{Rh}-\text{SO}_4$) и $\text{H}_2\text{O}-\text{Rh}-\text{OH}_2$ соответственно [118]

Таблица 21

Изменение параметров ЯМР ^{17}O линий координированной воды при старении раствора [48]

Координата	$\text{H}_2\text{O}-\text{Rh}-\mu-\text{OH}$		$\text{H}_2\text{O}-\text{Rh}-\mu-\text{PO}_4$		$\text{H}_2\text{O}-\text{Rh}-\text{OH}_2$	
	$\delta^{17}\text{O}$, м.д. (W, Гц)	$\alpha, \%$ *	$\delta^{17}\text{O}$, м.д. (W, Гц)	$\alpha, \%$	$\delta^{17}\text{O}$, м.д. (W, Гц)	$\alpha, \%$ *
Время выдержки, сут.						
1	$-111 \pm 2,5$ (1330)	45	-137 ± 1 (560)	55	—	0
22	$-116 \pm 2,5$ (940)	25	-138 ± 1 (560)	75	—	0
62	$-114 \pm 0,5$ (260)	12	$-137 \pm 0,7$ (400)	55	$-142 \pm 0,6$ (120)	33
212	—	0	$-134 \pm 0,7$ (370)	25	$-140 \pm 0,8$ (450)	75

* $\alpha, \%$ воды на данной координате от всей координированной воды.

При старении число фосфатных форм родия уменьшается, а соотношение сигнал/шум увеличивается, и наблюдается до 20 форм родия с концентрацией более 5 мМ [48]. Изменение доли воды на разных координатах при старении показаны в табл. 21.

Табл. 21 показывает, что при старении образцов идет замещение OH-мостиков в фосфатных комплексах на фосфатные мостики и увеличение доли воды на координате $\text{H}_2\text{O}-\text{Rh}-\text{OH}_2$.

Процесс комплексообразования Rh(III) с фосфорной кислотой при $C_{\text{Rh}} \approx 0,05$ и $\text{H}_3\text{PO}_4 \approx 1,5$ М изучен методом ЯМР ^{31}P [120]. Это позволило изучить кинетику реакции $[\text{Rh}(\text{H}_2\text{O})_6]^{3+} + \text{H}_3\text{PO}_4 \leftrightarrow [\text{Rh}(\text{H}_2\text{O})_5\text{H}_2\text{PO}_4]^{2+} + \text{H}_3\text{O}^+$ при 323÷343 К и определить энергию активации $E_a = 142 \pm 12$ кДж/моль, $\lg A = 17 \pm 2$.

Моноядерные фосфатные комплексы определены по последовательности появления линий ЯМР ^{31}P в процессе выдержки растворов при температуре 323÷343 К (рис. 22, табл. 22). Химический сдвиг индивидуальных комплексных форм при 323 К приведен в табл. 22.

Иридий. Комплексы Ir(III) охарактеризованы по ЯМР лигандов [13, 28, 121]. Методом ЯМР $^{14,15}\text{N}$, ^{17}O , ^{35}Cl исследованы растворы стандартных соединений и комплексов Ir(III) на разных этапах комплексообразования с NO_2^- [13, 28, 122].

Данные ЯМР и ЭСП подтвердили ранее обнаруженное количественное восстановление Ir(IV) нитрит-ионами при комнатной температуре [13, 121]. Для изучения процесса нитрования растворов ($0,1\text{M} [\text{IrCl}_6]^{3-} + 1\text{M Na}^{15}\text{NO}_2$) прогревали определенное время при 358 ± 5 К, затем охлаждали и снимали спектры ЯМР. После трехчасового прогрева в спектрах ЯМР ^{15}N раствора наблюдали одну линию с $\delta = 54,3 \pm 0,2$ м.д. Через 12 ч прогрева наряду с этой линией появляется и растет линия с $\delta = 55,8 \pm 0,2$ м.д., которая становится единственной в спектре после 13 суток прогрева. Концентрация Cl^- через 3 ч нитрования стала 0,4 М, что соответствует выходу четырех ионов Cl^- из координационной сферы иридия по условиям материального баланса. Поскольку в спектре ЯМР ^{17}O отсутствуют линии координированной воды [85], данные ЯМР ^{15}N указывают на принадлежность линии с $\delta^{15}\text{N} = 54,3$ м.д. иону $[\text{Ir}^{15}\text{NO}_2)_4\text{Cl}_2]^{3-}$, а линии $\delta^{15}\text{N}$

55,8 м.д. — гексанитроиродату. Из такого раствора стехиометрическим количеством KNO_3 осадили гексанитроиродат калия, а из маточного раствора избыtkом KNO_3 выделили твердую фазу бледно-желтого цвета. Согласно химическому анализу вещество соответствует формуле $\text{K}_3[\text{Ir}(\text{NO}_2)_4\text{Cl}_2]$, что и подтверждает данные ЯМР.

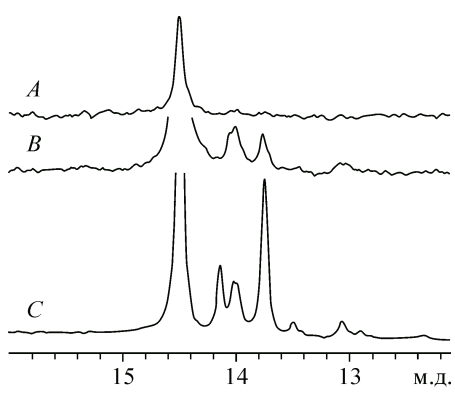


Рис. 22. Фрагменты спектров ЯМР ^{31}P в области координированного фосфата системы $[\text{Rh}(\text{H}_2\text{O})_6]^{3+} + n\text{H}_3\text{PO}_4 \rightarrow [\text{Rh}(\text{H}_2\text{O})_{6-n}(\text{H}_2\text{PO}_4)_n]^{3-n} + n\text{H}_2\text{O}$. $\text{C}_{\text{H}_3\text{PO}_4} = 1,48$ М; $\text{C}_{\text{Rh}} = 5,08 \cdot 10^{-2}$ М. $T = 333$ К, 1 ч (A), 6 ч (B), 44 ч (C) [120]

Таблица 22

Данные ЯМР ^{31}P фосфатных комплексов родия(III) (323 К) [120]

Последовательность появления линий	Комплекс	$\delta^{31}\text{P}$, м.д. (W, Гц)
1	$[\text{Rh}(\text{H}_2\text{O})_5\text{H}_2\text{PO}_4]^{2+}$	14,50 (12)
2	<i>транс</i> - $[\text{Rh}(\text{H}_2\text{O})_4(\text{H}_2\text{PO}_4)_2]^+$	14,03 (24) ^A , 14,00
3	$[\text{Rh}(\text{H}_2\text{O})_3(\text{H}_2\text{PO}_4)_3]^0$	13,75 (12)
4	$[\text{Rh}(\text{H}_2\text{O})_2(\text{H}_2\text{PO}_4)_4]^{1-}$	13,48
5	$[\text{Rh}(\text{H}_2\text{O})_5(\text{H}_2\text{PO}_4)_5]^{2-}$	13,06
6	$[\text{Rh}(\text{H}_2\text{O})_4(\text{OH})\text{H}_2\text{PO}_4]^+$	14,13 (12)

^A Неразрешенные линии.

Выделенная этанолом натриевая соль конечного продукта нитрования в виде мелкокристаллического белого вещества не содержит хлора, хорошо растворима в воде, дает труднорастворимые осадки с ионами K^+ и NH_4^+ , аналогично гексанитрородиату. Таким образом, линию $\delta^{15}\text{N}$ 55,9 м.д. следует отнести к $[\text{Ir}^{15}\text{NO}_2)_6]^{3-}$, что определяет ХС координаты $\text{O}_2\text{N}-\text{Ir}-\text{NO}_2$. Близкое положение линий ЯМР ^{15}N рассмотренных соединений свидетельствует о *транс*-конфигурации формы $[\text{Ir}(\text{NO}_2)_4\text{Cl}_2]$.

Известно, что при обработке $[\text{Rh}^{15}\text{NO}_2)_6]^{3-}$ перманганатом в кислой среде образуется *fac*- $[\text{Rh}(\text{NO}_2)_3(\text{H}_2\text{O})_3]$ [123]. Гексанитроиридат(III) ведет себя аналогично, и координата $\text{NO}_2-\text{Ir}-\text{H}_2\text{O}$ имеет ХС ^{14}N $\delta = 17 \pm 4$ м.д. Из комплекса *fac*- $[\text{Ir}(\text{NO}_2)_3(\text{H}_2\text{O})_3]$ был приготовлен *fac*- $[\text{Ir}(\text{NO}_2)_3\text{Cl}_3]^{3-}$ по известной методике [122] ($\delta^{14}\text{N} = 36 \pm 4$ м.д.). Значения ХС изученных соединений показаны в табл. 23.

Из экспериментов при 358 К следует, что для превращения гексахлоро- в гексанитроформу необходимо более 300 ч. При автоклавном синтезе (398 К) в спектрах ЯМР ^{15}N регистрируются линии с δ 54,3 и 55,9 м.д. Из динамики изменения спектров была получена кинетическая кривая накопления гексанитроиридат(III)-ионов, удовлетворительно описываемая уравнением скорости первого порядка с константой скорости $5,5 \cdot 10^{-5} \text{ с}^{-1}$. Ее значение свидетельствует о крайней инертности ирида в реакции



Таким образом, при температуре 358 К продуктами реакции с нитрит-ионами являются *транс*-тетранитродихлоро- и гексанитроиридат(III). Скорости образования этих продуктов различны. Наличие кинетических затруднений и обнаруженное ранее разнообразие продуктов нитрования при 295 К показывают, что природа промежуточных продуктов реакции (5) зависит от температуры. Для выяснения были проделаны опыты при 323 К с исходными веществами $\text{Na}_2[\text{Ir}^{IV}\text{Cl}_6] \cdot \text{H}_2\text{O}$ (серия I) и гидрат $\text{Na}_3[\text{Ir}^{III}\text{Cl}_6]$ (серия II). Динамика спектров ЯМР ^{15}N приведена на рис. 23.

Таблица 23

Химические сдвиги ЯМР $^{14,15}\text{N}$ лиганда NO_2^- нитрокомплексов иридия(III) [121]

Комплекс	δ , м.д.	T, K	Ядро	Координата
$[\text{Ir}(\text{NO}_2)_6]^{3-}$	$55,9 \pm 0,2$	293	^{15}N	$\text{NO}_2-\text{Ir}-\text{NO}_2$
<i>транс</i> - $[\text{Ir}(\text{NO}_2)_4\text{Cl}_2]^{3-}$	$54,3 \pm 0,2$	293	^{15}N	$\text{NO}_2-\text{Ir}-\text{NO}_2$
$[\text{Ir}(\text{NO}_2)_3\text{Cl}_3]^{3-}$	36 ± 4	343	^{14}N	$\text{NO}_2-\text{Ir}-\text{Cl}$
$[\text{Ir}(\text{NO}_2)_3(\text{H}_2\text{O})_3]$	17 ± 4	343	^{14}N	$\text{NO}_2-\text{Ir}-\text{H}_2\text{O}$
$[\text{Ir}(\text{NO}_2)_3(\text{H}_2\text{O})_3]$	$15,1 \pm 0,2$	298	^{15}N	$\text{NO}_2-\text{Ir}-\text{H}_2\text{O}$ [28]

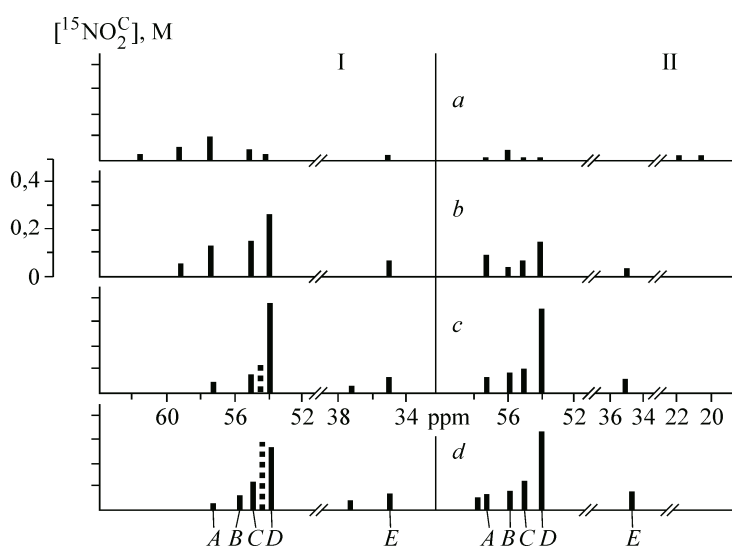


Рис. 23. Схема спектров ЯМР ^{15}N в процессе нитрования 0,2M $\text{Na}_2[\text{Ir}^{\text{IV}}\text{Cl}_6]\cdot\text{H}_2\text{O}$ (I) и 0,23M $\text{Na}_3[\text{Ir}^{\text{III}}\text{Cl}_6]$ (II) десятикратным избытком $\text{Na}_2^{15}\text{NO}_2$ при 323 К через 0,4 (a), 1,7 (b), 3 (c) и 6 ч (d).

Буквами обозначены линии, встречающиеся в обеих сериях, пунктиром — линия иона $\text{транс-}[\text{Ir}(\text{NO}_2)_4\text{Cl}_2]^{3-}$

Из рис. 23 видно, что в обеих сериях пять линий ЯМР ^{15}N имеют постоянную во времени величину ХС. Среди наблюдаемых линий идентифицируются $[\text{Ir}(\text{NO}_2)_6]^{3-}$ (B), $\text{транс-}[\text{Ir}(\text{NO}_2)_4\text{Cl}_2]^{3-}$ {пунктир в серии (I)}, и $\text{fac-}[\text{Ir}(\text{NO}_2)_3\text{Cl}_3]^{3-}$ (E). При этом линии в области $\delta^{15}\text{N}$ 54÷62 м.д. относятся к координате $\text{NO}_2-\text{Ir}-\text{NO}_2$, а линия E — к координате $\text{NO}_2-\text{Ir}-\text{Cl}$. Линия E появляется одновременно с линией D в соотношении $D/E \approx 4:1$, что позволяет предположить существование комплекса $[\text{Ir}(\text{NO}_2)_5\text{Cl}]^{3-}$. Однако после выделения из раствора гексанитроиридата добавление соли калия дало осадок, который по ИК спектрам содержит в своем составе воду. Кроме того, в спектрах ЯМР ^{17}O наблюдали линию координированной воды с ХС –106 м.д.; значит, линию D следует отнести к комплексу $\text{транс}^*-\text{[Ir}(\text{NO}_2)_4(\text{ClH}_2\text{O})^*\text{]}^-$ [13], а линию ЯМР ^{17}O — к координате $\text{H}_2\text{O}-\text{Ir}-\text{Cl}$. Для отнесения остальных линий полученных данных недостаточно.

Комплексные частицы с координатами $\text{NO}_2-\text{Ir}-\text{H}_2\text{O}$ (см. рис. 23, область 22—20 м.д.) наблюдались только в начале нитрования иридиев(III). Анализ кинетических данных по акватации гексахлороиридата(III) [124—126] показывает, что в условиях эксперимента спонтанная акватация может привести лишь к образованию пентахлороакваиридата(III). Он подвергается нитрованию с образованием форм, содержащих координату $\text{NO}_2-\text{Ir}-\text{H}_2\text{O}$, хотя уже через 1,7 ч эти формы исчезают, а в спектре ЯМР ^{17}O в это время регистрируется линия воды на координате $\text{H}_2\text{O}-\text{Ir}-\text{Cl}$.

Совокупность данных показывает, что хотя моноаквапентахлороиридат(III) реакционно способен по отношению к нитрит-ионам, процессы нитрования иридиев в целом протекают без предварительного замещения хлор-ионов на воду в исходном гексахлороиридате(III), т.е. процесс отличается от классического механизма реакций замещения лигандов в октаэдрических комплексах инертных металлов [127].

Процессы серии I существенно отличаются появлением узких линий азота в области ХС некоординированного нитрита. Это означает образование нитритокомплексов иридиев. В спектрах растворов серии II подобных узких линий не наблюдали. Доля NO_2^- в узких линиях составляет несколько процентов от концентрации свободных нитрогрупп. Эти линии относятся, по-видимому, к интермедиатам в механизме нитрования. Таким образом, нитрование хлорокомплексов иридиев при 323 К приводит к интермедиатам, среди которых обнаружены динитро-

и тринитроформы, а доминируют тетранитропроизводные иридия(III). Проведение процессов при 353—398 К приводит к образованию $[Ir(^{15}NO_2)_4Cl_2]^{3-}$ и $[Ir(NO_2)_6]^{3-}$. Скорости образования этих продуктов очень низки. Существенное влияние на скорость образования нитрокомплексов оказывает pH среды. Данные ЯМР ^{17}O различных комплексов Ir приведены в табл. 24.

Ход ХС азота лигандов комплексов

Ir(III) на различных координатах аналогичен ходу ХС для нитрокомплексов Rh(III) [107, 108].

При $pH > 5$ ХС ЯМР ^{15}N комплекса $[Ir(^{15}NO_2)_3(H_2O)_3]$ линейно зависит от pH [28].

Методом ЯМР ^{17}O изучено восстановление Ir(IV) в Ir(III) при концентрациях иридия 0,05÷0,1 М [13]. Обогащение комплексов Ir(III) изотопом ^{17}O происходит крайне медленно и только при 373 К, в то время как обмен комплексов Ir(IV) происходит быстро. Результаты измерений показаны в табл. 24.

Палладий. Октаэдрические комплексы характерны для Pd(IV), но они нестабильны в водных растворах. В присутствии царской водки ион $PdCl_6^{2-}$ образуется и существует несколько часов. Линию ЯМР ^{105}Pd с шириной 1200 Гц удалось наблюдать в растворе при концентрации 1,8 г-ион/л и температуре 298 К ($\Xi = 4,58572$ МГц ± 25 Гц) (рис. 24). Температурный коэффициент ХС ЯМР ^{105}Pd (2,3 м.д./К) близок по величине к таковому для ХС ЯМР ^{103}Rh иона $[RhCl_6]^{3-}$ [105]. При 323 К ширина линии выросла до 2500 Гц из-за обмена лигандов. В растворе H_2PdCl_4 в кислоте $HCl_{\text{конц}}$, насыщенной хлором, линия ЯМР ^{105}Pd сдвинута на +28 м.д. от предыдущей линии из-за влияния ионного фона.

По спектрам ЯМР ^{17}O составлена схема ХС координированной воды на разных координатах [10], позволяющая определить *транс*-лиганд в комплексе (рис. 25).

Изучены механизмы обмена H_2O^C , $\delta(^{17}O) = -132$ м.д., в комплексе $[Pd(OH_2)_4]^{2+}$ измерены скорости и энергетические параметры обмена [129].

ЯМР разных ядер (^{14}N , ^{17}O , ^{35}Cl , ^{133}Cs) был использован при исследованиях [130] продуктов гидролиза $[PdCl_4]^{2-}$, синтеза и изучения коллоидных частиц палладия [131], комплексов палладия с аминокислотами [32].

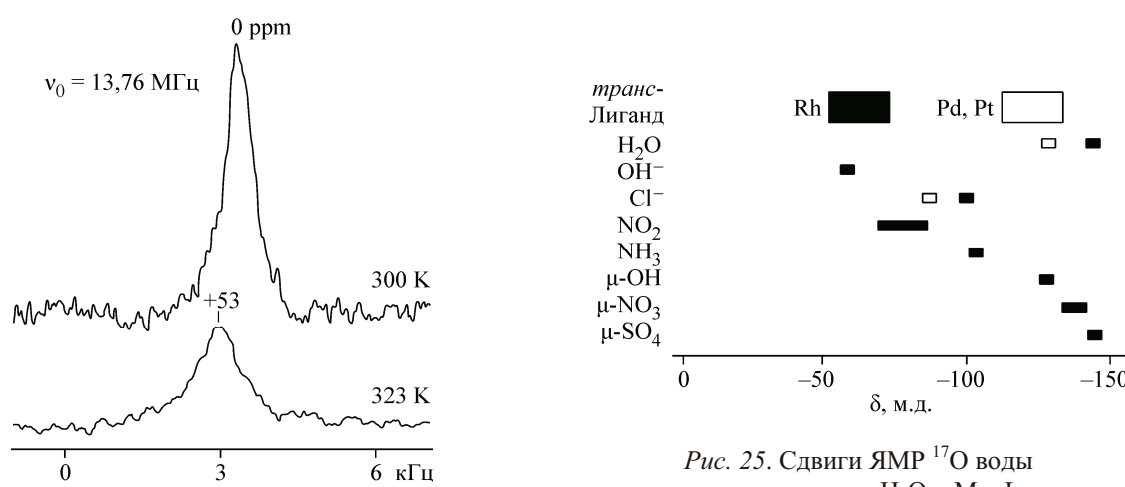


Рис. 24. Спектры ЯМР ^{105}Pd соли K_2PdCl_6 , растворенной в концентрированных кислотах $HCl+HNO_3$ 1:1 (300 К) и $HCl+Cl_2$ ($v_0 = 13,6$ МГц, $H_0 7,05$ Т [4])

Таблица 24

Данные ЯМР ^{17}O комплексов иридия (298 К) [128]

Комплекс	Координата	$\delta^{17}O$, м.д.
$[Ir(H_2O)_6]^{3+}$	$H_2O-Ir-OH_2$	-152
$[(H_2O)_4Ir(\mu-OH)_2Ir(OH_2)_4]^{4+}$	$H_2O-Ir-OH_2$	-143
$[(H_2O)_4Ir(\mu-OH)_2Ir(OH_2)_4]^{4+}$	$H_2O-Ir-\mu-OH$	-137
$[(H_2O)_4Ir(\mu-OH)_2Ir(OH_2)_4]^{6+}$	$H_2O-Ir-OH_2$	-46
$[(H_2O)_4Ir(\mu-OH)_2Ir(OH_2)_4]^{6+}$	$H_2O-Ir-\mu-OH$	+42

Рис. 25. Сдвиги ЯМР ^{17}O воды на координатах H_2O-M-L

в комплексах Rh(III), Pd(II), Pt(II) [10]

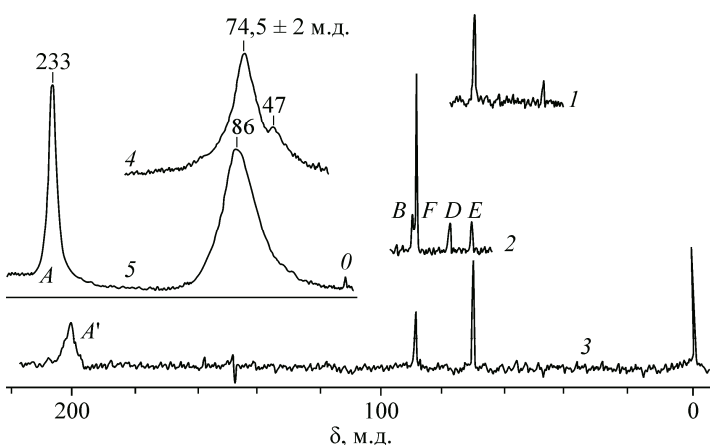
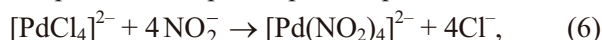


Рис. 26. Спектры ЯМР ^{15}N водного раствора K_2PdCl_4 при добавлении 0,5 (1) и 2 экв. $\text{Na}^{15}\text{NO}_2$ (2); раствора $\text{K}_2\text{Pd}(\text{NO}_2)_4$ при добавлении 4 экв. HCl (3). На врезке — спектры ЯМР ^{14}N (313 К) растворов K_2PdCl_4 при добавлении 1 (4) и 5 экв. NaNO_2 (5) [132]

Для изучения реакции нитрования палладия (6) и обратной реакции (7) использовали ЯМР $^{14,15}\text{N}$ и ^{35}Cl [132], а концентрацию Cl^- в растворе измеряли методом ЯМР ^{35}Cl :



Препарат $\text{K}_2[\text{Pd}(\text{NO}_2)_4]$ синтезировали по [68] без выделения в твердую фазу с использованием $\text{Na}^{15}\text{NO}_2$ (95 % ^{15}N). Типичные спектры ЯМР $^{14,15}\text{N}$ растворов представлены на рис. 26.

Линия A ($\delta^{15}\text{N} = 232,3$ м.д.) относится к свободному нитрит-иону и регистрируется после введения избыточного относительно стехиометрии количества нитрита натрия. При подкислении растворов происходит ее смещение в сторону сильного поля и уширение ($\delta^{15}\text{N} \approx 200$ м.д.). По данным ЯМР спектров азота охарактеризованы промежуточные комплексы и определены их координатные сдвиги [132].

Раздельное наблюдение линий в спектре ЯМР ^{15}N в интервале 90,2–72,6 м.д. свидетельствует о медленном обмене лиганда NO_2^- между хлоронитрокомплексами палладия в шкале времени ЯМР ^{15}N со временем жизни координированного лиганда во внутренней сфере $\tau > 40$ мс (оценка по линиям B и F , рис. 26).

Платина. ХС соединений платины лежат в диапазоне 8000–2000 м.д., хотя общий диапазон ХС 14000 м.д. за счет удаления отстоящей в слабое поле линии ЯМР PtF_6^{2-} .

Диаграмма ХС ^{195}Pt показана на рис. 27. Большому диапазону ХС сопутствует большая чувствительность ХС соединений платины к концентрации, температуре и растворителю [133, 134].

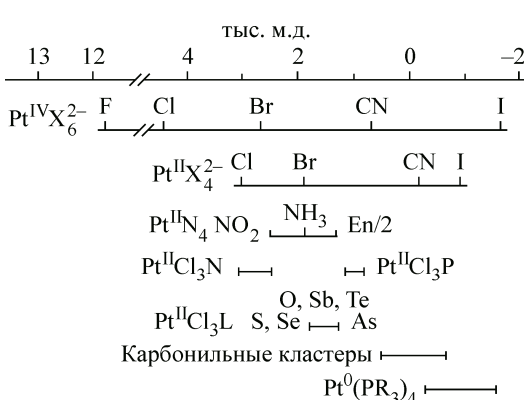


Рис. 27. Диаграмма химических сдвигов ^{195}Pt

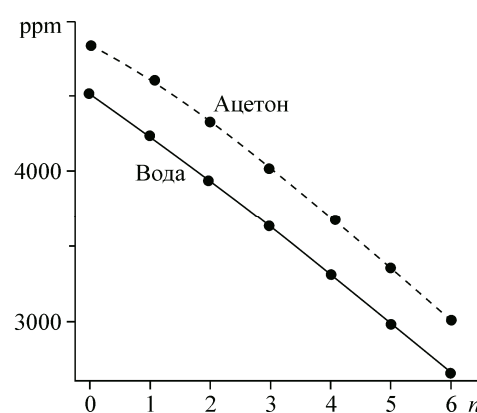


Рис. 28. Изменение химического сдвига ЯМР ^{195}Pt в комплексах $[\text{PtCl}_{6-n}\text{Br}_n]^{2-}$ в воде и ацетоне [138, 139]

В растворах PtCl_6^{2-} как водного раствора Na-соли, так и кислоты присутствует продукт аквации PtCl_6^{2-} — ион $[\text{PtCl}_5\text{H}_2\text{O}]^-$, для подавления образования которого в раствор вводят избыток NaCl (HCl). Концентрационная зависимость линии PtCl_6^{2-} в диапазоне 0,03÷0,3 М отсутствует [133]. Для PtCl_6^{2-} влияние растворителя на ХС ЯМР ^{195}Pt достигает 400 м.д., для PtCl_6^{2-} — 200 м.д., причем сравнение 6- и 4-координированных комплексов показывает, что влияние молекул растворителя по оси Z в последних несущественно [78]. Предложено для эталона использовать водный раствор $[\text{Pt}(\text{CN})_6]^{2-}$, ХС которого нечувствителен к изменению концентрации и противоиону и температурный коэффициент которого 0,51 м.д./К ($\Xi = 21,4$ МГц) [78].

Большой температурный коэффициент ХС PtCl_6^{2-} (~ 1 м.д./К) и других комплексов платины обязывает проводить измерения спектров ЯМР в условиях стабилизации температуры, однако при кратковременных измерениях в криомагнитах ≈ 1 ч при комнатной температуре стабилизации температуры не требуется. В нейтральных комплексах платины температурный коэффициент ХС лежит в пределах 0,13—0,82 м.д./К [78, 133, 134]. ХС ^{195}Pt водных растворов Na_2PtCl_4 меняется от 1625 до 1618 м.д. при изменении концентрации от 0,65 до 0,065 М [133]. ХС ЯМР ^{195}Pt некоторых комплексов платины приведены в табл. 25—38.

ХС продуктов замещения Cl^- в комплексе $[\text{PtCl}_6]^{2-}$ на лиганды H_2O и OH^- представлены в табл. 25.

Т а б л и ц а 25

Химические сдвиги ЯМР ^{195}Pt для комплексов платины(IV)

Форма	Растворитель	T, K	$\delta^{195}\text{Pt}, \text{м.д. (W, Гц)}$	Ссылка
Na_2PtCl_6	D_2O	293	4522	[78]
$(\text{NBu}_4^n)_2\text{PtCl}_6$	H_2O	293	4520 ± 10	[134]
	MeOH		4744±10	
	CH_2Cl_2		4783±10	
	MeCN		4845±10	
	Ацетон		4892±10	
	DMSO		4922±10	
$[\text{PtF}_6]^{2-}$	H_2O	293	12036	[53]
$[\text{PPh}_3\text{CH}_2\text{Ph}]_2[\text{PtF}_6]$	$\text{CH}_2\text{Cl}_2, 0,1 \text{ M}$		11847	[78]
$[\text{PtF}_5\text{Cl}]^{2-}$	$\text{CH}_2\text{Cl}_2, 0,1 \text{ M}$	293	10419	[134]
$fac\text{-}[\text{PtCl}_3\text{F}_3]^{2-}$	$\text{CH}_2\text{Cl}_2, 0,1 \text{ M}$	293	7605	[78]
$mer\text{-}[\text{PtCl}_3\text{F}_3]^{2-}$		293	7068	[53]
$[\text{PtFCl}_5]^{2-}$	$\text{CH}_2\text{Cl}_2, 0,1 \text{ M}$	293	5827	[53]
$[\text{Pt}(\text{OH})_6]^{2-}$	pH 8—9	293	7823	[135]
$[\text{Pt}(\text{OH})_5\text{Cl}]^-$	pH 8—9	293	7370	[135]
$[\text{Pt}(\text{H}_2\text{O})\text{Cl}_5]^-$	pH 1—2	293	5033	[135]
$[\text{PtBr}_6]^{2-}$	pH 1—2	293	2651	[78]
$[\text{H}_2\text{PtI}_6]^{2-}$	H_2O	293	-1808	[134]
$\text{Na}_2\text{Pt}(\text{CN})_6$	H_2O	293	672	[78]
$(\text{Bu}_4\text{N})_2\text{Pt}(\text{CN})_6$	CHCl_3	293	712	[136]
$\text{Pt}(\text{en})_3(\text{ClO}_4)_2$	H_2O	293	3577	[134]
$mtrans^* \text{-} [\text{PtenCl}_2^*\text{Cl}(\text{NH}_3)]^+$	H_2O	323	3864 (650) {164}, $^{14}\text{NH}_3$	[9]
$mtrans^* \text{-} [\text{PtenCl}_2^*\text{Py}_2]^{2+}$	H_2O	323	3911(820)	[9]
$mtrans^* \text{-} [\text{PtenCl}_2^*(\text{NO}_2)_2]$	THF	293	4535	[9]
$cis^* \text{-} [\text{PtenCl}_2^*(\text{NH}_3)_2]^{2+}$	H_2O	293	3841(1200)	[9]

Изучено замещение воды в комплексах $[Pt(H_2O)_4]^{2+}$ на Cl^- и $[PtCl_6]^{2-}$ на H_2O и измерены скорости замещения и энергетические параметры обмена $H_2O \rightarrow Cl^-$ и $^{16}O \rightarrow ^{18}O$ в комплексе $[Pt(H_2O)_4]^{2+}$ (табл. 30) [135].

В изменении ХС ЯМР ^{195}Pt при замещении лигандов хлорида на бромид (рис. 28) замечена линейная корреляция с электроотрицательностью комплексов.

Таблица 26

Химические сдвиги ЯМР ^{195}Pt продуктов гидролиза комплекса $[PtCl_6]^{2-}$ [135]

Комплекс	$\delta^{195}Pt$, м.д., $X = H_2O$, pH 1—3	$\delta^{195}Pt$, м.д., $X = OH^-$, pH 10—12
$[PtCl_6]^{2-}$	4530	4530
$[PtCl_5X]^{2-}$	5034	5196
<i>cis</i> - $[PtCl_4X_2]^{2-}$	5535	5811
<i>транс</i> - $[PtCl_4X_2]^{2-}$	5656	5793
<i>fac</i> - $[PtCl_4X_2]^{2-}$	6030	6384
<i>mer</i> - $[PtCl_4X_2]^{2-}$	6131	6361
<i>cis</i> - $[PtCl_2X_4]^{2-}$	6655	6894
<i>транс</i> - $[PtCl_2X_4]^{2-}$	6738	6870
$[PtClX_5]^{2-}$	—	7370
$[PtX_6]^{2-}$	—	7823

Таблица 27

Данные ЯМР ^{195}Pt хлоронитрокомплексов Pt(IV) [139]

Комплекс	$\delta^{195}Pt$, м.д.	$^1J(^{195}Pt—^{15}N)$, Гц, <i>транс</i> -Cl	$^1J(^{195}Pt—^{15}N)$, Гц, <i>транс</i> -NO ₂
$[PtCl_5NO_2]^{2-}$	4907	394	—
<i>cis</i> - $[PtCl_4(NO_2)_2]^{2-}$	5388	424	—
<i>транс</i> - $[PtCl_4(NO_2)_2]^{2-}$	5023	—	336
<i>mer</i> - $[Pt(NO_2)_3Cl_3]^{2-}$	5569	446	360
<i>fac</i> - $[Pt(NO_2)_3Cl_3]^{2-}$	5903	460	—
<i>транс</i> - $[Pt(NO_2)_4Cl_2]^{2-}$	5806	—	376
<i>cis</i> - $[Pt(NO_2)_4Cl_2]^{2-}$	6122	488	391
$[Pt(NO_2)_5Cl]$	6363	518	415

300 K, $v_0 = 12,8$ МГц, (FX-60), от $\Xi = 21,4$ МГц.

Таблица 28

Данные ЯМР ^{195}Pt замещенных кислородсодержащими лигандами нитрокомплексов платины(II) [140]

Комплекс	$\delta^{195}Pt$, м.д.	$^1J(^{195}Pt—^{15}N)$, Гц, N—Pt—N	$^1J(^{195}Pt—^{15}N)$, Гц, N—Pt—O
$[Pt(NO_2)_4]^{2-}$	2346	594	—
$[Pt(NO_2)_3H_2O]^-$	2584	531	754
$[Pt(NO_2)_3OH]^{2-}$	2732	583	626
$[Pt(NO_2)_2(C_2O_4)]^{2-}$	3001	—	748
<i>cis</i> - $[Pt(NO_2)_2(H_2O)_2]$	2735	—	679
<i>транс</i> - $[Pt(NO_2)_2(H_2O)_2]$	2732	470	—

Данные ЯМР ^{195}Pt хлоронитро- Pt(IV) показаны в табл. 27.

Данные нитрокомплексов платины(II) при замещении О-лигандами представлены в табл. 28.

В табл. 29 показаны данные ЯМР ^{195}Pt полиядерных оксонитрокомплексов Pt(II,IV).

В табл. 30 приведены данные ЯМР диамминных комплексов платины(II).

Данные ЯМР триамминных комплексов Pt($^{15}\text{NH}_3$)₃Z показаны в табл. 31.

Т а б л и ц а 29

Данные ЯМР ^{195}Pt некоторых полиядерных комплексов Pt(II), Pt(IV) [141]

Комплекс	δ ^{195}Pt , м.д. (W, Гц)	pH	Комплекс	δ ^{195}Pt , м.д. (W, Гц)	pH
<i>cis</i> -[Pt(NO ₂) ₂ (H ₂ O) ₂]	3151	< 2,5	[Pt ₄ (μ ₃ -O) ₄ (NO ₂) ₁₂] ⁴⁻	7461 (450)	≤ 2
[Pt ₂ (μ ₂ -OH) ₂ (NO ₂) ₄] ²⁻	3444	—	[Pt ₇ (μ ₃ -O) ₆ (NO ₂) ₁₂] ⁸⁻	3783	—
[Pt ₃ (μ ₃ -O) ₂ (NO ₂) ₆] ⁴⁻	3558 (500)	≥ 8,6			

Т а б л и ц а 30

Данные ЯМР ^{195}Pt некоторых диамминных комплексов Pt(II)

Комплекс	δ $^{195}\text{Pt}^A$, м.д.	транс-Н ₂ O ^{B,C}		транс-NH ₃		Ссылка
		*	**	*	**	
[Pt(NH ₃) ₄] ²⁺	1930			412	{287}	[134]
[Pt(NH ₃) ₂ (ONO ₂)(OH ₂)] ⁺	2916	-439	{396}			[141]
[Pt(NH ₃) ₂ (OSO ₃)(OH ₂)]	2964	-440	{396}	-439	{378}	[142]
[Pt(NH ₃) ₂ (OP(OH) ₂)(OH ₂)] ⁺	3012	-440 ^D		-440	{378}	[142]
[Pt(NH ₃) ₂ (OP(OH) ₂)(OH ₂)]	2992	-441	{394}	-439	{378}	[142]
[Pt(NH ₃) ₂ (OAc)(OH ₂)] ⁺	2929	—		-440 ^D		[142]
[Pt(NH ₃) ₂ (OAc) ₂]	2932			-436	{348} ^E	[142]
				437	{349} ^E	[142]

* δ ^{15}N , м.д.

** $\{J(\text{Pt}-^{15}\text{N})\}$, Гц.

^A δ ^{195}Pt пересчитано к $\Xi = 21,4$ МГц, δ ^{15}N — к $\delta(\text{NO}_3^-) = 0$ м.д.

^B Округлено до целых, рассчитаны из $^1J(^{14}\text{N}-\text{Pt})$.

^C Иные лиганды, кроме NH₃.

^D Линии неразрешены.

^E транс-OAc.

Т а б л и ц а 31

Данные ЯМР триамминных комплексов Pt(II) Pt($^{15}\text{NH}_3$)₃Z [143]

Z	δ (^{195}Pt), м.д.	- $\delta(^{15}\text{N})$, м.д.		$^1J(\text{Pt}-^{15}\text{N})$, Гц	
		транс-Z	<i>cis</i> -Z	транс-Z	<i>cis</i> -Z
$^{15}\text{NH}_3$	1930	412	412	287	287
H ₂ O (pH 1)	2437	443	418	376	299
OH ⁻ (pH 10,3)	2450	435	419	286	294
OSO ₃ ²⁻	2477	444	417	362	303
Cl ⁻	2857	424	420	331	281
Br ⁻	2018	418	423	319	276
I ⁻	1688	405	427	289	269
$^{15}\text{NO}_2^-$	2120	425	407	254	319
S—DMSO	1294	399	409	243	303
—SCN ⁻	1709	405	420	264	282

Данные ЯМР платины и азота-15 смешанно-лигандных аммино-кислородных комплексов платины(II) приведены в табл. 32.

ХС ЯМР платины и КССВ для комплексов платины(II, III) приведены в табл. 33.

Изучены водные растворы галогенидных кислот платины (табл. 34) [134].

Исследованы комплексы, в которых в *ортого*-положение пиридина введены заместители, меняющие его основность [151]. Изучены сульфоксидные биядерные комплексы Pt(II) с двойной OH-связью [147].

Замещение хлорид-иона на нитрит-ион во внутренней сфере комплекса увеличивает экранирование ядра ^{195}Pt , причем величина смещения на одну ступень замещения не постоянна. Отметим, что ХС ^{195}Pt *цикло*- и *транс*-динитрохлорокомплексов различается всего на 2 м.д. (при съемке спектров ЯМР в низких полях эти линии не разрешались [138]). При замещении Cl^- на NO_2^- , наряду с экранированием центрального атома, симбатно растут и КССВ $^1J(^{195}\text{Pt}—^{15}\text{N})$, причем КССВ на координате $\text{NO}_2—\text{Pt}—\text{Cl}$ больше, чем на координате $\text{NO}_2—\text{Pt}—\text{NO}_2$.

Различие ХС ^{15}N на аналогичных координатах комплексов Pt в 2—3 раза меньше, чем комплексов Pd, что указывает на преобладающее влияние *транс*-лигандов по сравнению с *цикло*-лигандами. Величины ХС ^{15}N комплексов Pd(II) лежат в слабых полях по сравнению с ХС комплексов Pt(II), т.е. экранирование ядер азота в координированных нитрогруппах значительно слабее для палладия, чем для платины. Это может быть связано с тем, что Pd(II) имеет более "жесткий" характер, поскольку он является 8d-элементом по сравнению с более "мягкой" Pt(II), имеющей 4f- и 5d-электроны. Большему экранированию азота при координации к Pt(II) соответствует и большая инертность комплексов Pt(II) по сравнению с комплексами Pd(II).

Таблица 32

Данные ЯМР ^{195}Pt аммино-кислородных комплексов

Комплекс	$\delta^{195}\text{Pt}^A$, м.д.	$\delta^{15}\text{N}^A$, м.д., $\{J(^{195}\text{Pt}—^{15}\text{N})\}$, Гц <i>транс</i> -O ^{B,C}	$\delta^{15}\text{N}^A$, м.д., $\{J(^{195}\text{Pt}—^{15}\text{N})\}$, Гц <i>транс</i> -NH ₃	Ссылка
[Pt(NH ₃) ₂ (H ₂ O) ₂](ClO ₄) ₂	2930	—440 {391}	—	[142]
[Pt(NH ₃) ₃ H ₂ O] ²⁺	—	—441 {376}	—418 {299}	[144]
[Pt(NH ₃) ₃ OH] ⁺	—	—434 {286} ^D	—418 {294}	[144]
<i>цикло</i> -[Pt(NH ₃) ₂ Cl(H ₂ O)] ⁺	2671	—443 {369}	—420 {294}	[144]
<i>цикло</i> -[Pt(NH ₃) ₂ ClOH]	2686	—432 {347} ^D	—420 {288}	[144]
<i>цикло</i> -[Pt(NH ₃) ₂ I(H ₂ O)] ⁺	2288	—390 {350} ^E	—446 {300}	[144]
[Pt(NH ₃) ₂ (ONO ₂) ₂ (OH ₂)] ⁺	2916	—449 {350}	—440 {378}	[142]
[Pt(NH ₃) ₂ (OSO ₃) ₂ (OH ₂)]	2964	—430 {403}	—442 {378}	[142]
[Pt(NH ₃) ₂ (OPO ₃ H ₂)(OH ₂)] ⁺	3014	—440 {393} ^F	—440 {377}	[142]
[Pt(NH ₃) ₂ (OPO ₃ H)(OH ₂)]	2992	—440 {393} ^F	—440	[142]
[Pt(NH ₃) ₂ (OAc)(OH ₂)] ⁺	2929	—440	—436 {348} ^F	[142]
[Pt(NH ₃) ₂ (OAc) ₂] ⁺	2932	—441 {394} ^H	—434 {366} ^F	[142]

Спектрометр JEOL FX-100.

^A Величины $\delta^{195}\text{Pt}$ пересчитаны к $\Xi = 21,4$ МГц, $\delta^{15}\text{N}$ — к $\delta(\text{NO}_3^-) = 0$ м.д.

^B Округлено до целых, $^1J(^{15}\text{N}—\text{Pt})$ рассчитаны из $^1J(^{14}\text{N}—\text{Pt})$.

^C Иные лиганды, кроме NH₃.

^D *транс*-OH.

^E *транс*-I.

^F *транс*-PO₄.

^H *транс*-OAc.

Таблица 33

Химические сдвиги ЯМР платины(II, III)

Комплекс	Растворитель	T, K	$\delta^{195}\text{Pt}$, м.д. $\{J(^{195}\text{Pt}—\text{X})\}^{\text{A}}$, Гц	Ссылка
(NBu ₄ ⁿ) ₂ PtCl ₄	CH ₂ Cl ₂ , 0,3 M	293	3055	[133]
(NBu ₄ ⁿ) ₂ PtCl ₄	DMFA	293	3141	[133]
[PtCl ₄] ²⁻	H ₂ O	293	2887	[78]
(NBu ₄ ⁿ) ₂ [Pt ₂ Cl ₆]	CH ₂ Cl ₂	293	3325	[78]
[PtBr ₄] ²⁻	H ₂ O	293	1834	[78]
(NBu ₄ ⁿ) ₂ [PtBr ₄]	CH ₂ Cl ₂	293	2064	[133]
(NBu ₄ ⁿ) ₂ Pt ₂ Br ₆	CH ₂ Cl ₂	293	2233	[78]
H ₂ [PtI ₄]	HI/H ₂ O	293	-993	[78]
(NBu ₄ ⁿ) ₂ [Pt ₂ I ₆]	CH ₂ Cl ₂	293	-600	[78]
[PtCl ₃ NO ₂] ²⁻	H ₂ O	293	2860	[11]
[PtCl ₃ H ₂ O] ⁻	H ₂ O	293	3341	[11]
[Pt(CN) ₄] ²⁻	H ₂ O	293	-204 {1029}	[78]
[Pt(SCN) ₄] ²⁻	H ₂ O, 2M	293	604	[78]
[Pt(NH ₃) ₄] ²⁺	H ₂ O	~310	1900	[78]
[Pt(NH ₃) ₄] ²⁺	10 % H ₂ O ₂ /H ₂ O	297	1966	[145]
<i>η</i> исc-[Pt(NH ₃) ₂ Cl ₂]	10 % H ₂ O ₂ /H ₂ O	293	2445	[145]
<i>η</i> исc-[Pt(NH ₃) ₂ (OH) ₂]	10 % H ₂ O ₂ /H ₂ O	293	2965	[145]
[Pt(OH) ₄] ²⁻	10 % H ₂ O ₂ /H ₂ O, pH 14	293	4372	[145]
[Pt(OH) ₄] ²⁻		297	4356	[146]
[Pt(OH ₂) ₄] ²⁺	10 % H ₂ O ₂ /H ₂ O, pH 14	297	4542 ^B	[146]
[Pt(NO ₂) ₄] ²⁻	H ₂ O, нас	297	2353	[78]
[Pt(en) ₂] ²⁻	H ₂ O, нас	297	1493	[134]
(NBu ₄ ⁿ) ₂ [Pt(SCN) ₄]	CH ₂ Cl ₂	297	565	[147]
[Pt(SCN)(NCS) ₃] ²⁻	CH ₂ Cl ₂	297	1085 {Pt— ¹⁵ N}	[147]
<i>транс</i> -[Pt(SCN) ₂ (NCS) ₂] ²⁻	CH ₂ Cl ₂	210	1723	[147]
[Pt ^{III} (CN) ₅] ₂ ⁴⁻	H ₂ O	298	116	[148]
[Pt ₂ (μ-OH) ₂ (NO ₂) ₄] ²⁻	pH 2,5—8,6		3440 {725 Pt ^{II} —Pt ^{IV} }	[141]
[Pt ₂ (SO ₄) ₄ (H ₂ O) ₂] ²⁻ ^C			6282	[145]
[Pt ₂ (PO ₄ H) ₄ (H ₂ O) ₂] ²⁻			6325	[145]

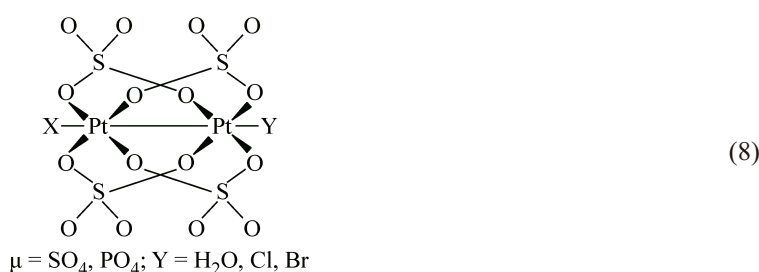
^A $^1J(\text{Pt}-\text{донорный атом})$, Гц.^B Меняется линейно с изменением ионной силы μ при добавлении NaClO₄ до $\delta = 4617$ м.д. при $\mu = 8$ M, а при добавлении HClO₄ — нелинейно и достигает $\delta = 4692$ м.д. при $\mu = 8$ M.^C Связь в димерах с сульфатными и фосфатными мостиками показана ниже (8).

Таблица 34

Данные ЯМР водных растворов кислот $\text{H}_2[\text{PtX}_6]$, $\text{H}_2[\text{PtX}_4]$ [134]

Комплекс	$\delta^{195}\text{Pt}$, м.д. (W, Гц)	$\delta^{13}\text{C}$, м.д./D ₂ O	$^1J(^{13}\text{C}—^{195}\text{Pt})$, Гц
$\text{H}_2[\text{PtCl}_6]$	4522 (75)	—	—
$\text{H}_2[\text{PtBr}_6]$	2668 (60)	—	—
$\text{K}_2[\text{Pt}(\text{CN})_6]$	775	84,7	806
$\text{H}_2[\text{PtI}_6]$	-1539 (110)	—	—
$\text{H}_2[\text{Pt}(\text{CN})_4]$	-212 (70)	125,7	1066

Таблица 35

Данные ЯМР ^{195}Pt аминокомплексов с диметилсульфоксидом

Комплекс	$\delta^{195}\text{Pt}$, м.д.	$^1J(^{195}\text{Pt}—^{15}\text{N})$, Гц, транс-Cl	$^1J(^{195}\text{Pt}—^{15}\text{N})$, Гц, транс-NH ₃	$^1J(^{195}\text{Pt}—^{15}\text{N})$, Гц, транс-DMSO	Ссылка
<i>цис</i> -[Pt(NH ₃) ₂ Cl ₂]	2412	312	—		[148]
[Pt(NH ₃) ₃ Cl] ⁺	2156	317	278		[148]
[Pt(NH ₃)(DMSO)Cl ₂]	3369	336	—		[148]
транс-[Pt(NH ₃)(DMSO)Cl ₂]	3389	—	—		[148]
транс-[Pt(NH ₃) ₂ (DMSO)Cl] ⁺	3449	—	287	232	[149]
<i>цис</i> -[Pt(NH ₃) ₂ (DMSO)Cl] ⁺	3469	340	—	234	[149]
[Pt(NH ₃) ₃ (DMSO)]	3549	—	288	232	[149]
транс-[PtPy(DMSO)Cl ₂]	1499	—	—		[150]
<i>цис</i> -[PtPy(DMSO)Cl ₂]	1551	—	—		[150]
<i>цис</i> -[PtPy(DMSO) ₂ Cl] ⁺	1152	—	—		[150]
[Pt(DMSO)Cl ₃] ⁻	1517	—	—		[150]
[Pt(DMSO)(H ₂ O) ₃] ²⁺	2503	—	—		[150]
[Pt(DMSO) ₂ (H ₂ O) ₂] ²⁺	1421	—	—		[147]
[Pt(DMSO) ₂ (OH) ₂] ²⁺	1637	—	—		[147]
[Pt(DMSO) ₂ (OH) ₂] ²⁺	1337	—	—		[147]

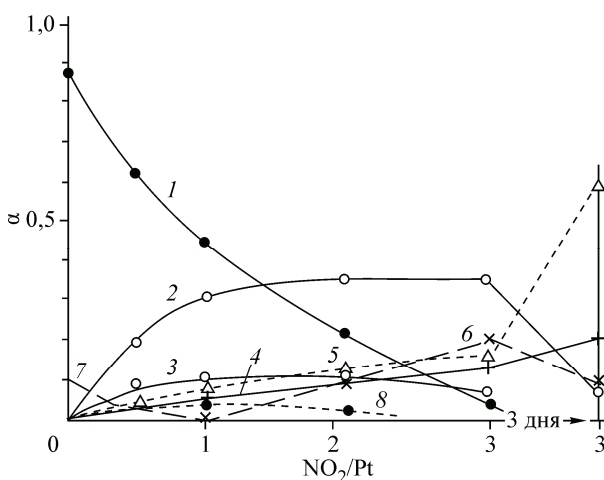
 $\nu_0 = 12,8 \text{ МГц}$; $\delta^{195}\text{Pt}$ пересчитано к $\Xi = 21,4 \text{ МГц}$.ЯМР данные по распределению платины(II) между различными формами в процессе нитрования представлены на рис. 29. Кривые распределения показывают реальную картину взаимопревращения различных комплексных форм, из которой видна неравновесность системы. При любом отношении NO_2^-/Pt в рас-Рис. 29. Доля комплексов Pt(II) (α) в зависимости от числа добавленных к раствору K_2PtCl_4 эквивалентов NaNO_2 (n). На отдельной ординате справа показаны доли комплексов Pt(II) при $C_{\text{NO}_2} : C_{\text{Pt}} = 3$ спустя 3 дня: $[\text{PtCl}_4]^{2-}$ (1), $[\text{PtCl}_3\text{NO}_2]^{2-}$ (2), *цис*- $[\text{PtCl}_2(\text{NO}_2)_2]^{2-}$ (3), транс- $[\text{PtCl}_2(\text{NO}_2)_2]^{2-}$ (4), $[\text{PtCl}(\text{NO}_2)_3]^{2-}$ (5), $[\text{Pt}(\text{NO}_2)_4]^{2-}$ (6), $[\text{PtCl}_3\text{H}_2\text{O}]^{2-}$ (7), $[\text{PtCl}_2\text{H}_2\text{ONO}_2]^{2-}$ (8) [11]

Таблица 36

Данные ЯМР ^{195}Pt и ^{15}N комплексов $[\text{PtCl}_n(\text{NO}_2)_{4-n}]^{2-}$ (295 ± 2 К)^A [11]

Комплекс	$\delta^{195}\text{Pt}$, м.д.	$J^{(195\text{Pt}-15\text{N})}$, Гц	$\text{O}_2\text{N}-\text{Pt}-\text{NO}_2$ $\delta^{15}\text{N}$, м.д.	$\text{Cl}-\text{Pt}-\text{NO}_2$ $\delta^{15}\text{N}$, м.д.	$\text{H}_2\text{O}-\text{Pt}-\text{NO}_2$ $\delta^{15}\text{N}$, м.д.
$[\text{PtCl}_3\text{H}_2\text{O}]^-$	3341	—	—	—	—
<i>цис</i> - $[\text{PtCl}_2\text{NO}_2\text{H}_2\text{O}]^-$	3190	628	—	—	41
$[\text{PtCl}_4]^{2-}$	2896	—	—	—	
$[\text{PtCl}_3\text{NO}_2]^{2-}$	2860	593	—	51	
<i>цис</i> - $[\text{PtCl}_2(\text{NO}_2)_2]^{2-}$	2733	663	—	50	
<i>транс</i> - $[\text{PtCl}_2(\text{NO}_2)_2]^{2-}$	2731	484	57	—	
$[\text{PtCl}(\text{NO}_2)_3]^{2-}$	2586	533	59	—	
		761	—	44	
$[\text{Pt}(\text{NO}_2)_4]^{2-}$	2346	592	55		

^A XC ЯМР ^{15}N от 1M водного раствора $\text{Na}^{15}\text{NO}_3$, $\pm 0,5$ м.д.

творе находятся одновременно несколько комплексных форм, при этом даже при отношениях $\text{NO}_2^-/\text{Pt} = 0,5$ и 1,0 наблюдается одновременное образование *цис*- и *транс*-динитропроизводных. Появление заметных концентраций нитрит-иона, не вступившего в реакцию, происходит при отношении $\text{NO}_2^-/\text{Pt} = 2$. Доля исходного иона $[\text{PtCl}_4]^{2-}$ по мере добавления NO_2^- убывает, тогда как доля формы $[\text{Pt}(\text{NO}_2)\text{Cl}_3]^{2-}$ после выхода на псевдоравновесный режим остается постоянной и достаточно большой. Это значит, что скорость ее превращения в динитропроизводные оказывается примерно равной скорости образования их из исходной формы. При старении происходит перераспределение форм, и при $\text{NO}_2^-/\text{Pt} = 3$ через 3 дня преобладает форма $[\text{PtCl}(\text{NO}_2)_3]^{2-}$.

При введении в систему соляной кислоты процесс начинает идти в обратную сторону с образованием примерно равных концентраций *цис*- и *транс*-изомеров, но при этом в системе уже при отношении $\text{NO}_2/\text{Pt} = 2$ генерируется достаточное количество окислителя ($\text{HNO}_2 + \text{HCl}$), который быстро окисляет платину(II) в платину(IV), и дальнейшее изучение процесса замещения в чистом виде становится невозможным. Действие окислителя приводит к образованию *цис*- $[\text{Pt}(\text{NO}_2)_2\text{Cl}_4]^{2-}$ и $[\text{Pt}(\text{NO}_2)\text{Cl}_5]^{2-}$, данные ЯМР которых (см. табл. 36) близки к данным [138], что косвенно свидетельствует о большей скорости замещения на координате $\text{NO}_2-\text{Pt}-\text{NO}_2$ в обратном процессе и преимущественном образовании *цис*-изомеров.

Процессы замещения лигандов в комплексах Pt(II) описаны во многих работах [135, 137, 138, 142]. На рис. 30 показан спектр ЯМР ^{195}Pt раствора Na_2PtCl_4 при добавлении двух эквивалентов нитрита, в котором одновременно присутствуют линии всех комплексов $[\text{PtCl}_n(\text{NO}_2)_{4-n}]^{2-}$.

Параметры ЯМР наблюдавшихся комплексов приведены в табл. 36. Линии ЯМР ^{15}N состоят из синглета и наложенного дублета от расщепления на ядре ^{195}Pt с $^1J(^{195}\text{Pt}-^{15}\text{N})$ для атомов N на данной координате, при этом высота линий дублета в 4 раза меньше синглета.

Полученные данные хорошо согласуются со спектрами некоторых индивидуальных комплексных форм Pt(II) и данными [11, 138]. Заметим, что в табл. 36 указаны средние величины $\delta^{195}\text{Pt}$ в спектрах с разными количествами добавленного нитрита.

Данные ЯМР ^{195}Pt при замещении аква-иона Pt(II) различными анионами приведены в табл. 37.

Большое количество работ посвящено изучению фосфиновых комплексов Pt(II). Этому способствовала высокая чувствительность ЯМР ^{31}P . Работы начались до обнаружения резонанса на ядре ^{195}Pt , где определяли величину $^1J(^{195}\text{Pt}-^{31}\text{P})$, затем методом двойного резонанса

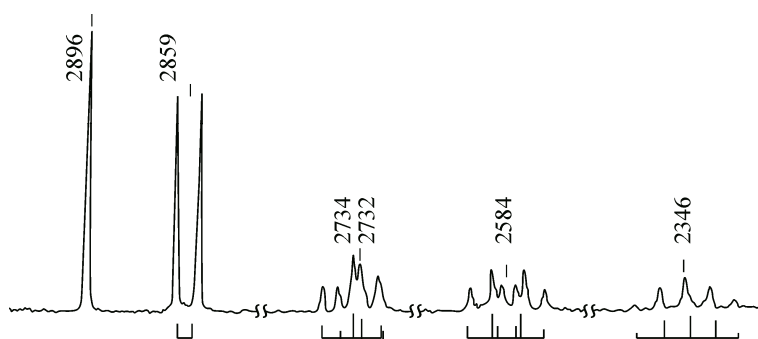


Рис. 30. Спектр ЯМР ^{195}Pt раствора Na_2PtCl_4 после добавления к нему $\text{Na}^{15}\text{NO}_2$ в соотношении $\text{Pt}:\text{NO}_2^- = 1:2$ [11]

Таблица 37

Химические сдвиги ЯМР ^{195}Pt при замещении $[\text{Pt}(\text{H}_2\text{O})_4]^{2+}$ (по данным [144])

Анион L	$\delta^{195}\text{Pt}$, м.д., в комплексах $[\text{Pt}(\text{H}_2\text{O})_{4-n}\text{L}_n]^{2+}$				Анион L	$\delta^{195}\text{Pt}$, м.д., в комплексах $[\text{Pt}(\text{H}_2\text{O})_{4-n}\text{L}_n]^{2+}$			
	моно	цис / транс	цис	тетрацис		моно	цис / транс	цис	тетрацис
NO_3^-	4497	4464 / 4462	4425	—	CH_3COO^-	4501	—	—	—
SO_4^{2-}	4595	4654 / 4685	—	—	Cl^-	4169	3705 / 3875	3331	2889
H_2PO_4^-	4666	4788 / 4813	4947	5125					

Таблица 38

Данные спектров ЯМР (^{195}Pt , ^{14}N) ацетамидатных комплексов платины [152]

Соединение ^A , условия ^B	$\delta^{195}\text{Pt}$, м.д. (W, Гц)	$\delta^{14}\text{N}$, м.д. (W, Гц)		Координата ^C
		Acam	En	
I	2336 (570)	-262 (560)		$(\text{Acam})_m \underline{\text{N}}-\text{Pt}-\text{O}(\text{Acam})_m$
$\text{H}_2\text{O} : \text{ДМСО}$ $= 1:1$ $T = 323 \text{ K}$		-280 (3500)		$(\text{Acam})_m \underline{\text{N}}-\text{Pt}-\text{N}(\text{Acam})_m$
II	3891 (1000)	-263		$(\text{Acam})_k \underline{\text{N}}-\text{Pt}-\text{O}(\text{Acam})_m$
H_2O $T = 323 \text{ K}$		-279 (460)		$(\text{Acam})_m \underline{\text{N}}-\text{Pt}-\text{N}(\text{En})$
			-349	$(\text{En}) \underline{\text{N}}-\text{Pt}-\text{O}(\text{Acam})_m$
			-366 (490)	$(\text{En}) \underline{\text{N}}-\text{Pt}-\text{N}(\text{Acam})_m$
			-384 (320)	$(\text{En}) \underline{\text{N}}-\text{Pt}-\text{Pt}$

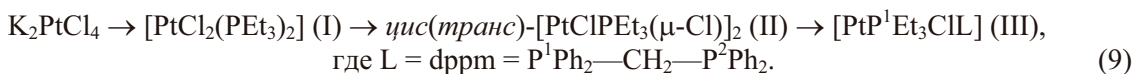
^A I — $[\text{PyPt}^{\text{III}}(\mu\text{-Acam})_4\text{Pt}^{\text{III}}\text{Py}]Cl_2$ схема (4); II — $[\text{En}(\text{Acam})\text{Pt}^{\text{III}}(\mu\text{-Acam})_2\text{Pt}^{\text{III}}(\text{Acam})\text{En}]Cl_2$, схема (5).

^B Растворитель, температура измерения.

^C М — мостик (бидентатное связывание), к — концевой (монодентатное связывание).

^{31}P { ^{195}Pt } стали определять и δ ^{195}Pt . Данные о некоторых константах ССВ ^{103}Rh — ^{31}P , $^{191,193}\text{Ir}$ — ^{31}P , ^{195}Pt — ^{31}P приведены в обзоре [154].

Ряд XC ^{195}Pt при замещении лигандов $\text{NO}_3^- > \text{NO}_2^- > \text{Cl}^- > \text{Br}^- > \text{SCN}^- > \text{CN}^- > \text{I}^-$ отличается от спектрохимического и близок к нефелоксетическому ряду (см. табл. 36). В работе [156] показано превращение комплексов в растворителе CH_2Cl_2 . Данные ЯМР комплексов приведены в табл. 40.



Химические сдвиги ^1H ЯМР для H^- в гидридных комплексах лежат в высоком поле от ТМС [100]. Положение XC было подтверждено квантово-механическими расчетами.

Платина образует комплексы с лиганном SnCl_3 [157—159]. В табл. 41 приведены данные комплексов, образующихся в системе $(\text{Ph}_4\text{P})[\text{PtCl}_4]\text{---SnCl}_3^-$.

Константы ССВ $^1J(^{195}\text{Pt}—^{119}\text{Sn})$ коррелируют с расстоянием $^{195}\text{Pt}—^{119}\text{Sn}$ [160].

Подробно исследованы карбонильные комплексы Pt(II), Pt(I) и Pt(0). Диапазон XC ^{195}Pt в таких комплексах $-200\div640$ м.д., XC ЯМР ^{13}C около 160 м.д. и $^1J(^{195}\text{Pt}—^{13}\text{C}) \approx 2000$ Гц почти не меняются при взаимном замещении галогенид-ионов, а $^1J(^{195}\text{Pt}—^{195}\text{Pt}) \approx 5000$ Гц указывает на прямую связь между атомами металла.

Изучены димеры Pt(I) $[\text{Pt}_2\text{X}_4(\text{CO})_2]^{2-}$ [161]. Исследование процессов замещения галогенид-ионов в комплексах $[\text{Pt}_2\text{X}_4(\text{CO})_2]^{2-}$ ($\text{X} = \text{Cl}, \text{Br}, \text{I}$) показало возможность произвольного взаимного

Таблица 39

Данные ЯМР ^{195}Pt и ^1H растворов комплексов транс-[$\text{Pt}(\text{PEt}_3)_2\text{HL}$] в ацетоне^A
при комнатной температуре [155]

L	δ ^{195}Pt , м.д.	δ ^{31}P , м.д.	δ ^1H , м.д.	$^1J(^{195}\text{Pt}—^1\text{H})$, Гц	$^1J(^{195}\text{Pt}—^{31}\text{P})$, Гц
NO_3^-	-2	27,0	-23,0	1330	2780
NO_2^-	-62	31,7	-19,4	1970	2800
Cl^-	-140	30,2	-16,7	1270	2720
SCN^-	-251	33,3	-13,0	1220	2650
Br^-	-252	32,7	-15,5	1340	2600
CN^-	-410	33,6	-2,4	790	2560
I^-	-495	33,8	—	1390	2660

^A XC приведены от $\Xi = 21,4$ МГц (^{195}Pt), 85 % H_3PO_4 (^{31}P) и ТМС (^1H).

Таблица 40

Данные ЯМР ^{31}P , ^{195}Pt комплексов в реакции (9) [156]

Комплекс	δ ^{31}P , м.д.	$J(^{195}\text{Pt}—^{31}\text{P})$, Гц	$J(^{31}\text{P}^1—^{31}\text{P}^2)$, Гц	δ ^{195}Pt , м.д.
I, цис-	9,8	3509	—	44
I, транс-	11,4	2400	—	597
II	11,4	3834	—	278
III, $\text{P}^1\text{P}^2(\text{транс-}\text{P}^1)\delta\text{P}^2(\text{цикло-}\text{P}^1)$	18,2, -48,7, -49,6	2233, 1868, 3043	$J(\text{P}^1—\text{P}^2_{\text{транс}}) 395;$ $J(\text{P}^1—\text{P}^2_{\text{цикло}}) 2;$ $J(\text{P}^2_{\text{транс}}—\text{P}^2_{\text{цикло}}) 265$	

Таблица 41

Данные ЯМР треххлорстанильных комплексов Pt(II) [159]

Комплекс	$\delta^{119}\text{Sn}$, м.д. ^A	$\delta^{195}\text{Pt}$, м.д.	$^1J(^{195}\text{Pt}—^{119}\text{Sn})$, Гц	Примечания
[PtCl ₃ (SnCl ₃) ²⁻]	-596	1762	33165	H ₂ O
$\eta\kappa\text{c}$ -[Pt(SnCl ₃) ₂ Cl ₂) ²⁻]	-383	301	27966	H ₂ O
[Pt(SnCl ₃) ₃ Cl] ²⁻	-228(B) -78(A)	-331	24236 21448	H ₂ O
[Pt(SnCl ₃) ₄) ²⁻	-20	-1119	19421	H ₂ O
[Pt(SnCl ₃) ₅) ³⁻	-128	-1398	16015	H ₂ O
[PtH(SnCl ₃) ₄) ³⁻ ^B	-114	-1328	18737	Me ₂ CO
[PtH(SnCl ₃) ₂ (PEt ₃) ₂) ³⁻ ^C	-122	-900	4488	CD ₂ Cl ₂
[Pt(SnCl ₃) ₂ Cl ₄) ²⁻	-454	936	29200	

Спектрометр WM-250 Bruker. (A),(B) — изотопомеры ¹¹⁹Sn в Pt(SnCl₃)₃Cl.^A От SnMe₄.^B $\delta^1\text{H} = -15,3$ м.д., $^1J(^{195}\text{Pt}—^1\text{H}) = 692$ Гц, 293 К.^C $\delta^1\text{H} = -12,6$ м.д., $^1J(^{195}\text{Pt}—^1\text{H}) = 1326$ Гц, 173 К.

замещения лигандов X; предложены механизмы реакций замещения. Данные ЯМР приведены в табл. 42.

Обратимые превращения карбонильных комплексов платины под действием кислот и оснований в водно-ацетоновых растворах описаны в работах [162, 163]. Спектр ЯМР ¹⁹⁵Pt девятимерного кластера [Pt₃(CO)₆]₃²⁻ состоит из двух мультиплетов, представляющих набор линий от разных изотопомеров с $\delta = -89$ и 494 м.д. В растворе в ТГФ Li-, K- и Na-солей [Pt_n(CO)_{2n}]²⁻ наблюдались синглеты для $n = 3$ с $\delta = 32,5$ м.д. и $\delta = -48$ м.д. для $n = 6$ [164].

Смешанные гетерометаллические кластеры с расположением атомов металлов по вершинам октаэдра описаны в работе [165]. Для раствора [NEt₄][Rh₅Pt(CO)₁₅] в тетрагидрофуране при 296 К $\delta(^{195}\text{Pt}) = 32$ м.д., $^1J(^{195}\text{Pt}—^{103}\text{Rh}) = 24$ Гц и $^2J(^{195}\text{Pt}—^{103}\text{Rh}) = 72$ Гц [165].

Состояние платины в нитратных растворах показано в работах [166, 167]. Выводы работ противоречивы, однако предположено, что в растворах Pt(IV) существует в виде олигомеров разной ядерности и мостиками в виде гидроксогрупп или атомов кислорода. Сведения о распределении платины между различными химическими формами отсутствуют.

В работе [168] использовали растворы, полученные добавлением к концентрированной H^{14,15}NO₃ кислоты H₂[Pt(OH)₆] с дальнейшим упариванием (338 К, 115 мин). Брутто-состав и плотность раствора были Pt 16,06 % (масс.), $C_{\text{Pt}} = 1,33$; $C_{\text{HNO}_3} = 10,93$; $C_{\text{H}^{14}\text{NO}_3} = 5,89$; $C_{\text{H}^{15}\text{NO}_3} = 5,04$; $C_{\text{H}_2\text{O}} = 29,2$ М и 1,62 г/см³ при 20 °C, а мольное отношение Pt:HNO₃:H₂O = 1:8:22. Перед съемкой спектров ЯМР растворы выдерживали при комнатной температуре 14 суток после их приготовления. Спектр ЯМР ¹⁹⁵Pt показан на рис. 31.

Параметры ЯМР димерных комплексов [Pt₂X₄(CO)₂]²⁻ (X = Cl, Br) [161]

Параметр ЯМР	[Pt ₂ Cl ₄ (CO) ₂] ²⁻	[Pt ₂ Br ₄ (CO) ₂] ²⁻
$\delta^{13}\text{C}$, м.д.	159	160
$\delta^{195}\text{Pt}$, м.д.	371	192
$^1J(^{195}\text{Pt}—^{13}\text{C})$, Гц	2000 ± 2	2007 ± 2
$^2J(^{195}\text{Pt}—^{13}\text{C})$, Гц	48 ± 2	48 ± 2
$^1J(^{195}\text{Pt}—^{195}\text{Pt})$, Гц	5250 ± 50	4770 ± 50

В спектре ЯМР ¹⁵N наблюдали линию HNO₃ с ХС –20 м.д. ($W = 6$ Гц) и более широкую линию в сильном поле, состоящую из двух компонент с соотношением интенсивностей $\approx 1,3:1$ и параметрами $\delta = -22,4$ м.д. ($W = 34$ Гц) и $\delta = -23,1$ м.д. ($W = 41$ Гц). Это соответствует двум состояниям нитрат-иона в комплексах — концевому и мостиковому лигандам. Среднее координационное число

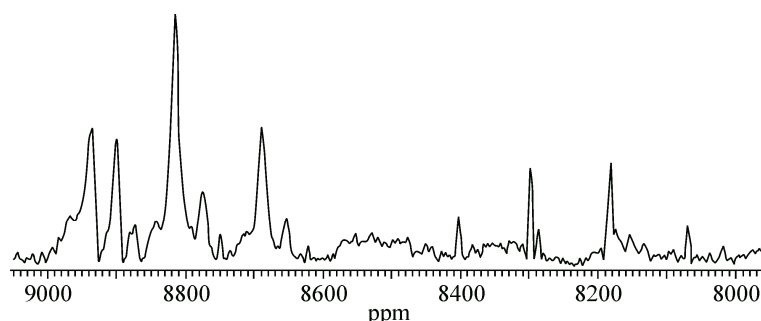


Рис. 31. Спектр ЯМР ^{195}Pt раствора нитрата платины, $C_{\text{Pt}} = 1,33 \text{ M}$, $C_{\text{HNO}_3} = 10,93 \text{ M}$, $^{14}\text{N}:^{15}\text{N} = 1:1,17$, $T = 295 \text{ K}$ [168]

платины по нитрат-иону $n = 1,30$. Это значит, что координационная сфера комплексов содержит всего 1—2 нитрат-иона. Наличие 21 линии в ^{195}Pt спектре (см. рис. 31) и большое различие в их ширине не позволяет интерпретировать систему в рамках образования только моноядерных нитратных комплексов Pt(IV). Это предположение подтверждается и наличием двух форм нитрата. Предположительное отнесение моноядерных форм с учетом стабильности гидроксила в комплексах Pt(IV) представлено в табл. 43.

Все линии моноядерных комплексов находятся в слабом поле относительно линии комплекса $[\text{Pt}(\text{OH})_6]^{2-}$ ($\delta = 7823 \text{ м.д.}$) [167] и расположены в двух диапазонах $7900 \div 8400$ и $8600 \div 9000 \text{ м.д.}$ Ширина линий первого диапазона $\approx 650 \text{ Гц}$, тогда как второго от 880 до 2150 Гц.

Исходя из общей закономерности смещения ХС центрального атома при образовании моноядерных комплексов следует ожидать, что линии моноядерных комплексов будут находиться в сильном поле относительно линии гипотетического аква-иона Pt(IV) [53, 169], тогда как линии полиядерных — в слабом поле [116]. На этом основании можно предполагать, что для гипотетического гексааква-иона Pt(IV) ХС ^{195}Pt $\delta \approx 8500 \text{ м.д.}$ Большое число полиядерных форм предполагает, кроме димеров, и формы большей ядерности: тримеров, тетрамеров и, возможно, гексамеров. Димер представляет собой два октаэдра, сшитых по ребру мостиковыми лигандами OH^- и NO_3^- , аналогично димерам Rh(III) в концентрированных растворах нитрата родия(III) [82].

Большая чувствительность ХС ^{195}Pt позволяет наблюдать изомеры и изотопомеры комплексов. Различие между изомерами в хлоробромидных комплексах как Pt(II), так и Pt(IV) невелико; подобная картина наблюдается и в комплексах $[\text{RhCl}_x\text{Br}_{6-x}]^{3-}$ [87]. Заметим, что отнесение линий ЯМР этих комплексов платины сделано в предположении статистического

Таблица 43

Химические сдвиги ЯМР ^{195}Pt для мономерных нитратных комплексов Pt(IV) [168]

Комплекс	$\delta^{195}\text{Pt}$, м.д. ^A (W, Гц)	Интенсивность, %
$[\text{Pt}(\text{OH})_4(\text{NO}_3)(\text{H}_2\text{O})]^-$	8020 (180)	0,5
$\text{Pt}(\text{OH})_3(\text{NO}_3)(\text{H}_2\text{O})_2]^0$	8070 (450)	1,0
$[\text{Pt}(\text{OH})_2(\text{NO}_3)(\text{H}_2\text{O})_3]^{+}$	8183 (360)	5,6; 2,0; 1,5
$[\text{Pt}(\text{OH})(\text{NO}_3)(\text{H}_2\text{O})_4]^{2+}$	8299 (220)	2,6; 1,0
$[\text{Pt}(\text{NO}_3)(\text{H}_2\text{O})_5]^{3+}$	8403 (210)	1,5

Спектрометр AVANCE-400 Bruker.

^A От $\Xi = 21,4 \text{ МГц}$.

распределения форм. В комплексах $[PtCl_2(NO_2)_2]^{2-}$ различие между *цис*- и *транс*-изомерами мало и разрешается только на высокополевых спектрометрах.

В ряде комплексов Pt(II) наблюдается корреляция $\delta — (\Delta E)^{-1}$ [78], подтверждающая преобладающее влияние парамагнитного вклада и фактора ΔE в этом вкладе (формула (2)); экстраполяция к $\Delta E \rightarrow \infty$ ($\sigma^p \rightarrow 0$) дает диамагнитное экранирование Pt(II) около 5900 м.д. Однако при замещении галогенами наблюдается противоположный ход зависимости $\delta — (\Delta E)^{-1}$, как в комплексах Rh(III) [8], что показывает преобладание влияния других факторов в парамагнитном вкладе.

Имеется много данных о константах ССВ с платиной; в гидридах ${}^1J({}^{195}Pt — {}^1H) = 700 \div 1300$ Гц, причем величина констант согласуется с *транс*-влиянием лигандов [155, 170]; в комплексах со связанным углеродом ${}^1J({}^{195}Pt — {}^{13}C)$ 2000 Гц [171]. Для N-связанных NC, NCS- ${}^1J({}^{195}Pt — {}^{14}N) = 250 \div 500$ Гц [172]. Величина констант ССВ ${}^{195}Pt$ с азотом и фосфором зависит от состояния окисления платины и *транс*-влияния лигандов [11, 138, 142, 148]. По константам можно различать изомеры комплексов Pt(II) — *цис*-изомеры имеют большие константы, чем *транс*-изомеры [173] (для ${}^{15}N$ $J_{цис}/J_{транс} = 1,2$, для ${}^{31}P$ $J_{цис}/J_{транс} = 1,4$) [174]. Необычное взаимное влияние лигандов, приводящее к изменению знака КССВ, обнаружено в комплексах с $SeMe_2$ и $TeMe_2$. В биядерных комплексах платины наблюдались необычно большие величины $J({}^{195}Pt — {}^{195}Pt)$ до 9 кГц [145].

Обогащение изотопом ${}^{15}N$ позволило обнаружить изомерию в комплексе $[Pt(CNS)_4]^{2-}$ (N—S-изомеризация). Кроме наблюдавшегося в твердом состоянии иона $[Pt(SCN)_4]^{2-}$, после старения раствора наблюдались ионы $[Pt(NCS)_4]^{2-}$, $[Pt(NCS)(SCN)_3]^{2-}$ и $[Pt(NCS)_2(SCN)_2]^{2-}$, которые однозначно отнесены по мультиплетности сигнала ЯМР ${}^{195}Pt$ [175]. Необычно большие величины ${}^1J({}^{195}Pt — {}^{119}Sn)$ получены в комплексах с лигандом $SnCl_3^-$ (20—30 кГц) [99, 175].

Данные ЯМР ${}^{195}Pt$ (ХС и константы ССВ) активно используются для изучения структуры и взаимного влияния лигандов и химических реакций комплексов платины [141, 173].

Гидролиз $[PtCl_4]^{2-}$ изучен при $C_{Pt} 0,05$ М и добавлении 1М NaOH [176].

ПРОБЛЕМА ИЗВЛЕЧЕНИЯ ПЛАТИНОВЫХ МЕТАЛЛОВ ПРИ ПЕРЕРАБОТКЕ РАДИОАКТИВНЫХ ОТХОДОВ

Отработанное ядерное топливо (ОЯТ) по содержанию платиновых металлов рассматривается экспертами как альтернативный источник этих технически важных металлов, причем в качестве сырья ОЯТ богаче, чем сульфидные медно-никелевые руды, которые являются основным первичным источником платиновых металлов [177].

ОЯТ содержит три платиновых металла (рутений, родий, палладий), которые являются продуктами деления. После растворения ОЯТ по технологии пурекс-процесса [177] в 7—10 М азотной кислоте осколочные платиноиды распределяются между водной фазой и твердыми высокоактивными нерастворимыми остатками в соотношении ~2:1. Поскольку азотнокислые среды не используются в аффинажной практике платиновых металлов, систематические исследования в этой области ранее не проводились.

Прямое применение метода ЯМР для исследования состояния платиновых металлов в водно-хвостовых растворах пурекс-процесса невозможно из-за чрезвычайно низких концентраций. На модельных системах можно получить информацию по составу макрокомпонентов нитратно-нитритной системы, а также некоторые сведения по химии платиновых металлов, способствующие разработке методов концентрирования и выделения целевых продуктов.

Рутений. Радиорутений является одним из микрокомпонентов в растворах переработки ОЯТ. Он состоит из стабильных изотопов и примеси радиоактивных сравнительно короткоживущих изотопов ${}^{103}Ru$ ($\tau_{1/2} = 40$ сут.) и ${}^{106}Ru$ ($\tau_{1/2} = 368$ сут.). В зависимости от типа реактора, режима горения топлива и времени его хранения в литературе указываются концентрации Ru от 0,7 до 29 г/л жидких отходов, причем доля неактивного рутения в азотнокислых растворах ОТЯ гораздо больше, чем доля нестабильных изотопов. Поиски путей выделения рутения из

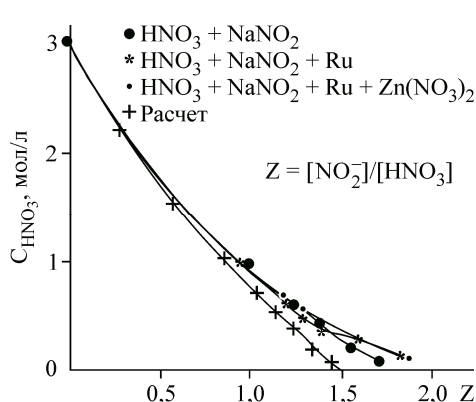


Рис. 32. Зависимость остаточной концентрации HNO_3 от добавленного нитрита [178]

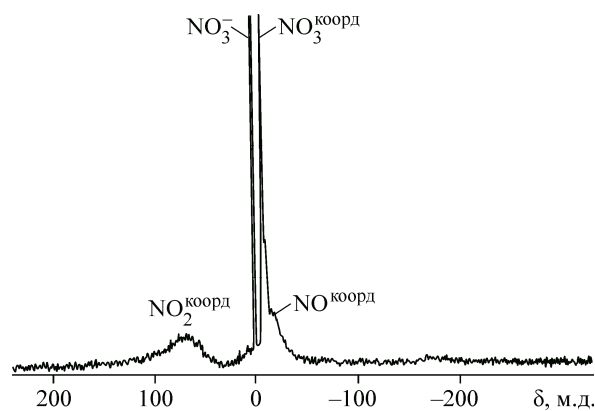


Рис. 33. Спектр ЯМР ^{14}N исходного раствора (A). Видна линия или набор линий в области 70 м.д. (в ЯМР ^{14}N не разрешаются), линия нитрата (0 м.д.), линия NO_3^{C} (-10 м.д.) и линия NO^{C} (-20 м.д.) [178]

таких растворов активизировали работы по изучению состояния и химического поведения рутения в растворах азотной кислоты.

Подавляющая часть рутения в азотнокислых растворах переработки ОЯТ находится в виде нитрозокомплексов, содержащих устойчивую группировку $(\text{RuNO})^{3+}$. Остальными лигандами, дополняющими координацию рутения до октаэдрической, являются нитрат-, нитрит-, гидроксид-ионы, а также молекулы воды. Количественные соотношения различных нитрозокомплексов рутения в реальных и модельных азотнокислых растворах ОЯТ зависят от многих факторов, таких как кислотность, содержание нитрат-иона и азотистой кислоты, температуры, предыстории раствора и т.д.

Для выяснения состояния рутения в растворах ОЯТ были приготовлены и изучены растворы, моделирующие состояние рутения в нитратно-нитритной среде [63, 178].

При добавлении нитрита натрия к HNO_3 нитрит разлагается по уравнению:



На рис. 32 показаны результаты изменения кислотности в системе при наличии в растворе рутения и без него. Видно, что полученные кривые отклоняются от расчетной по мере снижения концентрации кислоты. Это связано, по-видимому, с частичным окислением выделяющегося NO кислородом воздуха, по суммарному уравнению с частичным возвращением в систему азотной кислоты



Исходный для нитрования раствор рутения в азотной кислоте готовили растворением $\text{Na}_2[\text{RuNO}(\text{NO}_2)_4\text{OH}] \cdot 2\text{H}_2\text{O}$ в 12М HNO_3 (раствор 1) [178]. К раствору 1 добавили обогащенную по изотопу ^{17}O воду до 5-кратного обогащения раствора относительно природного содержания (раствор A) (рис. 33).

Аналогично было приготовлено шесть растворов с $[\text{H}^+]$ 2,7 М (A), 1,5 М (B), 0,06 М (C); раствор (D) получен выдерживанием раствора (C) 25 сут. при комнатной температуре ($[\text{H}^+] 0,2$ М); раствор (E) — добавлением к раствору (D) порции нитрита ($[\text{H}^+] 0,12$ М) с последующей регистрацией спектров ЯМР. К раствору (A) добавляли частями твердый $\text{Na}^{15}\text{NO}_2$ при 295 К и при последующем нагреве (353 К, 30 мин) в закрытой системе (раствор B). После снятия спектров ЯМР в раствор (B) добавили порцию $\text{Na}^{15}\text{NO}_2$ и прогрели аналогично раствору (B) (раствор C). Результаты приведены в табл. 44, некоторые спектры — на рис. 32—38.

В растворе (A) присутствует координированный нитрат (рис. 34, ЯМР ^{17}O линия 439 м.д., два атома O) в составе димера (схема 12). Эта форма рутения в растворе не одна, поскольку среди слабых линий ЯМР ^{15}N есть нитрит на координатах $\text{O}_2\text{N}-\text{Ru}-\text{NO}_2$ и $\text{H}_2\text{O}-\text{Ru}-\text{NO}_2$.

Таблица 44

Данные спектров ЯМР разных ядер растворов В—F

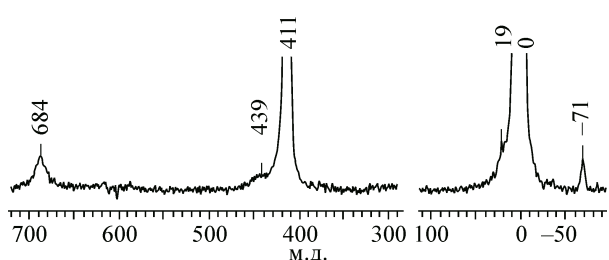
Раствор (C_{H^+} , М)	$B(2,7)$	$C(1,5)$	$D(0,06)$	$E(0,2)$	$F(0,12)$	Отнесение
Ядро (T , К)	δ , м.д.*					
^{15}N (300)		202,4	203,4; 203	203,1		ONO^{C}
	64,1(1)	196,5*	93,3(8)	65,3(1,2)	64,1(1)	NO_2^{C}
	63,4(1)	64,0(1)	90,7(4)	62,9(1,4)	63,6(1)	NO_2^{C}
	60(1,4)	63,5(1)	84,7(1)		61,3(1,8)	NO_2^{C}
		60,3(1)	84,4(1)			NO_2^{C}
	0,9		1,4	1,5	0	NO_3^-
	-9,89(1,2)	0,8		-9,4(1)	-10,9(1,1)	NO_3^-
		-9,9(0,8)				
	201					$\text{ONO}^{\text{C}}, \text{HNO}_3$
	-20	-17	-16, -31	-19, -23	-20	$\text{NO}^{+\text{C}}$
^{17}O (323)**	684	684	683	681	682	NO_2^{C}
	410	409	408,	409	410	NO_3^-
			376,			$\text{NO}^{+\text{C}}$
	19	19	33			NO^{C}
	-1	-5		-4	-5,6	H_2O
^{99}Ru (323), δ/W^{**}	-71	-72	-8	-71	-71	$\text{H}_2\text{O}^{\text{C}}$
	3950/1600	3953/2000		3937/1800		<i>A</i>
			3425/650			<i>B</i>
			3580/1000			<i>Г</i>
					6674 (3400)	<i>Д</i>
					5716 (2000)	<i>Е</i>

* δ , м.д. (относительная интенсивность линий), ХС слабых линий опущены; W — ширина линий, Гц.** ХС δ ^{17}O и δ ^{99}Ru даны с точностью до целых.

Исходя из ширины линии ЯМР ^{99}Ru наблюдаемого комплекса, комплексы большей ядерности вряд ли будут наблюдаться в ЯМР ^{99}Ru ; это значит, что часть рутения может не проявляться в ЯМР ^{99}Ru , в то время как азотные и кислородные лиганда эти комплексов обнаруживаются в ЯМР ^{15}N и ^{17}O .

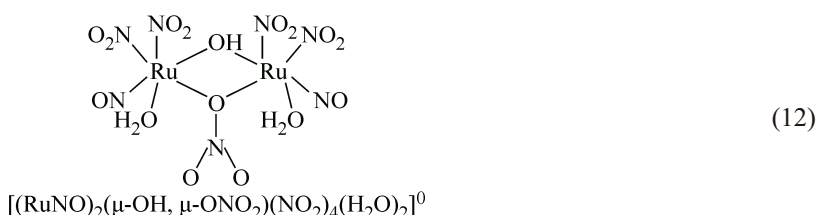
На рис. 35 представлен спектр ЯМР ^{15}N раствора (*C*). В области ≈ 200 м.д. виден набор из четырех линий. Это значит, что наблюдается как минимум три нитритолиганда (ONO^-), присоединенные к рутению. Линия -9,9 м.д. означает наличие в комплексе координированного NO_3^{C} [14]. В спектре нет линии NO^{C} , которая наблюдается в спектре ЯМР ^{14}N .

В спектре ЯМР ^{17}O этого раствора (см. рис. 38) видны линии координированного NO_2^-



(684 м.д.), азотной кислоты (409 м.д.), NO^{C} (19 м.д.), воды на координате $\text{H}_2\text{O}-\text{Ru}-\text{NO}_2^-$ (-72 м.д.) [61]. Учитывая большую ширину линии ЯМР ^{99}Ru , наблюдаемую форму можно отнести к димеру (13).

Рис. 34. Спектр ЯМР ^{17}O образца (*B*)



Такое отнесение основано на стабильности двойного мостика (μ -ОН, μ -ONO₂) [61, 63], стабильности координаты OH—Ru—NO, соотношении линий ЯМР в спектрах ЯМР ¹⁵N и ¹⁷O. Двойная линия 63,5 и 64 м.д. в спектре ЯМР ¹⁵N (см. рис. 35) означает, по-видимому, *цикло*-и *транс*-расположение координаты H₂O—Ru—NO₂ в димерах.

Мостиками в этом случае будет (μ -ОН)₂, чему способствует низкая концентрация HNO₃. В таком комплексе все линии NO₂ находят логичное отнесение, при этом линия 210 м.д. должна относиться к азотистой кислоте. ХС димера (13) должен быть близким к химическому сдвигу [RuNOOH(NO₂)₄]²⁻.

В спектре ЯМР ¹⁵N образца (D) (см. рис. 38) наблюдали линии HNO₂ и/или линию нитритолиганда (в области 200 м.д.); линии в области 93—84 м.д. относятся к координате O₂N—Ru—NO₂. В ЯМР ⁹⁹Ru (рис. 39) наблюдали линию 3425 м.д.; в спектре ЯМР ¹⁷O отсутствует линия координированной воды, а в спектре ЯМР ¹⁵N нет линии координированного нитрата. Ширина линии ЯМР ⁹⁹Ru меньше, чем у димера (4) и (8), однако гораздо больше, чем у мономеров (см. табл. 44). Это указывает на то, что это — димерный комплекс.

После выдерживания раствора (D) 25 дней при 295 К в закрытой системе (образец E) кислотность раствора увеличилась, и соответственно спектры ЯМР изменились. В спектре ЯМР ¹⁵N появились две линии NO^C.

Родий. Радиородий состоит из стабильного изотопа ¹⁰³Rh (>99 %) и примеси радиоактивных сравнительно короткоживущих изотопов ¹⁰²Rh и ^{102m}Rh. Он становится практически неактивным после выдержки 25 лет.

Для родия пока не найдено приемлемых способов извлечения из азотокислых растворов. Немногочисленные работы [179—181], на базе которых велись поиски, опубликованные в [182, 183], постулировали, что в азотокислых средах родий существует в форме аква-иона родия(III) или нитратных комплексов.

Как показали исследования с применением метода ЯМР [82, 84], в разбавленных

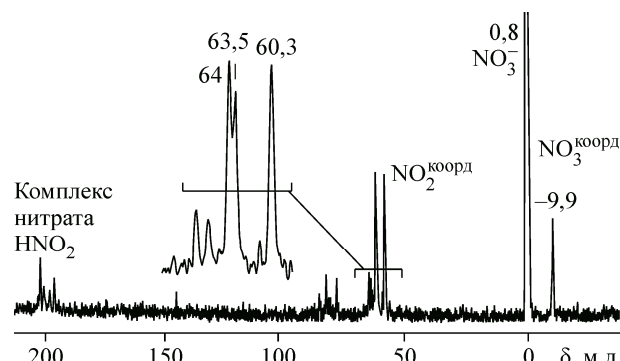


Рис. 35. Спектр ЯМР ¹⁵N раствора (C)

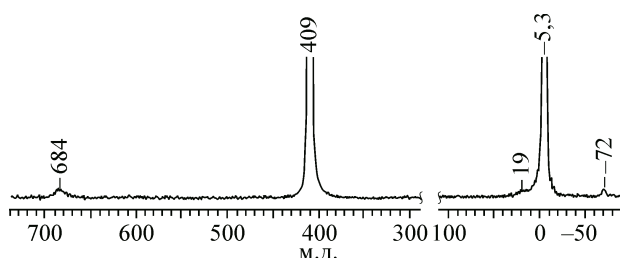


Рис. 36. Спектр ЯМР ¹⁷O раствора (C)

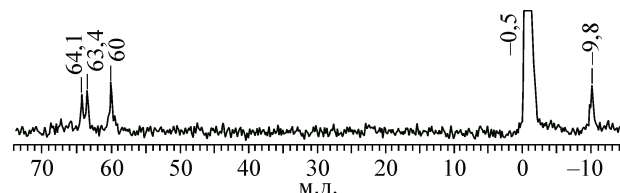
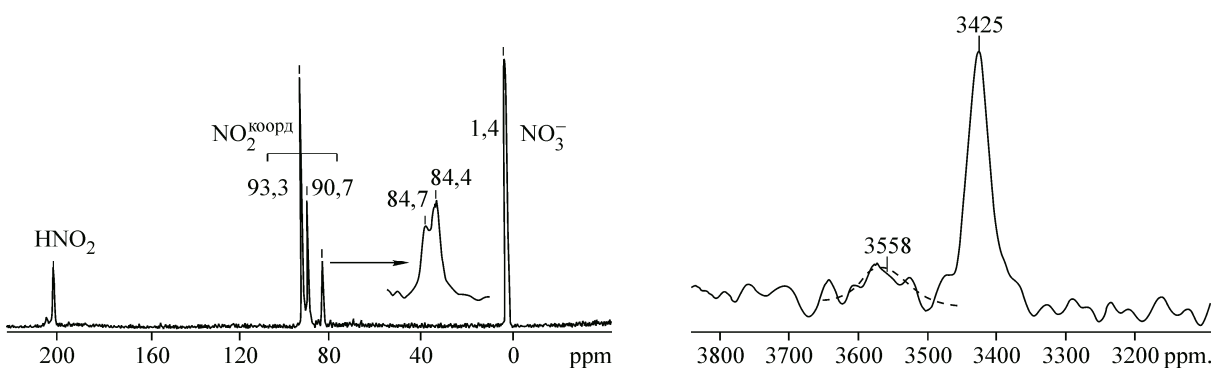
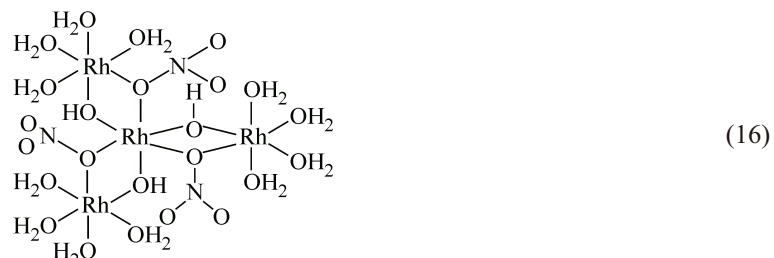
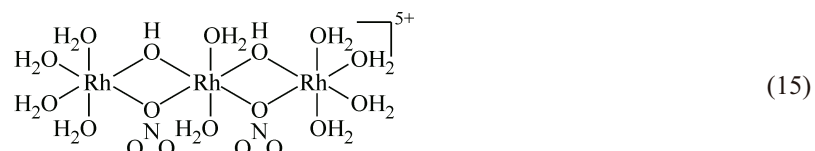


Рис. 37. Спектр ЯМР ¹⁵N образца (B)

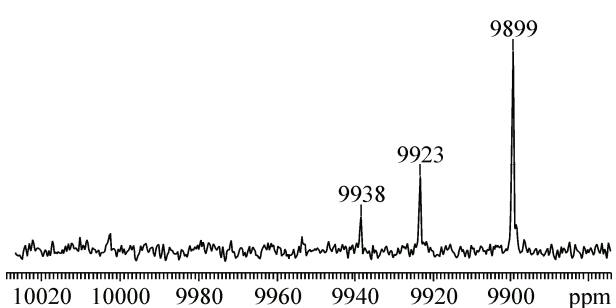
Рис. 38. Спектр ЯМР ^{15}N раствора (D)Рис. 39. Спектр ЯМР ^{99}Ru раствора (D)

растворах HNO_3 родий на 90 % существует в виде простейших олигомеров состава $[(\text{H}_2\text{O})_4\text{Rh}(\mu\text{-OH}, \text{NO}_3)\text{Rh}(\text{H}_2\text{O})_4]^{4+}$ (14) и $[(\text{H}_2\text{O})_4\text{Rh}(\mu\text{-OH}, \text{NO}_3)(\text{H}_2\text{O})_2\text{Rh}(\mu\text{-OH}, \text{NO}_3)\text{Rh}(\text{H}_2\text{O})_4]^{5+}$ (15). Первый наблюдается по линии ЯМР ^{103}Rh (рис. 40) с ХС 9899 м.д., второй — по линиям 9923 и 9938 м.д. с отношением интенсивностей 2:1. Положение этих линий сильно (до 30 м.д.) зависит от ионного фона раствора. В спектрах ЯМР ^{17}O (рис. 41) координированная вода H_2O^C представлена широкой линией с ХС $-134 \div -139$ м.д.; по ЯМР ^{15}N наблюдались линии с ХС = = -7,6 и -8,1 м.д. от мостикового нитрат-иона. При большей концентрации образуются тетramerы (16), однако возможно и альтернативное отнесение линий в спектрах.



Для комплексов родия(III) в растворах обмен лигандов NO_3^- и H_2O оказался необычно быстрым [182]. Из кинетики изотопного обмена

$^{16}\text{O} \rightarrow ^{17}\text{O}$ координированной воды и $^{14}\text{N} \rightarrow ^{15}\text{N}$ нитрат-иона следует, что их скорости обмена близки и время полуобмена порядка 10 мин (рис. 42). Такой быстрый обмен координационной воды является, по-видимому, результа-

Рис. 40. Спектр ЯМР ^{103}Rh азотнокислого раствора родия

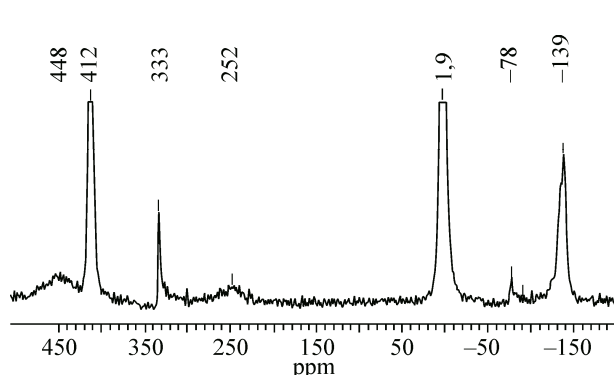


Рис. 41. Спектр ЯМР ^{17}O раствора (спектр ЯМР ^{103}Rh для этого образца приведен на рис. 42)

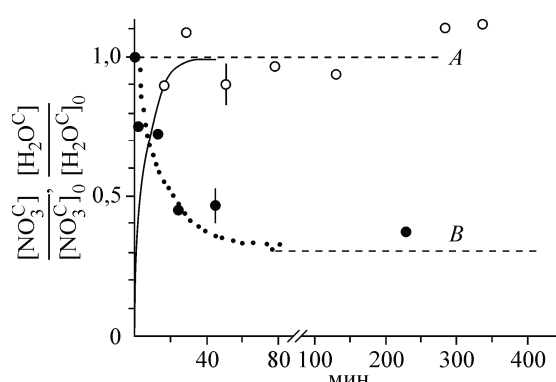


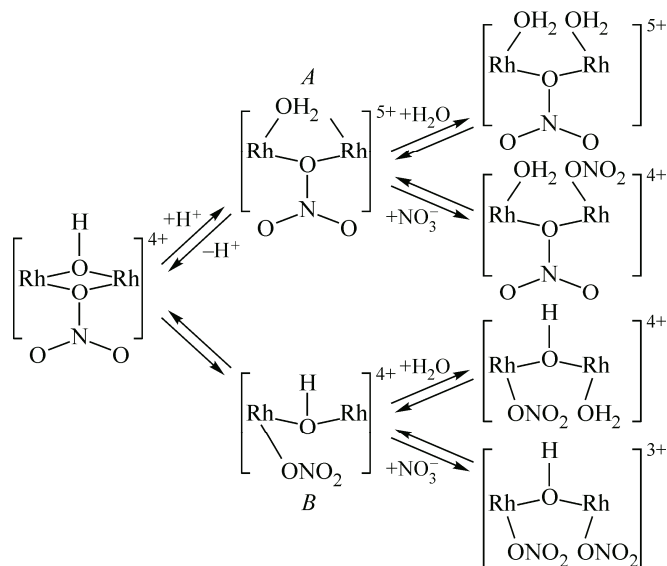
Рис. 42. Кинетика обмена координированным нитратом и координированной водой по данным ЯМР ^{15}N (A) и ^{17}O (B) [182]

том лабильности лиганда NO_3^- , поскольку скорость обмена молекулами воды аква-иона с водой растворителя на порядки ниже. Полученная константа скорости обмена, $2 \cdot 10^{-3} \text{ с}^{-1}$ при 297 К, необычно велика для реакций обмена и замещения лигандов в моноядерных комплексах родия(III), как и скорость обмена терминальных молекул воды с водой растворителя ($\sim 10^{-3} \text{ с}^{-1}$) [82]. Так, скорость обмена воды в моноядерных ионах гексааквародия ($2,8 \cdot 10^{-8} \text{ с}^{-1}$) [182] и аквапентаамминродия(III) ($1,05 \cdot 10^{-5} \text{ с}^{-1}$) [183] на порядки ниже, что указывает на различные механизмы обмена.

Наблюдаемые быстрые превращения могут быть объяснены существованием в растворе локальных равновесий, описываемых следующей схемой (рис. 43). Формы A и B по сути являются интермедиатами, присутствующими в стационарном состоянии в постоянной, сравнительно низкой концентрации. Определяющим является равновесие между формами с двойным мостиком ($\mu\text{-OH}$, $\mu\text{-ONO}_2$) и формами с одинарным мостиком ($\mu\text{-OH}$) и ($\mu\text{-ONO}_2$).

При повышении концентрации HNO_3 расщепляются только мостики ($\mu\text{-OH}$), а ($\mu\text{-ONO}_2$) стабилизируются, тогда как при разбавлении водой стабилизируются мостики ($\mu\text{-OH}$), а мостики ($\mu\text{-ONO}_2$) расщепляются. Но даже при понижении равновесных концентраций $[\text{H}^+]$ и $[\text{NO}_3^-]$ более чем на два порядка (от $[\text{H}^+] = 2,9 \text{ М}$, $[\text{NO}_3^-] = 4,4 \text{ М}$) не обнаруживаются олигомеры с мостиком ($\mu\text{-OH})_2$ [92, 184].

Рис. 43. Схема локальных равновесий в азотнокислых растворах родия(III). Терминальные молекулы воды, не участвующие в процессе, опущены



В квазиравновесном состоянии в системе при любых концентрационных условиях отсутствуют аква-ион родия(III) в измеримой концентрации.

Состояние родия в нитритно-нитратных средах значительно усложняется. Образование нитритных комплексов в кислых растворах сильно зависит от того, проводится ли процесс при доступе кислорода в газовую фазу над раствором или в закрытой системе. В 3 М HNO_3 комплексы $[\text{Rh}(\text{NO}_2)_6]^{3-}$, $[\text{Rh}(\text{NO}_2)_5(\text{H}_2\text{O})]^{2-}$ и *cis*- $[\text{Rh}(\text{NO}_2)_4(\text{H}_2\text{O})_2]^-$ при комнатной температуре в открытой системе разрушаются очень быстро. Относительно устойчивой оказывается форма *cis*- $[\text{Rh}(\text{NO}_2)_3(\text{H}_2\text{O})_3]$, стабильная около двух недель. При более длительной выдержке или при нагреве >323 К происходит дальнейший распад с образованием *cis*- $[\text{Rh}(\text{NO}_2)_2(\text{H}_2\text{O})_4]^+$. Квазиравновесная концентрация HNO_2 при этом становится $<1 \cdot 10^{-3}$ М, и весь вышедший из внутренней сферы нитрит-ион окисляется в нитрат-ион при доступе воздуха. При повышении кислотности и нагревании в системе образуется не мононитропентааквакомплекс, а олигомеры с мостиком (μ -ОН, μ - ONO_2). Полное удаление нитрит-иона возможно только в открытой системе. Необходимость очень жестких условий ($T > 398$ К и $C_{\text{HNO}_3} > 8$ М) для полного разрушения нитрокомплексов родия(III) указывает на их высокую устойчивость.

Если родий в азоткислом растворе ОЯТ находится как в форме олигомеров, так и моноядерных комплексов, оба типа соединений могут быть подвергнуты нитрованию. Равновесие между этими подсистемами комплексов устанавливается очень медленно и зависит от равновесной концентрации нитрит-иона. Расщепление олигомеров с образованием моноядерных нитроаквакомплексов проходит количественно при высокой концентрации NO_2^- , которую невозможно получить в сильнокислых растворах ОЯТ, поэтому процесс останавливается на ранних стадиях. Более глубокую стадию нитрования можно получить в закрытых системах, хотя при $C_{\text{H}^+} > 0,2$ М образование формы $[\text{Rh}(\text{NO}_2)_6]^{3-}$ невозможно по термодинамическим причинам.

Из рассмотренных данных следует, что в азоткислых растворах практически невозмож но перевести родий(III) в единственную форму, на базе которой можно было бы организовать процесс его выделения. Однако установление форм существования родия в растворах ОЯТ является необходимой частью решения поставленной проблемы, определяя возможные пути технологического поиска.

Палладий. Химия палладия в азоткислых средах достаточно проста и хорошо изучена, разработаны эффективные методы извлечения металла из различных сред [185—192]. Наиболее предпочтительными являются экстракция серосодержащими экстрагентами [190] и электролиз с использованием углеволокнистых электродов.

Проведенный краткий анализ состояния химических исследований по формам существования платиноидов в нитритно-нитратных средах позволяет сделать вывод, что задача извлечения платиновых металлов из ОЯТ реально разрешима. Выделенные осколочные платиновые металлы после предварительного аффинажа могут быть получены с содержанием основного компонента более 99 % [177]. Примеси радиоактивны, поэтому для практического использования их содержание в целевых металлах должно быть понижено на 8—10 порядков.

ЗАКЛЮЧЕНИЕ

Приведенный опыт применения ЯМР показывает эффективность метода для решения проблем химии платиновых металлов. Использование спектрометров с более высокими полями (14—18 Т), чем примененные во всех указанных выше примерах ЯМР-исследований, существенно увеличит возможности исследования комплексов платиновых металлов.

СПИСОК ЛИТЕРАТУРЫ

1. Sahm W., Schwenk A. // Z. Naturforsch. – 1974. – **29a**, N 12. – P. 1763.
2. Brevard C., Granger P. // J. Chem. Phys. – 1981. – **75**, N 9. – P. 4175.
3. Gill D.S., Gansow O.A., Bennis F.J., Ott K.C. // J. Magn. Res. – 1979. – **35**, N 3. – P. 459.
4. Федотов М.А., Лихолобов В.А. // Изв. АН СССР. Сер. хим. – 1984. – № 8. – С. 1917.

5. Harris R.K., Becker E.D., de Menezes S.M.C., Goodfellow R.J., Granger P. // Pure Appl. Chem. – 2001. – **73**, N 11. – P. 1795.
6. Webb G.A. In: NMR and the periodic table / Eds. R.K. Harris, B.E. Mann. – New York: Academic Press, 1978. – P. 49 – 86.
7. Федотов М.А. Ядерный магнитный резонанс в неорганической и координационной химии. – М.: Физматлит, 2009.
8. Федотов М.А., Беляев А.В. // Координац. химия. – 1984. – **10**, № 9. – С. 1236.
9. Федотов М.А., Федотова Е.Н., Голованева И.Ф. // Журн. неорган. химии. – 1997. – **42**, № 6. – С. 1003.
10. Федотов М.А. // Изв. РАН. Сер. хим. – 2003. – № 4. – С. 743.
11. Федотов М.А., Коренев С.В., Беляев А.В. // Координац. химия. – 1990. – **16**, № 9. – С. 1272.
12. Храненко С.П., Федотов М.А., Беляев А.В., Венедиктов А.Б. // Координац. химия. – 1990. – **16**, № 7. – С. 991.
13. Венедиктов А.Б., Коренев С.В., Федотов М.А., Беляев А.В. // Координац. химия. – 1990. – **16**, № 10. – С. 1400.
14. Федотов М.А., Беляев А.В. // Координац. химия. – 1994. – **20**, № 8. – С. 613.
15. Pidcock A., Richards R.E., Venanzi L.M. // J. Chem. Soc. A, Inorganic, Phys. Theor. – 1966. – P. 1707.
16. Juranić N. // Coord. Chem. Rev. – 1989. – **96**. – P. 253.
17. Mann B.E. In: NMR and the periodic table / Eds. R.K. Harris, B.E. Mann. – New York: Academic Press, 1978. – P. 87 – 106.
18. Mann B.E. In: Multinuclear NMR / Eds. J. Mason. – New York: Springer US, 1987. – P. 293 – 303.
19. Mann B.E., Taylor B.F. ¹³C NMR data for organometallic compounds. – London, UK: Acad. Press, 1981.
20. Monlien F.J., Helm L., Abou-Hamdan A., Merbach A.E. // Inorg. Chem. – 2002. – **41**, N 7. – P. 1717.
21. Pesek J.J., Mason W.R. // Inorg. Chem. – 1979. – **18**, N 4. – P. 924.
22. Agnew N.H., Appleton T.G., Hall J.R. // Aust. J. Chem. – 1982. – **35**, N 5. – P. 881.
23. Mason J. In: Multinuclear NMR / Eds. J. Mason. – New York: Springer US, 1987. – P. 335 – 367.
24. Mason J. // Chem. Rev. – 1981. – **81**, N 3. – P. 205.
25. George Charles Levy, Licherter R.L. Nitrogen-15 Nuclear Magnetic Resonance Spectroscopy. – New York: John Wiley & Sons Inc, 1979.
26. Mason J., Larkworthy L.F., Moore E.A. // Chem. Rev. – 2002. – **102**, N 4. – P. 913.
27. Bramley R., Figgis B.N.N., Nyholm R.S.S. // J. Chem. Soc. A, Inorganic, Phys. Theor. – 1967. – P. 861.
28. Коренев С.В., Венедиктов А.Б., Малкова В.И., Федотов М.А. // Координац. химия. – 1999. – **25**, № 9. – С. 696.
29. Shporer M., Ron G., Loewenstein A., Navon G. // Inorg. Chem. – 1965. – **4**, N 3. – P. 361.
30. Chew K.F., Derbyshire W., Logan N., Norbury A.H., Sinha A.I.P. // J. Chem. Soc. D, Chem. Commun. – 1970. – N 24. – P. 1708.
31. Böhland H., Mühlé E. // Z. Anorg. Allg. Chem. – 1971. – **379**, N 3. – P. 273.
32. Крылова Л.Ф., Диканская Л.Д., Федотов М.А. // Координац. химия. – 1994. – **20**, № 1. – С. 57.
33. Сликтер Ч. Основы теории магнитного резонанса. – М.: Мир, 1981.
34. Pregosin P.S., Omura H., Venanzi L.M. // J. Am. Chem. Soc. – 1973. – **95**, N 6. – P. 2047.
35. Rodger C., Sheppard N., McFarlane C., McFarlane W. In: NMR and the periodic table / Eds. R.K. Harris, B.E. Mann. – New York: Academic Press, 1978. – P. 383 – 420.
36. Kintzinger J.P. In: NMR Basic Principles and Progress / Eds. P. Diehl, E. Fluck, R. Kosfeld. – New York: Springer, 1981. – P. 1 – 64.
37. Florin A.E., Alei M. // J. Chem. Phys. – 1967. – **47**, N 10. – P. 4268.
38. Figgis B.N., Kidd R.G., Nyholm R.S. // Proc. R. Soc. London. Ser. A. Math. Phys. Sci. – 1962. – **269**, N 1339. – P. 469.
39. Kidd R.G.G. // Can. J. Chem. – 1967. – **45**, N 6. – P. 605.
40. Maij L.A. // Latv. Zinat. Akad. Vestis. Kim. ser. – 1981. – **4**. – P. 402.
41. Dixon K.R. In: Multinuclear NMR / Eds. J. Mason. – Springer US, 1987. – P. 369 – 402.
42. Crutchfield M.M., Dungan C.H., Letcher J.H., Mark V., Van Wazer J.R. In: Topics in Phosphorus Chemistry. – New York: Interscience, 1967.
43. Mason J. Multinuclear NMR. – New York—London: Plenum Press, 1987.
44. Mavel G. // Annu. Rep. NMR Spectrosc. – 1974. – **5**. – P. 1.
45. Purdela D. // J. Magn. Res. – 1971. – **5**, N 1. – P. 23.
46. Тарасевич А.С., Егоров Ю.П. // Теор. экспер. химия. – 1975. – **2**. – С. 193.
47. Seel F., Bohnstedt G. // Z. Anorg. Allg. Chem. – 1977. – **435**, N 1. – P. 257.
48. Беляев А.В., Федотов М.А. // Журн. неорган. химии. – 2008. – **53**. – С. 826.

49. Габуда С.П., Земсков С.В. // Журн. структур. химии. – 1987. – **28**, № 3. – С. 56.
50. Габуда С.П., Земсков С.В. Ядерный магнитный резонанс в комплексных соединениях. – Новосибирск: Наука, 1976.
51. Шипачев В.А., Земсков С.В., Ткачев С.В. // Координац. химия. – 1980. – **6**, № 8. – С. 1237.
52. Seppelt K., Bartlett N. // Z. Anorg. Allg. Chem. – 1977. – **436**, N 1. – P. 122.
53. Кираоксян Г.А. // Координац. химия. – 1993. – **19**, № 7. – С. 507.
54. Gerken M., Dixon D.A., Schrobilgen G.J. // Inorg. Chem. – 2000. – **39**, N 19. – P. 4244.
55. Кираоксян Г.А., Тарасов В.П. // Координац. химия. – 1992. – **18**, № 1. – С. 86.
56. Peacock R.D. // J. Chem. Soc. – 1955. – P. 3291.
57. Dykstra R.W., Harrison A.M. // J. Magn. Res. – 1982. – **46**, N 2. – P. 338.
58. Brevard C., Granger P. // Inorg. Chem. – 1983. – **22**, N 3. – P. 532.
59. Федотов М.А., Беляев А.В. // Координац. химия. – 1991. – **17**, № 1. – С. 103.
60. Кабин Е.В., Емельянов В.А., Воробьев В.А., Алферова Н.И., Ткачев С.В., Байдина И.А. // Журн. неорган. химии. – 2012. – **57**, № 8. – С. 1225.
61. Емельянов В.А., Федотов М.А., Беляев А.В. // Журн. неорган. химии. – 1992. – **37**, № 12. – С. 2717.
62. Емельянов В.А., Беляев А.В., Федотов М.А., Громилов С.А., Байдина И.А., Алексеев В.И. // Журн. неорган. химии. – 1992. – **37**, № 11. – С. 2515.
63. Емельянов В.А., Федотов М.А., Беляев А.В. // Журн. неорган. химии. – 1993. – **38**, № 2. – С. 1842.
64. Brown P.G.M. // J. Inorg. Nucl. Chem. – 1960. – **13**, N 1-2. – P. 73.
65. Fletcher J.M. // J. Inorg. Nucl. Chem. – 1958. – **8**. – P. 277.
66. Simonsen S.H., Mueller M.H. // J. Inorg. Nucl. Chem. – 1965. – **27**, N 2. – P. 309.
67. Бокий Г.Б., Вонг А.-Н., Ходашева Т.С. // Журн. структур. химии. – 1962. – **3**, № 2. – С. 163.
68. Черняев И.И. Синтез комплексных соединений металлов платиновой группы. – М.: Наука, 1964.
69. Granger P., Richert T., Elbayed K., Kempgens P., Hirsching J., Raya J. // Mol. Phys. – 1997. – **92**, N 5. – P. 895.
70. Orellana G., Kirsch-De Mesmaeker A., Turro N.J. // Inorg. Chem. – 1990. – **29**, N 4. – P. 882.
71. Емельянов В.А., Федотов М.А., Беляев А.В., Ткачев С.В. // Журн. неорган. химии. – 2013. – **58**, N 8. – С. 1073.
72. Емельянов В.А., Беляев А.В., Федотов М.А. // Журн. неорган. химии. – 2000. – **45**, N 5. – С. 813.
73. Gaemers S., van Slageren J., O'Connor C.M., Vos J.G., Hage R., Elsevier C.J. // Organometallics. – 1999. – **18**, N 25. – P. 5238.
74. Autschbach J., Zheng S. // Magn. Res. Chem. – 2006. – **44**, N 11. – P. 989.
75. Schwenk A., Zimmermann G. // Phys. Lett. A. – 1968. – **26**, N 6. – P. 258.
76. Constable E.C., Johnson B.F.G., Lewis J., Pain G.N., Taylor M.J. // J. Chem. Soc. Chem. Commun. – 1982. – N 13. – P. 754.
77. Christe K.O., Dixon D.A., Mack H.G., Oberhammer H., Pagelot A., Sanders J.C.P., Schrobilgen G.J. // J. Am. Chem. Soc. – 1993. – **115**, N 24. – P. 11279.
78. Kidd R.G., Goodfellow R.J. In: NMR and the periodic table / Eds. R.K. Harris, B.E. Mann. – New York: Academic Press, 1978. – P. 195 – 278.
79. Carlton L. // Annu. Rep. NMR Spectrosc. – 2008. – **63**. – P. 49.
80. Федотов М.А., Шипачев В.А., Левченко Л.М. // Координац. химия. – 1999. – **25**, № 1. – С. 35.
81. Carr C., Glaser J., Sandström M. // Inorg. Chim. Acta. – 1987. – **131**, N 2. – P. 153.
82. Беляев А.В., Федотов М.А., Храненко С.П., Емельянов В.А. // Координац. химия. – 2001. – **27**, № 12. – С. 907.
83. Федотов М.А. // Координац. химия. – 2002. – **28**, № 8. – С. 610.
84. Беляев А.В., Федотов М.А., Шагабутдинова С.Н. // Координац. химия. – 2007. – **33**, № 2. – С. 141.
85. Беляев А.В., Венедиктов А.Б., Федотов М.А., Храненко С.П. // Координац. химия. – 1986. – **12**, № 5. – С. 690.
86. Mann B.E., Spencer C.M. // Inorg. Chim. Acta. – 1982. – **65**. – P. L57.
87. Mann B.E., Spencer C.M. // Inorg. Chim. Acta. – 1983. – **76**. – P. L65.
88. Read M.C., Glaser J., Sandström M. // J. Chem. Soc. Dalton Trans. – 1992. – N 2. – P. 233.
89. Read M.C., Glaser J., Persson I., Sandström M. // J. Chem. Soc. Dalton Trans. – 1994. – N 22. – P. 3243.
90. Spiccia L., Aramini J.M., Crimp S.J., Drljaca A., Lawrenz E.T., Tedesco V., Vogel H.J. // J. Chem. Soc. Dalton Trans. – 1997. – N 23. – P. 4603.
91. Grüninger K.-D., Schwenk A., Mann B.E. // J. Magn. Res. – 1980. – **41**, N 2. – P. 354.
92. Read M.C., Glaser J., Sandström M., Toth I. // Inorg. Chem. – 1992. – **31**, N 20. – P. 4155.
93. Heaton B.T., Jacob C., Moffet S. // J. Organomet. Chem. – 1993. – **462**, N 1-2. – P. 347.

94. Brown T.H., Green P.J. // J. Am. Chem. Soc. – 1970. – **92**, N 8. – P. 2359.
95. Carlton L. // Magn. Res. Chem. – 2004. – **42**, N 9. – P. 760.
96. Ernsting J.M., Gaemers S., Elsevier C.J. // Magn. Res. Chem. – 2004. – **42**, N 9. – P. 721.
97. Heaton B.T., Strona L., Martinengo S., Strumolo D., Goodfellow R.J., Sadler I.H. // J. Chem. Soc. Dalton Trans. – 1982. – N 8. – P. 1499.
98. Mason J. // Adv. Inorg. Chem. Radiochem. – 1979. – **22**. – P. 199.
99. Желиговская Н.Н. Наука. Трансвлияние в химии координационных соединений. – М.: АН СССР, 1979.
100. Buckingham A.D., Stephens P.J. // J. Chem. Soc. – 1964. – P. 2747.
101. Hyde E.M., Kennedy J.D., Shaw B.L., McFarlane W. // J. Chem. Soc. Dalton Trans. – 1977. – N 16. – P. 1571.
102. Moriyama H., Aoki T., Shinoda S., Saito Y. // J. Chem. Soc. Perkin Trans. 2. – 1982. – N 3. – P. 369.
103. Sanger A.R. // Can. J. Chem. – 1984. – **62**, N 4. – P. 822.
104. Беляев А.В., Федотов М.А., Корсунский В.И., Венедиктов А.Б., Храненко С.П. // Координац. химия. – 1984. – **10**, № 7. – С. 911.
105. Беляев А.В., Федотов М.А. // Координац. химия. – 1983. – **9**, № 8. – С. 1252.
106. Беляев А.В., Венедиктов А.Б., Федотов М.А., Храненко С.П. // Координац. химия. – 1985. – **11**, № 6. – С. 794.
107. Венедиктов А.Б., Федотов М.А., Коренев С.В. // Координац. химия. – 1999. – **25**, № 4. – С. 285.
108. Храненко С.П., Федотов М.А., Беляев А.В. // Координац. химия. – 1991. – **17**, № 6. – С. 860.
109. Беляев А.В., Емельянов В.А., Храненко С.П., Федотов М.А. // Координац. химия. – 2001. – **27**, № 3. – С. 203.
110. Беляев А.В., Ильяшевич В.Д., Павлова Е.И., Федотов М.А., Шагабутдинова С.Н. // Координац. химия. – 2007. – **33**, № 6. – С. 458.
111. Лебединский В.В., Шендерецкая Е.В. // Изв. сектора платины ИОНХ АН СССР. – 1940. – № 17. – С. 89.
112. Назарова Л.А., Черняев И.И., Морозова А.С. // Журн. неорган. химии. – 1973. – **18**, № 7. – С. 1861.
113. Шагабутдинова С.Н., Федотов М.А., Беляев А.В. // Журн. неорган. химии. – 2009. – **54**, № 8. – С. 1359.
114. Шагабутдинова С.Н., Федотов М.А., Беляев А.В. // Координац. химия. – 2007. – **33**, № 2. – С. 146.
115. Беляев А.В., Федотов М.А., Воробьева С.Н. // Координац. химия. – 2009. – **35**, № 8. – С. 587.
116. Беляев А.В., Федотов М.А., Воробьева С.Н. // Координац. химия. – 2009. – **35**, № 11. – С. 834.
117. Шагабутдинова С.Н., Федотов М.А., Беляев А.В., Ильяшевич В.Д., Павлова Е.И. // Координац. химия. – 2008. – **34**, № 12. – С. 930.
118. Воробьева С.Н., Беляев А.В., Федотов М.А., Юшина И.В., Недосейкина Т.И. // Журн. неорган. химии. – 2011. – **56**, № 10. – С. 1689.
119. Беляев А.В., Воробьева С.Н., Федотов М.А. // Журн. неорган. химии. – 2012. – **56**, № 2. – С. 276.
120. Беляев А.В., Воробьева С.Н., Федотов М.А., Компаньков Н.Б. // Журн. неорган. химии. – 2014. – **59**, № 5. – С. 673.
121. Венедиктов А.Б., Федотов М.А., Коренев С.В., Беляев А.В. // Координац. химия. – 1989. – **15**, № 4. – С. 556.
122. Беляев А.В., Федотов М.А., Венедиктов А.Б., Храненко С.П., Коренев С.В. Благородные металлы: химия и технология / Ред. В.Г. Торгов, Ф.А. Кузнецов – Новосибирск: Ин-т неорган. химии СО РАН, 1989. – С. 5 – 54.
123. Беляев А.В. // Журн. неорган. химии. – 1967. – **12**, № 4. – С. 1097.
124. Poulsen I.A., Garner C.S. // J. Am. Chem. Soc. – 1962. – **84**, N 11. – P. 2032.
125. Кравцов В.И., Петрова Г.И. // Журн. неорган. химии. – 1964. – **9**, № 4. – С. 1010.
126. El-Awady A.A., Bounsell E.J., Garner C.S. // Inorg. Chem. – 1967. – **6**, N 1. – P. 79.
127. Басоло Ф., Пирсон Р. Механизмы неорганических реакций (Изучение комплексов металлов в растворе). – М.: Мир, 1971.
128. Castillo-Blum S.E., Richens D.T., Sykes A.G. // Inorg. Chem. – 1989. – **28**, N 5. – P. 954.
129. Helm L., Elding L.I., Merbach A.E. // Helv. Chim. Acta. – 1984. – **67**, N 6. – P. 1453.
130. Троицкий С.Ю., Федотов М.А., Лихолобов В.А. // Изв. АН СССР, сер. хим. – 1993. – № 4. – С. 675.
131. Troitski S.Y., Serebriakova M.A., Fedotov M.A., Ignashin S.V., Chuvilin A.L., Moroz E.M., Novgorodov B.N., Kochubey D.I., Likhlobov V.A., Blanc B., Gallezot P. // J. Mol. Catal. A: Chem. – 2000. – **158**, N 1. – P. 461.
132. Беляев А.В., Федотов М.А., Коренев С.В. // Координац. химия. – 1989. – **15**, № 11. – С. 1551.
133. Freeman W., Pregosin P., Sze S., Venanzi L. // J. Magn. Res. – 1976. – **22**, N 3. – P. 473.
134. Pesek J.J., Mason W.R. // J. Magn. Res. – 1977. – **25**, N 3. – P. 519.
135. Carr C., Goggin P.L., Goodfellow R.J. // Inorg. Chim. Acta. – 1984. – **81**. – P. L25.
136. Brown C., Heaton B.T., Sabouchei J. // J. Organomet. Chem. – 1977. – **142**, N 3. – P. 413.

137. Groening O., Elding L.I. // Inorg. Chem. – 1989. – **28**, N 17. – P. 3366.
138. Kerrison S.J.S., Sadler P.J. // J. Chem. Soc. Dalt. Trans. – 1982. – N 12. – P. 2363.
139. Pregosin P.S., Kretschmer M., Preetz W., Rimkus G. // Z. Naturforsch. – 1982. – **37B**, N 11. – P. 1422.
140. Wood F.E., Balch A.L. // Inorg. Chim. Acta. – 1983. – **76**. – P. L63.
141. Privalov V.I., Lapkin V.V., Tarasov V.P., Buslaev Y.A. // Mendeleev Commun. – 1991. – **1**, N 2. – P. 59.
142. Appleton T.G., Berry R.D., Davis C.A., Hall J.R., Kimlin H.A. // Inorg. Chem. – 1984. – **23**, N 22. – P. 3514.
143. Appleton T.G., Hall J.R., Ralph S.F. // Inorg. Chem. – 1985. – **24**, N 26. – P. 4685.
144. Appleton T.G., Hall J.R., Ralph S.F., Thompson C.S.M. // Inorg. Chem. – 1989. – **28**, N 10. – P. 1989.
145. Appleton T.G., Hall J.R., Neale D.W., Ralph S.F. // Inorg. Chim. Acta. – 1983. – **77**. – P. L149.
146. Appleton T.G., Hall J.R., Ralph S.F., Thompson C.S.M. // Inorg. Chem. – 1984. – **23**, N 22. – P. 3521.
147. Marvin J.R., Abbott E.H. // Inorg. Chim. Acta. – 1996. – **247**, N 2. – P. 267.
148. Schwederski B.E., Lee H.D., Margerum D.W. // Inorg. Chem. – 1990. – **29**, N 18. – P. 3569.
149. Kerrison S.J.S., Sadler P.J. // J. Chem. Soc. Chem. Commun. – 1977. – N 23. – P. 861.
150. Groning O., Drakenberg T., Elding L.I. // Inorg. Chem. – 1982. – **21**, N 5. – P. 1820.
151. Marzilli L.G., Hayden Y., Reily M.D. // Inorg. Chem. – 1986. – **25**, N 7. – P. 974.
152. Голованева И.Ф., Федотова Т.Н., Федотов М.А., Кузнецова Г.Н. // Журн. неорган. химии. – 2005. – **50**, № 5. – С. 823.
153. Iwatsuki S., Isomura E., Wada A., Ishihara K., Matsumoto K. // Eur. J. Inorg. Chem. – 2006. – **2006**, N 12. – P. 2484.
154. Pregosin P.S., Kunz R.W. In: NMR – Basic principles and progress / Eds. P. Diehl, E. Fluck, R. Kosfeld – Berlin, New York: Springer Verl, 1979.
155. Dean R.R., Green J.C. // J. Chem. Soc. Inorg. Phys. Theor. – 1968. – P. 3047.
156. Berry D.E. // J. Chem. Educ. – 1994. – **71**, N 10. – P. 899.
157. Shitova N.B., Alt L.Y., Perevalova V.I., Belyi A.S., Duplyakin V.K. // React. Kinet. Catal. Lett. – 1983. – **23**, N 1-2. – P. 17.
158. Starzewski K.-H.A.O., Pregosin P.S. // Angew. Chemie Int. Ed. English. – 1980. – **19**, N 4. – P. 316.
159. Pregosin P.S., Rüegger H. // Inorg. Chim. Acta. – 1984. – **86**, N 1. – P. 55.
160. Albinati A., Naegeli R., Starzewski K.H.A.O., Pregosin P.S., Rüegger H. // Inorg. Chim. Acta. – 1983. – **76**. – P. L231.
161. Boag N.M., Goggin P.L., Goodfellow R.J., Herbert I.R. // J. Chem. Soc. Dalt. Trans. – 1983. – N 6. – P. 1101.
162. Юданов В.Ф., Еременко Н.К., Медников Е.Г., Губин С.П. // Журн. структур. химии. – 1984. – **25**, № 1. – С. 49.
163. Moor A., Pregosin P.S., Venanzi L.M., Welch A.J. // Inorg. Chim. Acta. – 1984. – **85**, N 1. – P. 103.
164. Brown C., Heaton B.T., Chini P., Fumagalli A., Longoni G. // J. Chem. Soc. Chem. Commun. – 1977. – N 9. – P. 309.
165. Fumagalli A., Martinengo S., Chini P., Albinati A., Bruckner S., Heaton B.T. // J. Chem. Soc. Chem. Commun. – 1978. – N 5. – P. 195.
166. Beck I.E., Kriventsov V.V., Fedotov M.A., Bukhтияров V.I. // Nucl. Instruments Methods Phys. Res. A: Accel. Spectrometers, Detect. Assoc. Equip. – 2009. – **603**, N 1-2. – P. 182.
167. Dou D., Liu D.-J., Williamson W.B., Kharas K.C., Robota H.J. // Appl. Catal. B: Environ. – 2001. – **30**, N 1-2. – P. 11.
168. Беляев А.В., Федотов М.А., Воробьева С.Н. // Координац. химия. – 2011. – **37**, № 4. – С. 281.
169. Желиговская Н.Н., Черняев И.И. Химия комплексных соединений. – М.: Высшая школа, 1966.
170. Kaesz H.D., Saillant R.B. // Chem. Rev. – 1972. – **72**, N 3. – P. 231.
171. Jalilehvand F., Maliarik M., Sandström M., Mink J., Persson I., Persson P., Tóth I., Glaser J. // Inorg. Chem. – 2001. – **40**, N 16. – P. 3889.
172. Anderson S.J., Goggin P.L., Goodfellow R.J. // J. Chem. Soc. Dalt. Trans. – 1976. – N 19. – P. 1959.
173. Appleton T.G., Clark H.C., Manzer L.E. // Coord. Chem. Rev. – 1973. – **10**, N 3-4. – P. 335.
174. Привалов В.И., Лапкин В.В., Шубочкина У.Ф., Тарапов В.П. // Координац. химия. – 1988. – **14**, № 3. – С. 390.
175. Pregosin P.S. // Chimia (Aarau). – 1981. – **35**, N 2. – P. 43.
176. Перепалова В.П., Белый Ф.С., Альт Л.Я., Дуплякин В.К. // Координац. химия. – 1983. – **8**. – С. 280.
177. Беляев А.В. // Журн. структур. химии. – 2003. – **44**, № 1. – С. 39.
178. Емельянов В.А., Федотов М.А. // Журн. неорган. химии. – 2006. – **51**, № 11. – С. 1923.
179. Shukla S.K. // Ann. Chim. – 1961. – **6**, N 11-12. – P. 1383.

180. Шубочкин Л.К., Нефедов В.И., Шубочкина Е.Ф. // Журн. неорган. химии. – 1972. – **17**, № 10. – С. 2852.
181. Шубочкин Л.К., Голубничая М.А., Шубочкина Е.Ф. // Журн. неорган. химии. – 1973. – **18**, № 12. – С. 3260.
182. Plumb W., Harris G.M. // Inorg. Chem. – 1964. – **3**, N 4. – P. 542.
183. Monacelli F., Viel E. // Inorg. Chim. Acta. – 1967. – **1**. – P. 467.
184. Cervini R., Fallon G.D., Spiccia L. // Inorg. Chem. – 1991. – **30**, N 4. – P. 831.
185. Elding L.I., Norén B., Oskarsson Å. // Inorg. Chim. Acta. – 1986. – **114**, N 1. – P. 71.
186. Шмидт В.С., Шорохов Н.А. // Атомная энергия. – 1988. – **64**. – С. 103.
187. Шорохов Н.А., Тетерин Э.Г., Чуклинов Р.Н., Шмидт В.С. // Журн. неорган. химии. – 1984. – **29**. – С. 1255.
188. Шмидт В.С., Межсов Э.А., Рубисов В.Н. // Радиохимия. – 1986. – **28**. – С. 345.
189. Шмидт В.С., Шорохов Н.А., Тетерин Э.Г. // Журн. неорган. химии. – 1985. – **30**. – С. 3152.
190. Торгов В.Г., Татарчук В.В., Дружинина Ш.А., Дружинина И.А. // Атомная энергия. – 1994. – **76**, № 6. – С. 478.
191. Храненко С.П., Байдина И.А., Громилов С.А., Беляев А.В. // Журн. структур. химии. – 2000. – **41**, № 4. – С. 862.
192. Шмидт В.С., Шорохов Н.А., Вацман А.А., Самсонов В.Е. // Журн. неорган. химии. – 1982. – **27**, № 5. – С. 1254.